



Pêches et Océans Fisheries and Oceans
Canada Canada

Sciences

Science

Secrétariat canadien de consultation scientifique (SCCS)

Document de recherche 2014/115

Région du Québec

Résultats préliminaires du relevé multidisciplinaire de poissons de fond et de crevette d'août 2014 dans l'estuaire et le nord du golfe du Saint-Laurent

Hugo Bourdages, Claude Brassard, Mathieu Desgagnés, Peter Galbraith,
Johanne Gauthier, Jean Lambert, Benoit Légaré, Eric Parent et Philippe Schwab

Pêches et Océans Canada
Institut Maurice-Lamontagne
850, route de la Mer
Mont-Joli (Québec) G5H 3Z4

Avant-propos

La présente série documente les fondements scientifiques des évaluations des ressources et des écosystèmes aquatiques du Canada. Elle traite des problèmes courants selon les échéanciers dictés. Les documents qu'elle contient ne doivent pas être considérés comme des énoncés définitifs sur les sujets traités, mais plutôt comme des rapports d'étape sur les études en cours.

Les documents de recherche sont publiés dans la langue officielle utilisée dans le manuscrit envoyé au Secrétariat.

Publié par :

Pêches et Océans Canada
Secrétariat canadien de consultation scientifique
200, rue Kent
Ottawa (Ontario) K1A 0E6

[http://www.dfo-mpo.gc.ca/csas-sccs/
csas-sccs@dfo-mpo.gc.ca](http://www.dfo-mpo.gc.ca/csas-sccs/csas-sccs@dfo-mpo.gc.ca)



© Sa Majesté la Reine du chef du Canada, 2015
ISSN 2292-4272

La présente publication doit être citée comme suit :

Bourdages, H., Brassard, C., Desgagnés, M., Galbraith, P., Gauthier, J., Lambert, J., Légaré, B., Parent, E. et Schwab P. 2015. Résultats préliminaires du relevé multidisciplinaire de poissons de fond et de crevette d'août 2014 dans l'estuaire et le nord du golfe du Saint-Laurent. Secr. can. de consult. sci. du MPO. Doc. de rech. 2014/115. v + 96 p.

Also available in English :

Bourdages, H., Brassard, C., Desgagnés, M., Galbraith, P., Gauthier, J., Lambert, J., Légaré, B., Parent, E. and Schwab P. 2015. Preliminary results from the groundfish and shrimp multidisciplinary survey in August 2014 in the Estuary and northern Gulf of St. Lawrence. DFO Can. Sci. Advis. Sec. Res. Doc. 2014/115. v + 96 p.

TABLE DES MATIÈRES

RÉSUMÉ	IV
ABSTRACT.....	V
INTRODUCTION	1
DESCRIPTION DU RELEVÉ	1
ANALYSE DES DONNÉES.....	3
RÉSULTATS.....	4
Aiguillat noir.....	4
Capelan.....	4
Crabe des neiges	5
Crevette nordique.....	5
Flétan atlantique.....	6
Flétan du Groenland.....	6
Grosse poule de mer.....	6
Hareng	7
Loups	7
Merlu argenté	7
Merluce à longues nageoires.....	8
Merluce blanche	8
Morue	9
Myxine.....	9
Plie canadienne.....	9
Plie grise	10
Plumes de mer	10
Raie épineuse	11
Raie lisse.....	11
Sébaste acadien.....	12
Sébaste atlantique.....	12
Invertébrés - Généralités	13
Conditions océanographiques physiques	13
REMERCIEMENTS	14
RÉFÉRENCES	14
FIGURES.....	15
ANNEXES.....	81

RÉSUMÉ

Le Ministère des Pêches et des Océans réalise annuellement un relevé multidisciplinaire dans l'estuaire et le nord du golfe du Saint-Laurent. Les objectifs de ce relevé sont multiples : évaluer la biodiversité des espèces présentes près du fond; estimer l'abondance des poissons de fonds et des invertébrés; évaluer les conditions océanographiques physiques et biologiques (phytoplancton et zooplancton); monitorer l'écosystème pélagique; inventorier les mammifères marins et récolter des échantillons pour divers projets de recherche. En 2014, le relevé s'est déroulé du 1^{er} août au 2 septembre, à bord du *NGCC Teleost*. Lors de cette mission, 185 traits de chalut ont été réussis ainsi que 113 profils verticaux de la colonne d'eau afin de caractériser les conditions océanographiques et 93 échantillons de zooplanctons.

Ce rapport présente les résultats des captures des 185 traits de chalut. Au total, 82 taxons de poissons et 195 taxons d'invertébrés ont été identifiés lors de la mission. Les perspectives historiques (taux de capture, répartition spatiale, fréquence de longueur) sont présentées pour une vingtaine de taxons. Ces données indépendantes de la pêche commerciale serviront à plusieurs évaluations de stocks, dont la morue, les sébastes, le flétan du Groenland, le flétan atlantique et la crevette nordique. Pour ces espèces, les indices d'abondance et biomasse en 2014 sont soit comparables à la moyenne ou montrent des tendances à l'augmentation, particulièrement pour le flétan atlantique et des petits sébastes.

L'analyse préliminaire des données de température de l'eau mesurée en 2014 montre des conditions chaudes près de la surface et sous la couche intermédiaire froide, mais près de la normale en ce qui concerne la couche intermédiaire froide.

ABSTRACT

The Department of Fisheries and Oceans conducts an annual multidisciplinary survey in the Estuary and northern Gulf of St. Lawrence. The objectives of this survey are quite varied: assess the biodiversity of the species near the floor, estimate the abundance of groundfish and invertebrates, assess physical and biological oceanographic conditions (phytoplankton and zooplankton), monitor the pelagic ecosystem, take an inventory of marine mammals, and collect samples for various research projects. In 2014, the survey was conducted between August 1 and September 2 on board the *CCGS Teleost*. During this survey, 185 trawl tows was successful and 113 CTD casts of the water column and 93 zooplankton samples.

This report presents the results from catches from the 185 tows. In total, 82 fish taxa and 195 invertebrate taxa were identified during the mission. Historical perspectives (catch rates, spatial distribution and length frequency) are presented for about 20 taxa. These commercial fishery-independent data will be used in several stock assessments (cod, redfish, Greenland Halibut, Atlantic Halibut and Northern Shrimp). For these species, abundance and biomass indicators in 2014 are comparable to the average or show upward trends, especially for Atlantic Halibut and small redfish.

Preliminary data analysis for water temperature measured in 2014 shows hot conditions near the surface and under the cold intermediate layer, but near normal conditions for the cold intermediate layer.

INTRODUCTION

Le Ministère des Pêches et des Océans réalise annuellement un relevé au chalut de fond dans l'estuaire et le nord du golfe du Saint-Laurent. Ce relevé est multi-espèces et indépendant de la pêche commerciale. Il sert à l'évaluation de l'écosystème avec des données constantes et standardisées qui permettent d'examiner les changements spatiaux et temporels de 1) la distribution et l'abondance relative des poissons ainsi que de leurs assemblages et 2) des paramètres biologiques des espèces commerciales.

Les principaux objectifs sont :

1. Évaluation de l'abondance et de la condition des populations de poissons de fond et de la crevette nordique.
2. Évaluation des conditions environnementales.
3. Inventaire de la biodiversité.
4. Évaluation de l'abondance du phytoplancton et du mésozooplancton.
5. Monitoring de l'écosystème pélagique.
6. Inventaire des mammifères marins.
7. Récolte d'échantillons pour divers projets de recherche.

En 2014, le relevé s'est déroulé du 1^{er} août au 2 septembre, à bord du *NGCC Teleost* (mission no IML-2014-021).

DESCRIPTION DU RELEVÉ

Le relevé couvre les eaux du chenal Laurentien et au nord de celui-ci, de l'estuaire maritime à l'ouest jusqu'aux détroits de Belle-Isle et de Cabot à l'est de la zone, soit les divisions 4R, 4S et la partie septentrionale de 4T de l'Organisation des pêches de l'Atlantique Nord-Ouest (OPANO) (Figure 1). Depuis 2008, la couverture de la division 4T a été accrue dans la partie amont de l'estuaire maritime afin d'échantillonner les profondeurs comprises entre 37 et 183 m de l'estuaire. La superficie de la zone d'étude est de 118 587 km².

Ce relevé suit un plan d'échantillonnage aléatoire stratifié. Cette technique consiste à subdiviser la zone d'étude en strates plus homogènes. La zone d'étude est divisée en 54 strates et le découpage de celles-ci a été fait en se basant sur la profondeur, les divisions de l'OPANO et le type de substrat (Figure 2). Pour ce relevé, une allocation initiale de 200 stations de chalutage ont été réparties proportionnellement à la surface des strates, avec un minimum de deux stations par strate. Les positions des traits ont été choisies aléatoirement à l'intérieur de chacune des strates. Pour 2014, une nouvelle condition a été ajoutée au tirage aléatoire soit de respecter une distance minimale de 10 km entre les stations d'une même strate.

L'engin de pêche utilisé sur le *NGCC Teleost* est un chalut à crevettes (4 faces) *Campelen 1800* muni d'un faux-bourrelet (« bicycle ») de type *Rockhopper* (McCallum et Walsh 2002). La rallonge et le cul du chalut sont munis d'une doublure de nylon sans nœud dont l'ouverture de maille est de 12,7 mm. La durée de chalutage pour un trait standard de pêche est de 15 minutes, calculée à partir du contact du chalut avec le fond déterminé à l'aide du système hydroacoustique *Scanmar*TM. La vitesse de chalutage est fixée à 3 nœuds. Pour chacun des traits, les informations sur la géométrie du chalut en opération (ouvertures horizontales des portes et des ailes, ouverture verticale du chalut, profondeur) ont été enregistrées à l'aide de sondes hydroacoustiques *Scanmar*TM fixées à l'engin de pêche.

En 2014, 185 stations de pêche ont été exécutées avec succès, soit 65 dans 4R, 77 dans 4S et 43 dans 4T (Annexe 1). La couverture de la zone d'étude a été très bonne, toutes les strates

ont été couvertes avec un minimum de deux stations et l'échantillonnage du détroit de Belle Isle a été réalisé, ce secteur n'avait pas été couvert en 2013 (Figure 3).

À chacun des traits de pêche, la capture a été triée et pesée par taxons et des données biologiques ont été récoltées. Pour les poissons, les crabes et les encornets, la taille et le poids sont colligés par individu, de plus, pour certaines espèces, le sexe, la maturité des gonades, les poids de certains organes (estomac, foie, gonades) sont aussi évalués. Les rayons mous de la nageoire anale sont dénombrés pour le sébaste et des otolithes sont conservés pour la morue, le flétan atlantique et la plie grise. Un échantillon d'environ 2 kg de crevettes est trié et pesé par espèces et par stades de maturité pour la crevette nordique. Les crevettes sont mesurées individuellement. Les autres invertébrés sont dénombrés (pas de mesure individuelle) et photographiés. Les photographies sont archivées dans un photo-catalogue avec des mots clés (description de la station, nom scientifique, etc.).

Des échantillons additionnels ont été prélevés pour divers projets scientifiques tels que :

1. Spécimens rapportés pour la collection de l'Institut Maurice-Lamontagne (IML).
2. Boîtes de crevettes et capelans pour les demandes à des fins aquacoles pour la salle des bassins de l'IML.
3. Embryons d'aiguillat noir, capsules de raies, juvéniles d'aiguillat noir et sébastes afin d'étudier leur morphologie évolutive ainsi que leur processus de chondrification et de minéralisation.
4. Espèces envahissantes (tuniciers) afin de confirmer leur identification en génétique et en microscopie.
5. Estomacs de poissons (flétan atlantique, plie canadienne, aiguillat noir, merluche blanche, lycode à carreaux, lycode du Labrodor) et calmar (encornet rouge nordique) afin d'améliorer les connaissances de leur régime alimentaire.
6. Foies de morue pour étudier la distribution spatiale des polybromodiphényléthers (PBDE) dans les poissons des zones côtières de Terre-Neuve.
7. Petits sébastes (< 11 cm) pour l'identification génétique de l'espèce (*Sebastes fasciatus* ou *S. mentella*) et de la population des nouvelles cohortes observées dans le golfe.
8. Plumes de mer (4 espèces) rapportées afin d'étudier leur reproduction et leurs pathologies.
9. Proies des mammifères marins (plusieurs espèces de poissons et crevette nordique) afin de suivre l'évolution des signatures isotopiques d'espèces clés de l'écosystème du Saint-Laurent.
10. Saïda (morue arctique) pour l'étude génétique des populations.

Des données océanographiques, comme la température, la conductivité (salinité), le pH, l'oxygène dissous, la luminosité et la fluorescence sont récoltées. Lors de ce relevé, 113 profils verticaux CTD de la colonne d'eau ont été faits dont 14 à des stations additionnelles visées par le programme de monitoring de la zone Atlantique (PMZA). Les différents appareils, *CTD SeaBird 911Plus™*, sonde à oxygène dissous (*SBE 43*), photomètre et fluorimètre *WetStar™* sont couplés à la rosette de bouteilles *Niskin*. Pour chacun des profils obtenus avec la rosette, des échantillons d'eau ont également été prélevés à des profondeurs prédéterminées pour en déterminer la salinité, la concentration en oxygène dissous (titration Winkler), la teneur en sels nutritifs (nitrite, nitrate, phosphate, silicate) et en chlorophylle. De plus, un appareil *CTD SBE 19Plus™*, couplé à une sonde à oxygène dissous (optode *Aanderaa*), à un photomètre et à un

fluorimètre *WetStar*TM, a également été installé sur le dos du chalut, permettant ainsi de recueillir des données océanographiques pour les 185 traits de pêche.

Dans le but d'étudier la répartition et la biomasse du zooplancton pour l'ensemble du territoire couvert par le relevé, un volet du programme d'échantillonnage a consisté à récolter des organismes à l'aide d'un filet à zooplancton (202 µm) tiré à la verticale, du fond vers la surface, à 93 des 185 stations visitées.

Tout au long de la mission, des données hydroacoustiques à quatre fréquences (38, 70, 120 et 200 kHz) ont été enregistrées en continue pour toute la colonne d'eau à l'aide d'un échosondeur *SIMRAD*TM *EK60*. Ces données serviront à développer une base de données tridimensionnelles afin de cartographier l'écosystème pélagique.

Un inventaire des mammifères marins dans la zone d'étude a été fait par deux observateurs postés à l'avant de la timonerie lorsque les conditions le permettaient.

ANALYSE DES DONNÉES

Les des données d'abondance et de biomasse recueillies sur les espèces capturées en 2014 ont été intégrées à la série des relevés annuels estivaux initiée en 1990. Cette série fusionnée a été développée dans le cadre d'une étude comparative entre les deux tandems navire-engin (1990-2005 : *NGCC Alfred Needler* – chalut *URI 81'114'* ; 2004-2014 : *NGCC Teleost* – chalut *Campelen 1800*) afin d'en quantifier la différence de capturabilité et d'établir les facteurs de conversion pour une vingtaine d'espèces capturées (Bourdages *et al.* 2007). Cette étude a ainsi permis d'ajuster les captures du *Needler* en prises équivalentes du *Teleost*. À noter que la distinction des deux espèces de sébaste, *Sebastes fasciatus* et *S. mentella*, est basée sur des analyses du décompte des rayons mous de la nageoire anale et de la profondeur de capture des individus (H. Bourdages, MPO Mont-Joli, comm. pers.).

Étant donné qu'au cours des ans, certaines strates n'ont pas été échantillonnées avec un minimum de deux traits de pêche réussis (Annexe 1), les indices du taux de capture, en nombre et poids, ont été estimés à l'aide d'un modèle multiplicatif. La valeur prédite par le modèle, pour les strates de moins de deux traits, est calculée à partir des données de l'année en cours et des trois années précédentes. Ainsi, les indicateurs présentés pour la série sont représentatifs d'une superficie standard totale de 116 115 km², soit la somme de la superficie de toutes les strates. Des points de référence ont également été ajoutés aux graphiques des taux de capture. La ligne pleine correspond à la moyenne des taux de capture de chaque relevé, calculée pour la période 1990-2013 (moyenne à long terme). Les deux lignes pointillées représentent la moyenne à long terme plus ou moins un demi écart-type, soit respectivement les limites de référence supérieure et inférieure. À noter que pour le capelan et le hareng, les indices calculés sont plutôt des valeurs de probabilités (%) de capturer ces espèces au cours du relevé. En effet, de par le caractère pélagique de ces deux espèces, le chalut de fond ne constitue pas un engin de pêche idéal pour leur capture et, par conséquent, pour en estimer adéquatement leur abondance.

Les distributions de fréquence de longueur sont présentées sous deux formats. Une première figure illustre les distributions pour les deux dernières années de la série ainsi que la distribution moyenne de la période 1990 à 2013 (distribution moyenne à long terme). Les valeurs de fréquence sont exprimées en nombre moyen d'individus capturés par trait de chalut par incrément d'un centimètre, sauf pour la crevette nordique (0,5 mm) et le flétan atlantique (3 cm). Une deuxième figure représente les distributions des fréquences de longueur en nombre moyen par trait de chacune des années de la série historique (1990 à 2014).

La répartition géographique des taux de captures (PUE), présentée en poids par trait de 15 minutes pour toutes les espèces (sauf pour les plumes de mer : nb/trait de 15 minutes), a été colligée pour des périodes de quatre ou cinq ans. L'interpolation des PUE a été réalisée sur une grille couvrant la zone d'étude en utilisant une pondération inversement proportionnelle à la distance (R version 2.13.0, librairie Rgeos ; R Development Core Team, 2011). Les isolignes ont ensuite été tracées pour quatre niveaux de taux de capture qui correspondent approximativement aux 20^e, 40^e, 60^e et 80^e percentiles des valeurs non-nulles. La distribution des taux de capture pour le relevé de 2014 est également présentée dans une carte de type « bulle ».

La section suivante présente les résultats sommaires des indices d'abondance et de biomasse, des fréquences de taille et des cartes de distribution des taux de capture pour une vingtaine de taxons exploités commercialement. Ces résultats sont préliminaires et doivent être considérés à titre indicatif tant que les validations et les analyses en laboratoire ne seront pas terminées.

Finalement, l'Annexe 2 présente la liste de tous les taxons, vertébrés et invertébrés, capturés dans les 185 traits de pêche réussis lors du relevé de 2014. Y sont également présentés : 1) l'occurrence, soit le nombre de traits où le taxon a été répertorié, et 2) la prise totale, en poids et en nombre, pour l'ensemble du relevé. Le nombre de spécimens mesurés par taxon de même que certaines statistiques descriptives relatives à la longueur, sont également décrits à l'Annexe 3. Enfin, pour sept des taxons les plus communs, l'Annexe 4 présente par trait : les positions géographiques, la profondeur, la strate correspondante et les captures (nombre et poids).

RÉSULTATS

AIGUILLAT NOIR

Les nombres moyens et poids moyens par trait de chalut pour l'aiguillat noir (*Centroscyllium fabricii*) ont varié au cours des années (Figure 4). De grands intervalles de confiance sont généralement associés aux valeurs les plus élevées. Ceci peut être dû au comportement grégaire de l'espèce et à sa distribution spatiale restreinte dans le golfe. Depuis 2012, les valeurs des indices sont demeurées élevées, se maintenant au-dessus de la limite de référence supérieure de la moyenne de la période 1990-2013.

En général, les structures de taille observées au cours des ans présentent deux modes principaux. Le premier, observé entre 15 et 20 cm (Figure 5), correspond aux jeunes de l'année libérés à une taille de 14 cm par les femelles ovovivipares. Le second mode regroupe des aiguillats adultes dont les longueurs varient entre 50 et 65 cm environ. En plus de ces deux modes qui sont d'amplitude similaire à la moyenne 1990-2013, la structure de taille pour l'année 2014 présente des nombres moyens par trait au-dessus des valeurs moyenne pour les poissons de 30 à 50 cm.

De façon générale, la distribution de l'aiguillat noir observée dans le relevé est concentrée sur l'ensemble du chenal Laurentien ainsi que dans l'estuaire (Figure 6). Des taux de capture importants ont été enregistrés en 2014 dans l'estuaire, au large de la péninsule gaspésienne, ainsi qu'à la limite de couverture du relevé, dans le détroit de Cabot.

CAPELAN

Le capelan (*Mallotus villosus*) est une prise régulière du relevé. Au cours des ans, les taux de capture les plus élevés ont été répertoriés principalement dans l'estuaire du Saint-Laurent, autour de l'île Anticosti et dans la région du détroit de Belle Isle (Figure 7).

Par rapport à 2013, les probabilités de retrouver du capelan lors du relevé de 2014 ont été moins élevées dans la portion sud de la côte ouest de Terre-Neuve (sous-divisions 4Rc et 4Rd) et dans la portion sud de l'île d'Anticosti (Figure 8).

Dans la division 4R, les probabilités (moyenne de krigeage) de retrouver du capelan ont grandement fluctué depuis 1990 (Figure 9). La valeur obtenue en 2014 chute sous la moyenne de la période de référence 1990-2013 après une tendance nette à la hausse entre 2006 et 2013 dont les valeurs étaient même supérieures à la moyenne entre 2010 et 2013.

Dans la division 4S, les probabilités de retrouver du capelan ont beaucoup moins fluctué au cours des années (Figure 9). Elles sont aussi plus élevées que celles de la division 4R. Entre 2002 et 2010, les probabilités ont été stables et près de la moyenne de la période 1990-2013, soit près de 80 %. Toutefois, la valeur calculée pour 2014 chute sous la limite inférieure de référence de 1990-2013 après des valeurs similaires et supérieures à la moyenne entre 2011 et 2013.

CRABE DES NEIGES

En décroissance de 2009 à 2013, le nombre moyen de crabe des neiges (*Chionoecetes opilio*), par trait de chalut, est demeuré stable en 2014. Il se situe nettement sous la moyenne de la période 1990-2013 (Figure 10). Après avoir connu une tendance à la hausse entre 2006 et 2012, le poids moyen par trait a diminué considérablement en 2013 et il est demeuré inchangé en 2014. Le poids moyen estimé pour ce dernier relevé se situe également sous la moyenne à long terme.

Le crabe des neiges a été capturé dans chacun des secteurs échantillonnés sauf dans le détroit de Belle Isle et au sud de la côte ouest de Terre-Neuve. Néanmoins, depuis 1999, son patron de distribution a peu varié au cours des ans (Figure 11). C'est une espèce peu abondante au-delà de 200 mètres.

En 2014, la distribution des taux de capture montre une distribution hétérogène, avec une présence significative de l'espèce dans la moitié ouest de l'aire échantillonnée. Les taux de captures les plus élevés ont été observés principalement dans les régions de Sept-Îles et Rivière-au-Tonnerre ainsi que dans l'estuaire du Saint-Laurent.

CREVETTE NORDIQUE

Les informations préliminaires sur la crevette nordique (*Pandalus borealis*) sont présentées pour l'ensemble du nord du golfe plutôt que pour chacune des zones de pêche à la crevette.

En 2014, le nombre moyen d'individus capturés par trait ainsi que la capture moyenne en poids montrent une légère augmentation comparativement à 2013 et sont similaires à la moyenne de la période 1990-2013 (Figure 12). Toutefois, les valeurs de ces indices sont plus faibles par rapport à celles observées pour le milieu des années 2000. De fait, ces indices ont chuté entre 2003 et 2011.

Les distributions de fréquence de taille montrent qu'en 2014, l'abondance de la majorité des catégories de taille de crevette est comparable à la moyenne de la période 1990-2013, sauf pour les individus mâles de 14-17 mm (longueur de la carapace, LC) dont l'abondance est moindre et les individus femelles plus grands que 21 mm dont l'abondance est supérieure (Figure 13).

Dans l'ensemble, la distribution spatiale de la crevette nordique en 2014 est similaire à celles observées au cours des années récentes (Figure 14). Les meilleurs taux de capture ont été

observés dans les chenaux Esquiman, Anticosti et Laurentien, de même qu'à l'ouest de l'île d'Anticosti jusque dans l'estuaire.

FLETAN ATLANTIQUE

Présentant de faibles valeurs tout au long des années 1990, les nombres moyens et poids moyens par trait de chalut pour le flétan atlantique (*Hippoglossus hippoglossus*) ont été en constante augmentation jusque dans les années récentes (Figure 15). Les rendements observés dans les dernières années demeurent élevés et au-dessus de la limite de référence supérieure de la moyenne de la période 1990-2013. En 2014, les indices sont à des sommets historiques, tant pour l'abondance que pour la biomasse.

En 2014, l'éventail des tailles demeurait très étendu (23 à 155 cm), la taille médiane étant de l'ordre de 60 cm (Annexe 3). Les nombres par trait sont supérieurs aux valeurs de 2013 et à la moyenne de la période 1990-2013 pour la quasi-totalité des classes de taille (Figure 16).

Le patron de distribution du flétan atlantique a peu varié au cours des ans, occupant l'ensemble du territoire couvert par le relevé (Figure 17). Toutefois, depuis le milieu des années 2000, on observe une nette augmentation des taux de capture, associée à l'augmentation des rendements par trait. Les taux de capture les plus élevés observés en 2014 sont généralement en bordure de l'isobathe du 200 m, sur les flancs des chenaux Laurentien, Esquiman et Anticosti, et dans le secteur de Sept-Îles et l'estuaire.

FLÉTAN DU GROENLAND

Les captures moyennes par trait, en nombre d'individus et en poids, de flétan du Groenland (*Reinhardtius hippoglossoides*) ont augmenté en 2014 et sont supérieures aux moyennes de la période 1990-2013 (Figure 18).

Les distributions de fréquence de taille de 2014 montrent que les poissons d'un an (15-20 cm), soit la cohorte de 2013 et de deux ans (20-30 cm), soit la cohorte de 2012, sont plus abondants que la moyenne de la période 1990-2013 (Figure 19). Les poissons de trois ans (30-37 cm), soit la cohorte de 2011, sont peu nombreux alors que les poissons de plus de 3 ans, soit les poissons de plus de 37 cm, sont d'abondances supérieurs à la moyenne de la période 1990-2013.

Le patron de distribution du flétan du Groenland observé en 2014 est similaire à celui qui prédomine depuis le début des années 2000. Les taux de capture les plus importants se retrouvent principalement dans l'estuaire et le secteur à l'ouest de l'île d'Anticosti, ainsi qu'à la tête des chenaux Esquiman, Laurentien et Anticosti, à des profondeurs de plus de 200 m (Figure 20).

GROSSE POULE DE MER

Bien que régulièrement capturée durant le relevé, la grosse poule de mer (*Cyclopterus lumpus*) y est peu fréquente. La capture annuelle moyenne est d'une trentaine d'individus répartis dans une vingtaine de traits. Ainsi, en 2014, 41 individus ont été capturés, répartis dans 26 traits (Annexe 2). Les nombres moyens et poids moyens par trait de chalut sont généralement faibles et relativement stables au cours des ans (Figure 21). En 2014, ils se situent légèrement au-dessus de la moyenne de la période 1990-2013 avec 0,29 individus par trait pour un poids moyen de 0,16 kg.

L'étendue de taille des grosses poules de mer capturées en 2014 est comparable à celle de la série et varie de 4 à 48 cm (Figure 22). Toutefois, l'abondance des différents modes présents en 2014 est généralement supérieure à la moyenne 1990-2013.

Au cours des relevés, les captures de grosse poule de mer ont été réalisées principalement au nord-ouest et au nord-est de l'île Anticosti, à la tête du chenal Esquiman, et dans le détroit de Belle Isle (Figure 23). En 2014, les captures ont été localisées principalement dans le secteur de Sept-Îles et au nord de l'île Anticosti.

HARENG

Bien que pélagique (donc faible capturabilité au chalut de fond), le hareng atlantique (*Clupea harengus harengus*) est une prise régulière du relevé. Associé à quatre stocks reproducteurs, on le retrouve dans toute la zone échantillonnée, notamment en bordure des chenaux (Figure 24). Au cours des ans, les taux de capture (kg/trait) les plus élevés ont été répertoriés dans l'estuaire du Saint-Laurent, le long du chenal Laurentien, entre l'île Anticosti et la côte ouest de Terre-Neuve, ainsi que dans le détroit de Belle Isle.

Par rapport à 2013, les probabilités de retrouver du hareng lors du relevé de 2014 ont été moins élevées dans l'estuaire de même qu'au nord et au sud-est de l'île Anticosti (Figure 25).

Dans la division 4R, les probabilités (moyenne de krigeage) de retrouver du hareng ont été relativement stables entre 1993 et 1997 (Figure 26). Par la suite, elles ont augmenté jusqu'à un maximum d'environ 75 % en 2000 et 2001, avant de chuter et d'atteindre 25 % en 2004. Elles ont augmenté en 2005 et sont demeurées stables jusqu'en 2009 pour chuter à nouveau en 2010 en bas de la limite inférieure de référence. Après une remontée en 2011, elles fluctuent et la probabilité mesurée en 2014 est supérieure à celle de 2013 et au-delà de la moyenne de la période 1990-2013. Des résultats semblables sont observés dans la division 4S mais avec des écarts de fluctuations moins importants (Figure 26). Les probabilités d'y retrouver du hareng sont plus élevées que celles de la division 4R. Toutefois, contrairement à 4R, la valeur mesurée en 2014 est inférieure à celle de 2013.

LOUPS

Trois espèces de loup ont été capturées au cours de la série des relevés estivaux (1990-2014) : le loup atlantique (*Anarhichas lupus*), le loup tacheté (*Anarhichas minor*) et le loup à tête large (*Anarhichas denticulatus*). Selon la *Loi sur les Espèces en Péril* (LEP), le loup tacheté et le loup à tête large ont le statut d'espèce menacée, alors que le loup atlantique est considéré comme espèce préoccupante.

Le loup atlantique est l'espèce la plus fréquente des trois espèces de loups dans la zone d'étude. En 2014, 37 occurrences pour un total de 628 individus ont été enregistrées le long de la côte ouest de Terre-Neuve et au nord-est de l'île d'Anticosti (Figure 27). Les longueurs des individus variaient entre 7 et 76 cm. Ces observations sont comparables aux années précédentes.

Le loup tacheté est capturé occasionnellement lors de ce relevé. En 2014, 14 occurrences pour un total de 23 individus ont été enregistrées le long de la côte ouest de Terre-Neuve et au nord-est de l'île d'Anticosti (Figure 28). Les longueurs des individus variaient entre 9 et 90 cm. Ces observations sont comparables aux années précédentes.

Aucune capture de loup à tête large en 2014. Les captures de cette espèce dans cette mission sont très rares, on compte seulement cinq individus capturés depuis 1990.

MERLU ARGENTE

Jusqu'au milieu des années 2000, les captures de merlu argenté (*Merluccius bilinearis*) ont été peu fréquentes et de peu d'importance au cours du relevé (Figure 29). À la hausse depuis 2009, les indices d'abondance et de biomasse ont atteint des valeurs jamais vues en 2013,

pour redescendre en 2014. Les valeurs de 2014 sont tout de même au-dessus des valeurs moyennes de la période 1990-2013.

Au cours des relevés, la taille des merlus argentés capturés a varié entre 10 et 45 cm, l'abondance des différentes classes de taille étant très faible jusqu'à la fin des années 2000 (Figure 30). Des deux modes observés en 2013 dans la distribution de taille du relevé, seul celui centré sur 30 cm subsiste en 2014 et son amplitude est moindre.

Exception faite du nord de la côte ouest de Terre-Neuve, l'aire de distribution du merlu argenté s'étend à la grandeur de l'aire échantillonnée, même s'il est peu fréquemment capturé (Figure 31). Au cours des dernières années, les taux de capture les plus élevés ont été observés à l'entrée du détroit de Cabot, du côté terre-neuvien, et le long de la bordure nord du chenal Laurentien.

MERLUCHE A LONGUES NAGEOIRES

La tendance générale des nombres moyens et des poids moyens par trait de chalut pour la merluche à longues nageoires (*Phycis chesteri*) montre une diminution depuis le début des années 1990 (Figure 32). En 2014, ils ont atteint les plus faibles valeurs de la série, très en-deçà de la limite de référence inférieure de la moyenne de la période 1990-2013.

Les distributions de fréquences de taille de la merluche à longues nageoires s'étendent principalement entre 12 et 40 cm et ce, pour l'ensemble des relevés (Figure 33). En 2014, l'abondance des différentes catégories de taille des poissons capturés se situe encore très en-deçà de la distribution moyenne de la période 1990-2013. À noter que par rapport à l'année précédente, les captures de poissons de moins de 20 cm ont été nettement moins importantes.

Depuis le début du relevé en 1990, la distribution de la merluche à longue nageoire se répartit dans la partie sud de l'aire échantillonnée, soit du détroit de Cabot à l'estuaire (Figure 34). Les taux de capture les plus élevés ont été retrouvés dans la moitié aval du chenal Laurentien.

MERLUCHE BLANCHE

Les nombres moyens et poids moyens par trait pour la merluche blanche (*Urophycis tenuis*) des divisions 4RST ont diminué de façon importante entre 1990 et 1993 (Figure 35). Par la suite, ils ont fluctué jusqu'au milieu des années 2000 sans montrer de tendance claire. Depuis 2004, les valeurs se situent près ou sous les moyennes de la période 1990-2013. En 2014, on observe une légère augmentation des indices dont les valeurs sont comparables aux moyennes à long terme.

La distribution de fréquences de taille observée entre 1990 et 2013 montre une étendue variant principalement entre 20 et 60 cm (Figure 36). En 2013, l'abondance des individus de 30-36 cm surpassaient la distribution moyenne de la période 1990-2013. En 2014, ces individus sont observés entre 39 et 42 cm avec une abondance encore supérieure à la moyenne de la série. Par ailleurs, les merluches adultes de 45 cm et plus demeurent peu abondantes.

En général, les taux de capture de merluche blanche les plus importants ont été obtenus dans la portion sud de la zone échantillonnée (Figure 37). En 2014, les taux de capture élevés ont été recensés dans la même région, soit la moitié aval du chenal Laurentien et la portion sud du chenal Esquiman.

MORUE

Les nombres moyens et poids moyens par trait de chalut pour la morue (*Gadus morhua*) sont généralement faibles et stables depuis 1992 (Figure 38). En 2014, on observe une augmentation de ces indices qui se situent au-dessus de la moyenne de la série 1990-2013. Depuis 1990, il s'agit respectivement de la deuxième et de la quatrième valeur la plus élevée en nombre moyen par trait et en poids moyen par trait. Il est à noter que la couverture du relevé en 2014 fut intégrale et incluait le détroit de Belle Isle ce qui n'a pas toujours été le cas, notamment en 2013.

En 2014, la large étendue de la distribution des fréquences de taille révèle notamment que les deux modes à 18 et 26 cm observés en 2013 demeurent modales en 2014 à 23 cm (2 ans) et 34 cm (3 ans) et leurs abondances sont supérieures à la moyenne de la série 1990-2013 (Figure 39). Contrairement aux années 2011, 2012 et 2013, aucune morue de taille inférieure à 10 cm n'a été capturée.

De 1994 à 2005, les concentrations de morue au nord et à l'ouest de l'île Anticosti ont présenté une diminution graduelle, pour ensuite augmenter à partir de 2006 (Figure 40). Les distributions de 1990-1994 et 2011-2014 sont maintenant relativement comparables, avec des concentrations dans le secteur du détroit de Belle Isle, le long de la côte ouest de Terre-Neuve ainsi qu'au nord et à l'ouest de l'île Anticosti.

MYXINE

Les nombres moyens et poids moyens par trait de chalut pour la myxine (*Myxine glutinosa*) ont fluctué tout au cours de la série (Figure 41). En 2014, ils se comparent à la moyenne de la période 1990-2013, avec 20 individus par trait pour un poids moyen de l'ordre de 1,1 kg.

La collecte de données de longueur a commencé en 2003 (Figure 42) pour cette espèce. La distribution des fréquences de taille est constituée d'un seul large mode s'étalant entre 20 et 50 cm. En 2014, l'abondance des différentes classes de taille se compare à la moyenne de la période 2003-2013.

Tout au long de la série, les captures de myxines ont été concentrées dans l'estuaire et dans les eaux profondes du chenal Laurentien (Figure 43).

PLIE CANADIENNE

Les nombres moyens et poids moyens par trait de chalut pour la plie canadienne (*Hippoglossoides platessoides*) ont fluctué entre 1990 et 2003 sans montrer de tendances claires (Figure 44). Entre 2004 et 2009, ces indices se sont stabilisés près de la moyenne de la série. Ils ont augmenté par la suite et sont passés au-dessus de la moyenne en 2011. Ils sont en baisse depuis et les valeurs pour 2014 sont légèrement sous les moyennes de référence avec un nombre moyen de 43 individus par trait pour un poids moyen de 4 kg par trait.

Depuis le début du relevé en 1990, l'étendue des distributions de fréquences de taille des plies canadiennes capturées est demeurée assez constante avec des longueurs variant principalement de 5 à 45 cm (Figure 45). La structure de tailles de 2012 présentait un mode important à 8 cm que l'on retrouve à 11-12 cm en 2013 et à 15 cm en 2014. L'abondance de ce dernier mode est toutefois inférieure à celle de la moyenne de la période 1990-2013. En 2014, l'abondance des plies canadiennes dont la taille varie de 5 à 30 cm est inférieure à celle de la moyenne de la série 1990-2013. L'abondance des plies canadiennes de plus de 30 cm est comparable à celle de la série

La plie canadienne est présente dans l'ensemble de l'estuaire et du nord du golfe du Saint-Laurent à des profondeurs de 250 m et moins (Figure 46). En 2014, l'espèce a été répertoriée dans près de 80 % des stations de pêche. De fait, c'est l'espèce de poisson présentant la troisième plus importante valeur d'occurrence (Annexe 2). Les taux de capture de la plie canadienne pour 2014 montre la même distribution spatiale que celle de la série 1990-2013. Ainsi les taux de capture les plus élevés ont été observés dans l'estuaire, le secteur de la baie de Sept-Îles, et tout le long de la côte ouest de Terre-Neuve.

PLIE GRISE

Les nombres moyens et poids moyens par trait pour la plie grise (*Glyptocephalus cynoglossus*) ont diminué entre 1990 et 1993, puis sont demeurés relativement stables et sous la moyenne de 1994 à 1998 (Figure 47). Cette période de stabilité a été suivie par deux vagues d'augmentation et de diminution entre 1998 et 2005. Par la suite, les nombres moyens par trait ont généralement augmenté jusqu'en 2013 et sont demeurés près ou quelque peu supérieurs à la moyenne de la période 1990-2013. En 2014, l'abondance a diminué et le nombre moyen par trait est passé à 14,6 sous la moyenne de la série qui se situe à 16,6. La capture moyenne en poids n'a augmenté qu'à partir de 2010 et se situe depuis au-dessus de la moyenne à long terme.

Les distributions des fréquences de taille des plies grises capturées au cours du relevé montrent une gamme de tailles relativement constante variant entre 5 et 45 cm (Figure 48). Les modes qui caractérisent les différentes années sont cependant assez variables et s'expliquent par la croissance des différentes cohortes. Ainsi, le mode principal observé à 26 cm en 2011, se retrouve à 28 cm en 2012, puis à 30-31 cm en 2013 et 33-34 cm en 2014. Cette abondante cohorte est visible dans les données du relevé depuis 2008. Une seconde cohorte qui apparaît depuis 2010 atteint les 27-30 cm en 2014. La présence de ces deux cohortes explique l'abondance plus élevée des gammes de taille de 25 à 42 cm en 2014 par rapport à la moyenne de la période 1990-2013. Les plies grises dont la taille est inférieure à 25 cm sont cependant largement sous représentées dans le relevé de 2014.

La plie grise est présente dans près de 80 % des traits de pêche de la zone échantillonnée (Figure 49). Elle est largement répartie dans le nord du golfe du Saint-Laurent, mais elle est toutefois absente du détroit de Belle Isle. Les plus grosses captures sont généralement effectuées à la tête et le long du versant sud du chenal Laurentien, ainsi que dans l'estuaire. Pour certaines années, des taux de capture élevés sont également observés le long de la côte ouest de Terre-Neuve et sur le banc Beaugé. La distribution spatiale de la plie grise en 2014 est similaire aux années antérieures.

PLUMES DE MER

L'identification des différents taxons de plume de mer dans les captures a débuté en 2011. Les données recueillies depuis ont permis de suivre le patron de distribution et les taux de capture de quatre espèces : *Anthoptilum grandiflorum*, *Halipterus finmarchica*, *Pennatula aculeata* et *Pennatula grandis*.

Avec quatre années de données, les patrons de distributions se confirment et se comparent d'une année à l'autre (Figures 50 à 53). Les plumes sont principalement rencontrées dans les eaux profondes (> 200 m) et elles ne sont pas présentes dans les secteurs peu profonds de la côte ouest de Terre-Neuve, du détroit de Belle-Isle et au nord de l'île d'Anticosti. *P. aculeata* est l'espèce la plus largement distribuée dans le nord du golfe et elle est présente dans tous les chenaux, soit Esquiman, Anticosti et Laurentien. *P. grandis* et *A. grandiflorum* sont

principalement concentrées dans le chenal Laurentien, alors que la distribution de *H. finmarchica* est limitée à un secteur du chenal Laurentien au sud de l'île d'Anticosti.

RAIE ÉPINEUSE

Les tendances des indices en nombre et en poids moyen par trait pour la raie épineuse (*Amblyraja radiata*) se découpent en deux périodes. Pour les années 1990, la tendance générale observée pour les nombres moyens d'individus capturés est à la baisse passant de supérieure à inférieure à la moyenne à la long-terme de la période 1990-2013 (Figure 54). Parallèlement, les captures moyennes en poids se situent, sauf exception en 1991, en deçà de la limite de référence inférieure à la moyenne à long terme. Les deux indices présentent un important accroissement entre 2002 et 2003, pour alors dépasser la limite de référence supérieure de la moyenne à long terme. Les valeurs des deux indices diminuent quelque peu par la suite demeurant toutefois près (nombre par trait) ou supérieures (poids par trait) à la moyenne de la période 1990-2013. En 2014, les nombres et poids moyens par trait sont stables par rapport à 2013 et se situent près et au-dessus de la moyenne à long terme.

La distribution des fréquences de taille des raies épineuses capturées lors du relevé présente un patron similaire année après année. En 2014, l'abondance des petits (10-18 cm) et des gros (50-70 cm) individus est supérieure à l'abondance moyenne pour la période 1991-2013 (Figure 55). Toutefois, l'abondance des raies épineuses de tailles intermédiaires (18-50 cm) est inférieure à l'abondance moyenne de la série.

La distribution spatiale de la raie épineuse s'étend à l'ensemble de l'aire d'étude du relevé (Figure 56). En 2014, l'espèce a été retrouvée dans 77 % (143/185) des traits de pêche, les taux de capture les plus élevés étant répertoriés à des profondeurs variant entre 150 et 250 m. À noter la présence d'une concentration récurrente à la tête du chenal Laurentien, dans l'estuaire du Saint-Laurent, tout au long du relevé.

RAIE LISSE

Bien que variables au cours des années 1990, les nombres moyens de raie lisse (*Malacoraja senta*) capturée par trait sont demeurés faibles, se situant sous ou près de la moyenne de la période 1990-2013 (Figure 57). Suite à une augmentation significative entre 2002 et 2003 (deux années où certaines espèces présentent des valeurs anormales pour les indices dans ce relevé), l'abondance en nombre capturé par trait a diminué pour osciller autour de la moyenne à long terme et ce, jusqu'en 2013. En 2014, cet indice est en baisse et se situe sous la moyenne à long terme avec une valeur comparable à celles du début de la série. Parallèlement, la capture en poids moyen par trait a montré des variations sans véritable tendance entre 1990 et 2003, puis elle s'est stabilisée à des valeurs légèrement sous la moyenne de la série.

En 2014, la distribution des fréquences de taille de la raie lisse présente une étendue similaire à celle des années antérieures. L'abondance des petits (10-18 cm) et des gros (50-70 cm) individus est comparable à l'abondance moyenne pour la période 1991-2013 pour des tailles similaires (Figure 58). Par contre, l'abondance des individus de taille intermédiaire (18-50 cm) est nettement inférieure à celle de la moyenne de la série à long terme.

Depuis les années 2000, l'espèce est capturée dans plus de la moitié des traits de pêche (59 %), les plus fortes abondances étant répertoriées aux profondeurs de plus de 100 m (Figure 59). En 2014, les taux de capture les plus élevés ont été principalement rencontrés au sud de l'île Anticosti, dans les chenaux Anticosti et Esquiman, ainsi que dans la partie ouest du relevé, estuaire et secteur de Sept-Îles.

SÉBASTE ACADIEN¹

Les nombres moyens et poids moyens par trait de chalut pour le sébaste acadien (*Sebastes fasciatus*) ont chuté entre 1990 et 1994 (Figure 60). Ils sont demeurés à un niveau faible et stable jusqu'en 2004. L'augmentation observée entre 2005 et 2007 découle essentiellement du recrutement de la forte classe d'âge de 2003, dont l'abondance a diminué en 2008. Par la suite, les nombres et les poids moyens sont demeurés à un faible niveau. En 2013 et 2014, on observe une importante augmentation de ces indices due à l'arrivée de petits individus. Les nombres moyens et poids moyens par trait de chalut en 2014 sont au-dessus de la moyenne de la période 1990-2013.

Les distributions de fréquences de taille indiquent de faibles abondances d'individus de grandes tailles depuis 1994 (Figure 61). La forte cohorte de 2003, présente entre 2005 et 2008, a disparu en 2009 avant d'atteindre 20 cm de longueur. Le mode à 10 cm observé en 2013 (cohorte de 2011) devient modal à 13 cm en 2014. Plusieurs individus de tailles autour de 10 cm sont aussi présents en 2014. Il est à noter que plusieurs individus de taille autour de 4 à 5 cm ont été observés en 2012, 2013 et également en 2014.

Au début des années 1990, d'importantes concentrations ont été observées au nord et à l'est de l'île Anticosti, ainsi que dans le secteur sud-ouest de la zone inventoriée. Par la suite, la répartition s'est concentrée au sud-est de l'île Anticosti et dans la partie méridionale du chenal Esquiman (Figure 62). En 2013 et 2014, on observe une vaste répartition de l'espèce, avec de forts taux de captures à l'ouest et au sud de l'île Anticosti, de même que dans le chenal Esquiman.

SÉBASTE ATLANTIQUE²

Les nombres moyens et poids moyens par trait de chalut pour le sébaste atlantique (*Sebastes mentella*) ont chuté de façon importante entre 1990 et 1994 (Figure 63). Ils sont demeurés à un niveau faible et relativement stable jusqu'en 2012. En 2013 et 2014, on observe une importante augmentation de ces indices due à l'arrivée de petits individus. Il est à noter que des analyses génétiques ont confirmé que cette nouvelle cohorte (2011) est composée essentiellement de sébastes atlantiques. Les nombres moyens et poids moyens par trait de chalut en 2014 sont au-dessus de la moyenne de la période 1990-2013.

Les distributions de fréquences de taille indiquent de faibles abondances d'individus de grandes tailles depuis 1994 (Figure 64). La cohorte de 2003, présente entre 2005 et 2007, a disparu en 2008 avant d'atteindre 20 cm de longueur. Le mode à 10 cm observé en 2013 devient modal à 13 cm en 2014. Plusieurs individus de tailles autour de 10 cm sont aussi présents en 2014. Il est à noter que plusieurs individus de taille autour de 4 à 5 cm ont été observés en 2012, 2013 et également en 2014.

Le patron de distribution du sébaste atlantique observé au début des années 1990 indique une vaste répartition s'étendant au sud et à l'est de l'île Anticosti. Par la suite, la distribution a été plus restreinte avec d'importantes concentrations au sud-est de l'île Anticosti, notamment dans les eaux plus profondes du chenal Laurentien et le détroit de Cabot (Figure 65). En 2013 et

¹ La détermination des espèces de sébaste est basée sur un décompte des rayons mous de la nageoire anale sur un nombre maximum de 60 sébastes par trait. Cette méthode peut biaiser les résultats, notamment lors de l'arrivée d'une forte cohorte. Des analyses génétiques sont alors essentielles pour confirmer l'identification et la proportion de chacune des deux espèces (*S. fasciatus* et *S. mentella*).

² Idem

2014, on observe à nouveau une large répartition qui s'étend vers l'ouest jusque dans l'estuaire, vers le sud jusqu'au détroit de Cabot, ainsi que vers l'est au niveau du chenal Esquiman. De forts taux de captures ont été enregistrés dans le chenal Esquiman, au sud-ouest de Terre-Neuve, au sud-est de l'île Anticosti, et dans le secteur ouest du golfe (Sept-Îles).

INVERTEBRES - GENERALITES

En 2014, 195 taxons d'invertébrés (sous-espèces, espèces, genres, familles et classes confondus) ont été répertoriés. Ils appartiennent à treize embranchements: mollusque (55 taxons), arthropode (48), échinoderme (34), cnidaire (29), annélide (9), tunicier (sous-embranchement) (6), éponge (4), bryzoaire (3), brachiopode (2), sipunculien (2), cténophore (1), plathelminthe (1) et échiure (1).

Les taxons les plus fréquemment observés (occurrence) sont : la crevette nordique *Pandalus borealis*, les éponges (Porifera), le crabe des neiges *Chionoecetes opilio*, l'étoile de mer *Ctenodiscus crispatus*, la crevette blanche *Pasiphea multidentata*, les polychètes (Polychaeta), la crevette ésope *Pandalus montagui*, la méduse *Ptychogena lactea*, les ascidies et tuniqueés sessiles (Ascidiacea), la plume de mer *Pennatula aculeata* et l'oursin cœur *Brisaster fragilis* (Annexe 2).

Les captures les plus élevées, par taxon, pour l'ensemble du relevé sont celles de la crevette nordique *Pandalus borealis*, la crevette ésope *Pandalus montagui*, la crevette blanche *Pasiphea multidentata*, l'oursin cœur *Brisaster fragilis*, l'étoile de mer *Ctenodiscus crispatus*, l'ophiure *Ophiura sarsii* et du bouc du Groenland *Eualus macilentus* (Annexe 2).

Une attention particulière a été consacrée au repérage d'espèces envahissantes notamment dans le groupe de tuniciers. Quelques spécimens pouvant faire partie de ce groupe ont été observés. Selon une identification préliminaire, il pourrait s'agir du botrylloïde violet *Botrylloides violaceus*, un tunicier envahissant qui a été observé dans le golfe du Saint-Laurent pour la première fois en 2012.

CONDITIONS OCEANOGRAPHIQUES PHYSIQUES

L'analyse préliminaire des données de température de l'eau mesurée en 2014 montre des conditions chaudes près de la surface et sous la couche intermédiaire froide, mais près de la normale en ce qui concerne la couche intermédiaire froide (Figure 66 et 67).

Les températures de l'air au-dessus du golfe en juillet 2014 ont été les plus chaudes pour ce mois depuis la prise de ces données en 1873. Elles ont été suivies en août par des températures de l'air encore chaudes dans le nord-ouest du golfe ainsi que dans l'estuaire. Cette combinaison a donné un record des températures de surface de l'eau en août qui atteignait une anomalie de + 2,5 °C moyennée sur tout le golfe (par rapport à la climatologie 1985-2010) et de + 4 °C dans l'estuaire et le nord-ouest du golfe.

Suite à un hiver particulièrement froid, les températures et les épaisseurs de la couche intermédiaire froide estivale sont revenues à des conditions près de la normale climatologique pour la première fois depuis 2009, sauf dans l'estuaire où elles sont demeurées chaudes (Figures 66 et 67).

Sous la couche intermédiaire froide, la circulation estuarienne qui transporte les eaux profondes vers les têtes des chenaux a fait propager les eaux chaudes présentes depuis quelques années dans le détroit de Cabot, le centre du golfe et le chenal Esquiman vers l'amont. Les températures à 200 et 300 m ont par conséquent augmentées dans la plupart des régions depuis 2013, mais en particulier dans ces mêmes trois régions (Figure 66). En considérant toutes les données prises à différents mois de l'année, les régions du détroit de Cabot et du

centre du golfe connaissent actuellement des records de température depuis 1915 à 200 m (température de 6,4 °C, anomalie de + 1,6 °C ou + 2,7 É.T., et de 5,9 °C, + 1,4 °C et + 2,6 É.T respectivement pour les deux régions), tandis que le chenal Anticosti connaît un record de température à 300 m (6,3 °C; + 0,8 °C; + 2,8 É.T.). Moyennée sur l'ensemble du golfe, la température atteint un niveau record à 300 m (6,0 °C, + 0,5 °C, + 3.3 É.T.) et le plus élevé depuis 1980 à 200 m (5,9 °C, + 0,5 °C, + 2,0 É.T.).

La Figure 67 résume ces constats, indiquant les records de températures à la surface pour le nord du golfe moyenné pour juillet et août ainsi que pour mai à août, le record de température à 200 m et le maximum depuis 1980 à 300 m. La température de la couche intermédiaire froide elle par contre revenue près de la normale.

REMERCIEMENTS

Nous remercions les deux équipages du *NGCC Teleost* et désirons souligner l'excellent travail réalisé par les membres de l'équipe scientifique qui, en 2014, était composée de Camille Alboury, Denis Bernier, Hugo Bourdages, Claude Brassard, Sylvain Chartrand, Pierre-Marc Chouinard-Scallon, Mathieu Desgagnés, Johanne Gauthier, Julie Joseph, Caroline Lafleur, Alexandra Leclerc, Sébastien Lemieux Lefebvre, Isabelle Lévesque, Marie-Claude Marquis, Chantal Méthot, Claude Nozeres, Éric Parent, Bernard Pettigrew, Michel Rousseau, Philippe Schwab, Sylvie St-Pierre, Hélène Talbot et Fanny Vermandele.

Finalement, des remerciements sont aussi adressés à Denis Bernier et Claude Savenkoff pour la révision de ce document.

RÉFÉRENCES

- Akenhead, S. A. et E. M. LeGrow. 1981. The Vertebrates Code of the Northwest Atlantic Fisheries Centre. Can. Data Rep. Fish. Aquat. Sci. 309: 58 p.
- Bourdages, H., L. Savard, D. Archambault et S. Valois. 2007. Résultats des expériences de pêche comparative d'août 2004 et 2005 dans le nord du golfe du Saint-Laurent, entre le NGCC Alfred Needler et le NGCC Teleost. Rapp. tech. can. sci. halieut. aquat. 2750 : ix + 57 p.
- Lilly, G.R. 1982. The Marine Invertebrates Code of the Northwest Atlantic Fisheries Center. Can. Data rep. Fish. Aquat. Sci. 365: 44p.
- McCallum, B. et S.J. Walsh. 2002. An update on the performance of the Campelen 1800 during bottom trawl surveys in NAFO subareas 2 and 3 in 2001. NAFO SCR Doc. 02/36. 16 p.
- R Development Core Team. 2011. [R: A language and environment for statistical computing](#). R Foundation for Statistical Computing. Vienna, Austria. (Accédé le 31 octobre 2011).

FIGURES

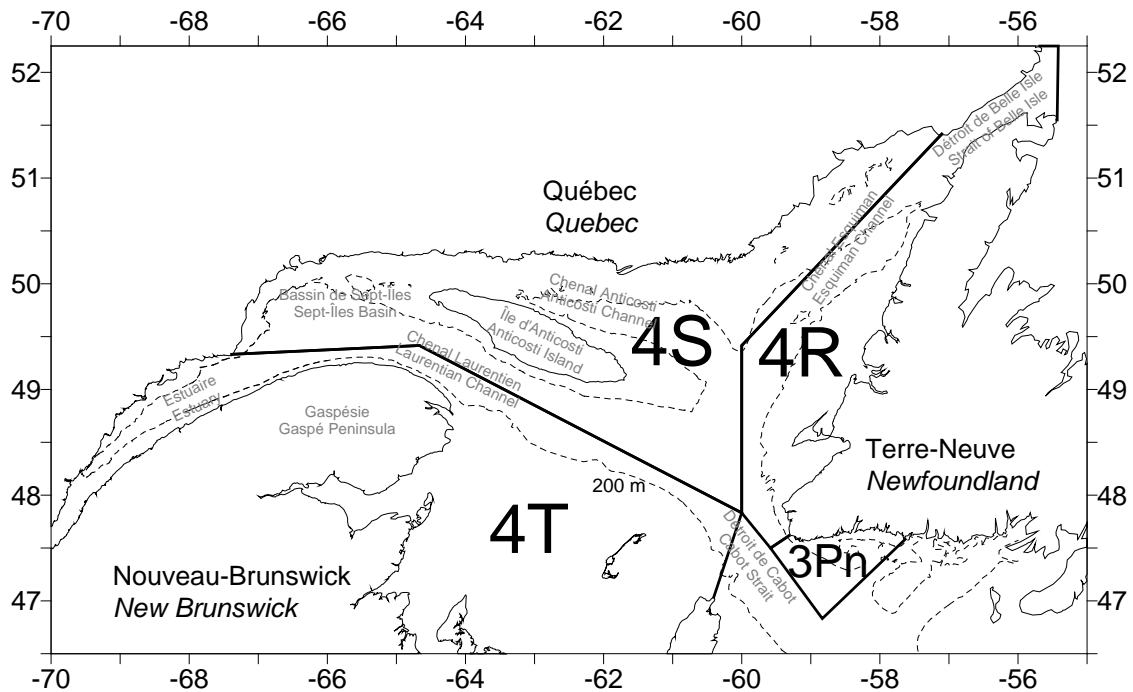


Figure 1. Divisions de l'OPANO de l'estuaire et du golfe du Saint-Laurent et lieux géographiques mentionnés dans le texte.

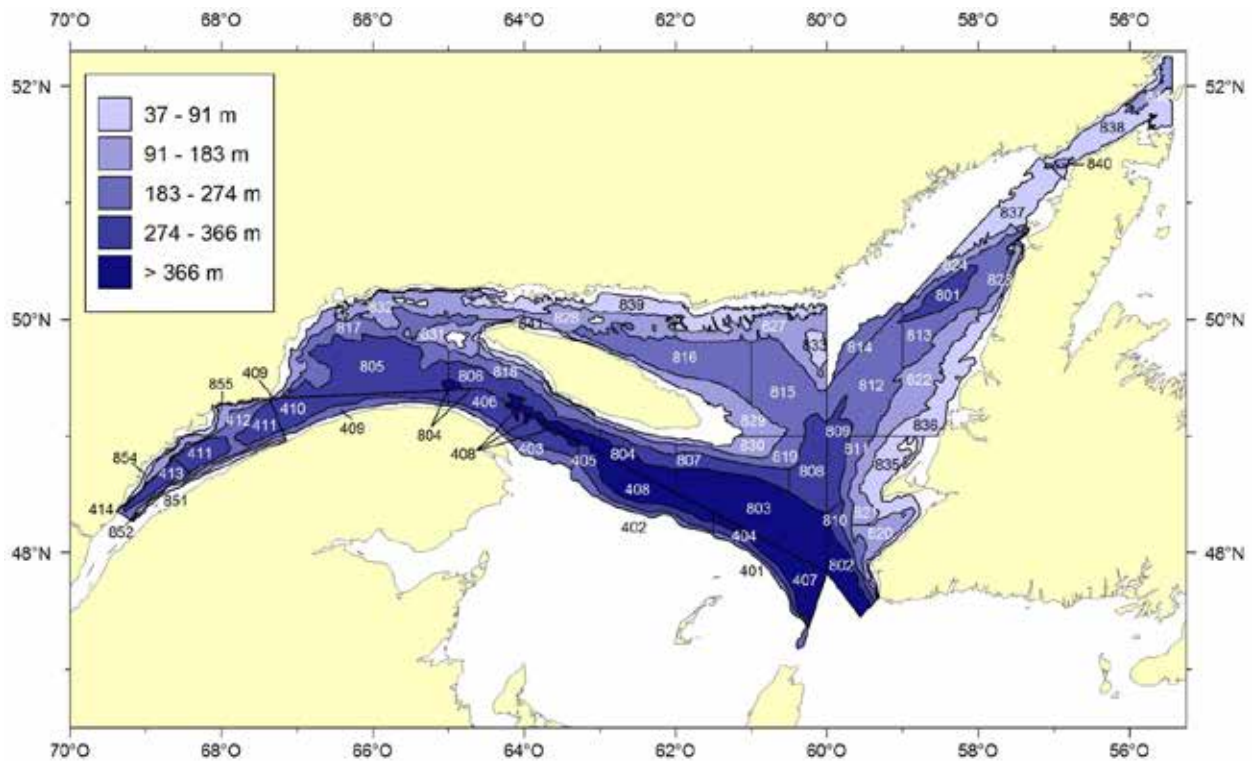


Figure 2. Schéma de stratification utilisé pour le relevé de recherches sur les poissons de fond et la crevette dans l'estuaire et le nord du golfe du Saint-Laurent.

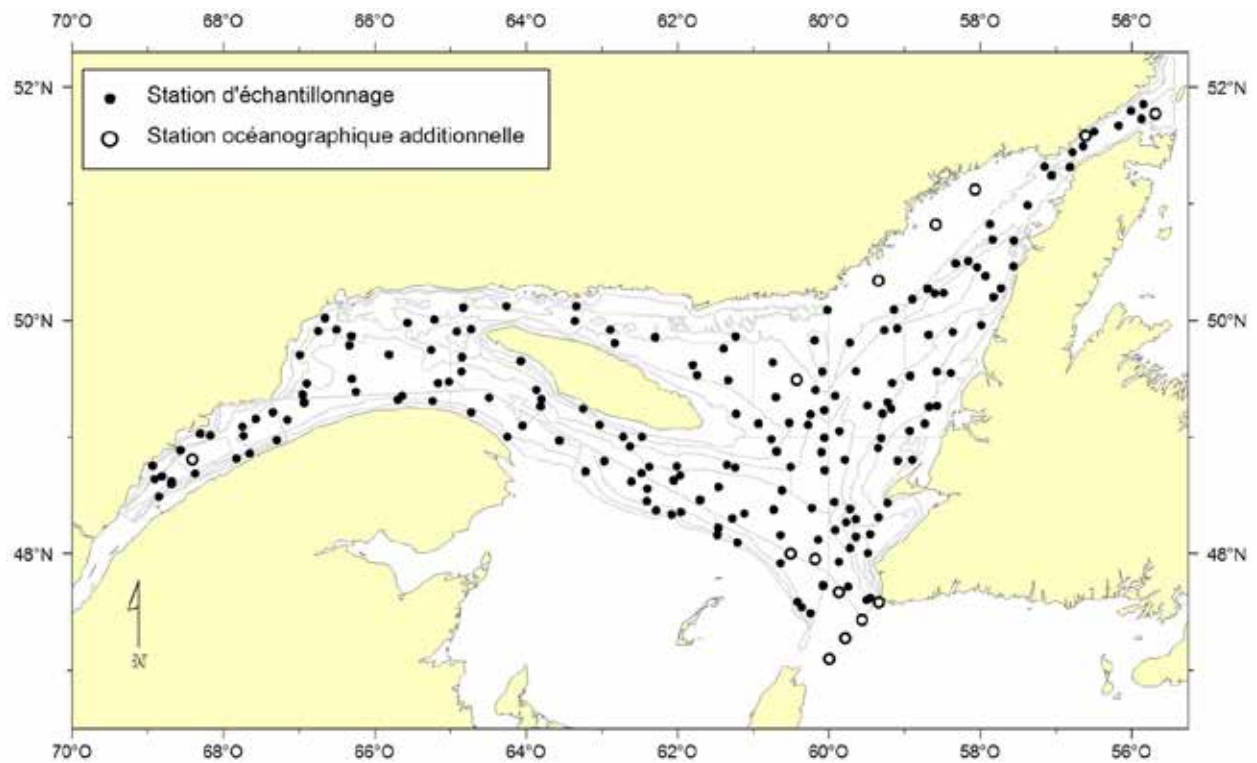


Figure 3. Position des stations d'échantillonnage réussies (chalutage et océanographie) et des stations océanographiques additionnelles pour le relevé de 2014.

Aiguillat noir

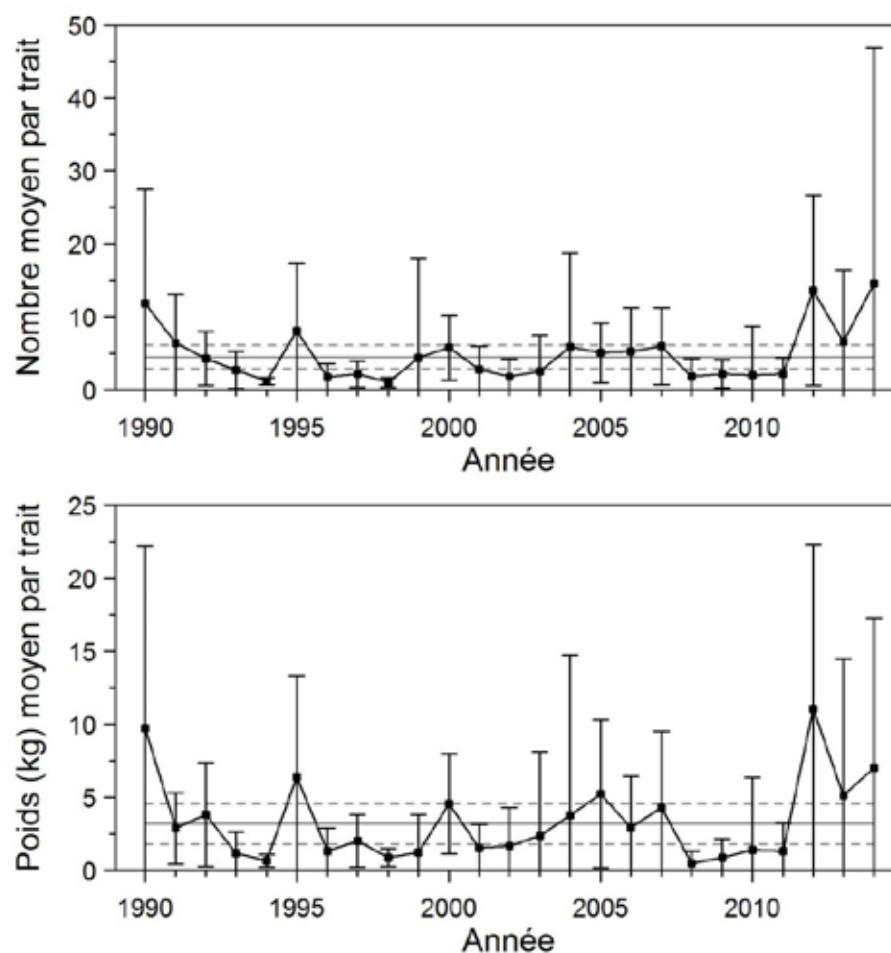


Figure 4. Nombres moyens et poids moyens par trait de 15 minutes observés lors du relevé pour l'aiguillat noir dans 4RST. Les barres d'erreur indiquent l'intervalle de confiance à 95 % et les lignes horizontales indiquent la moyenne de la période 1990-2013 (ligne pleine) et les limites de référence (voir texte) supérieure et inférieure (lignes pointillées).

Aiguillat noir

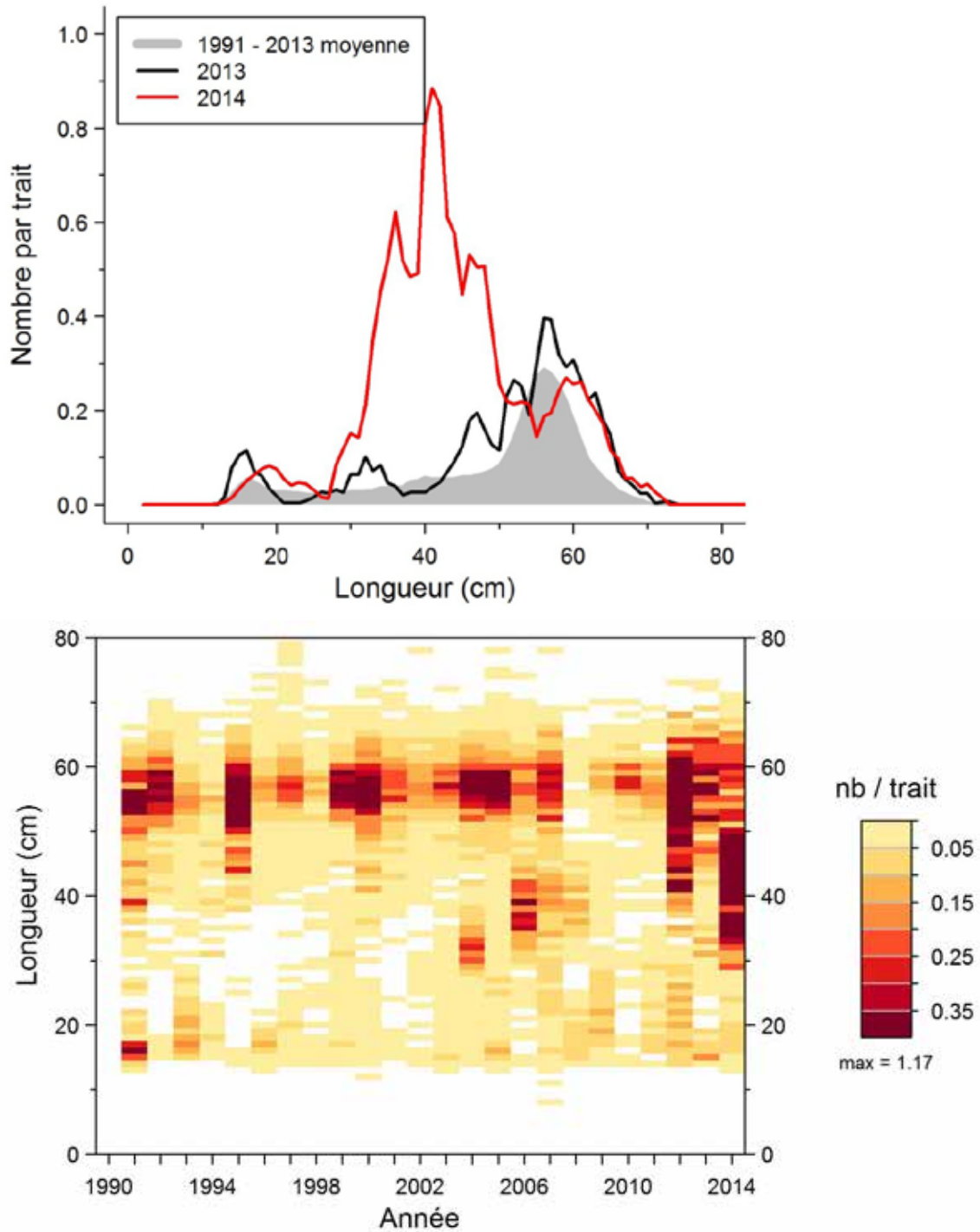


Figure 5. Distributions des fréquences de longueur (nombre moyen par trait de 15 minutes) observées lors du relevé pour l'aiguillat noir dans 4RST.

Aiguillat noir

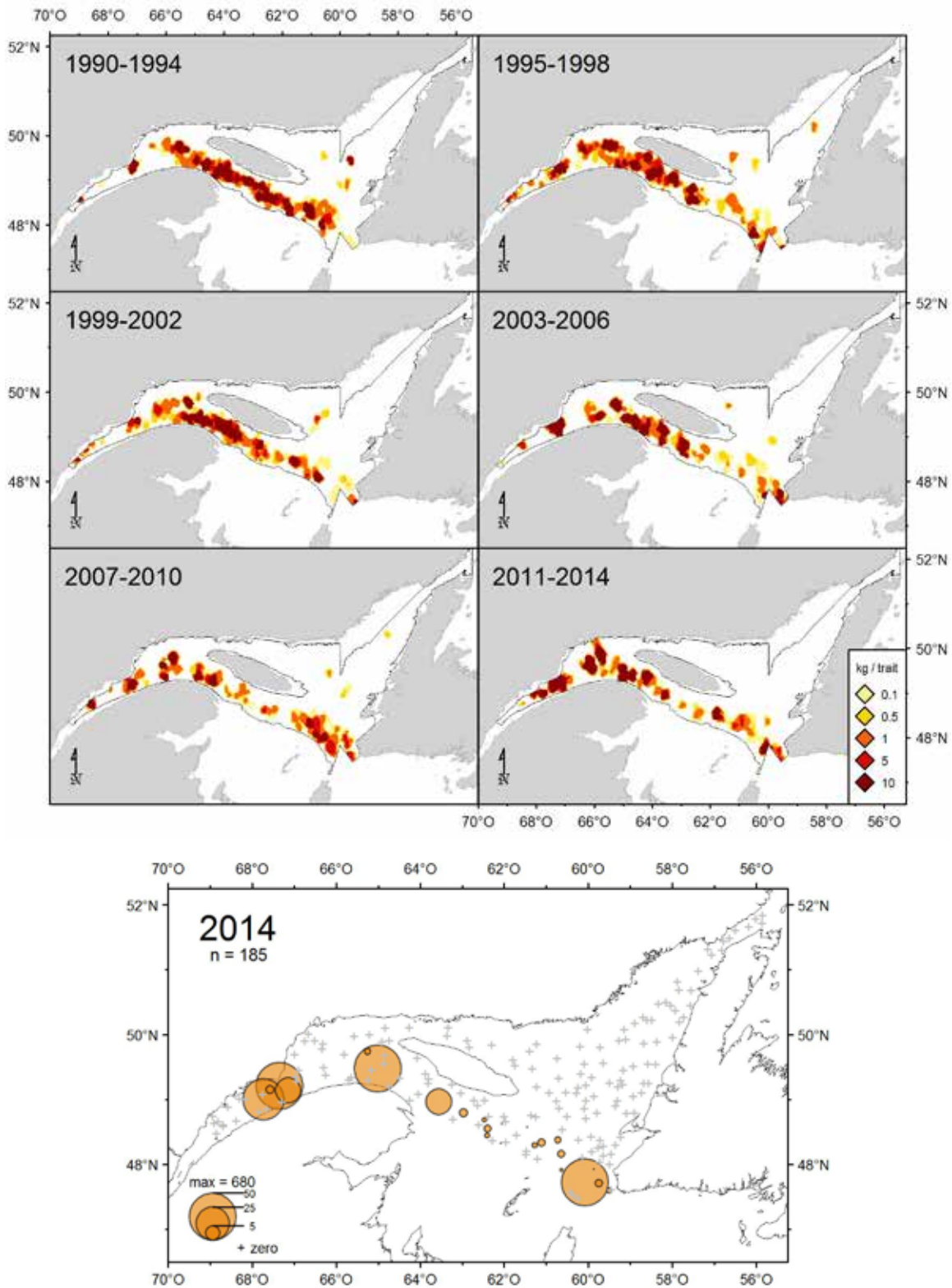


Figure 6. Distribution des taux de capture (kg/trait de 15 minutes) d'aiguillat noir.

Capelan

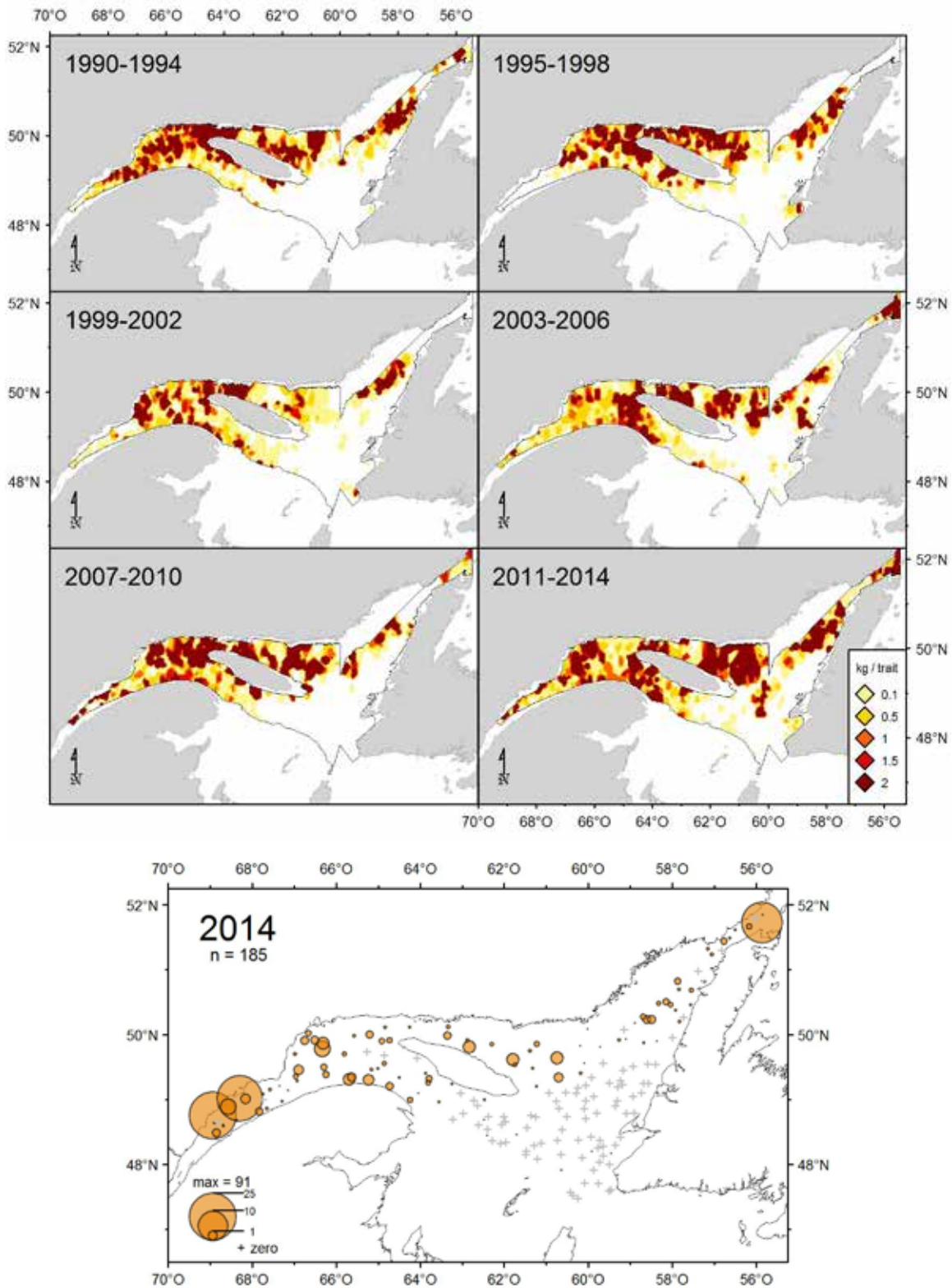


Figure 7. Distribution des taux de capture (kg/trait de 15 minutes) de capelan.

Capelan

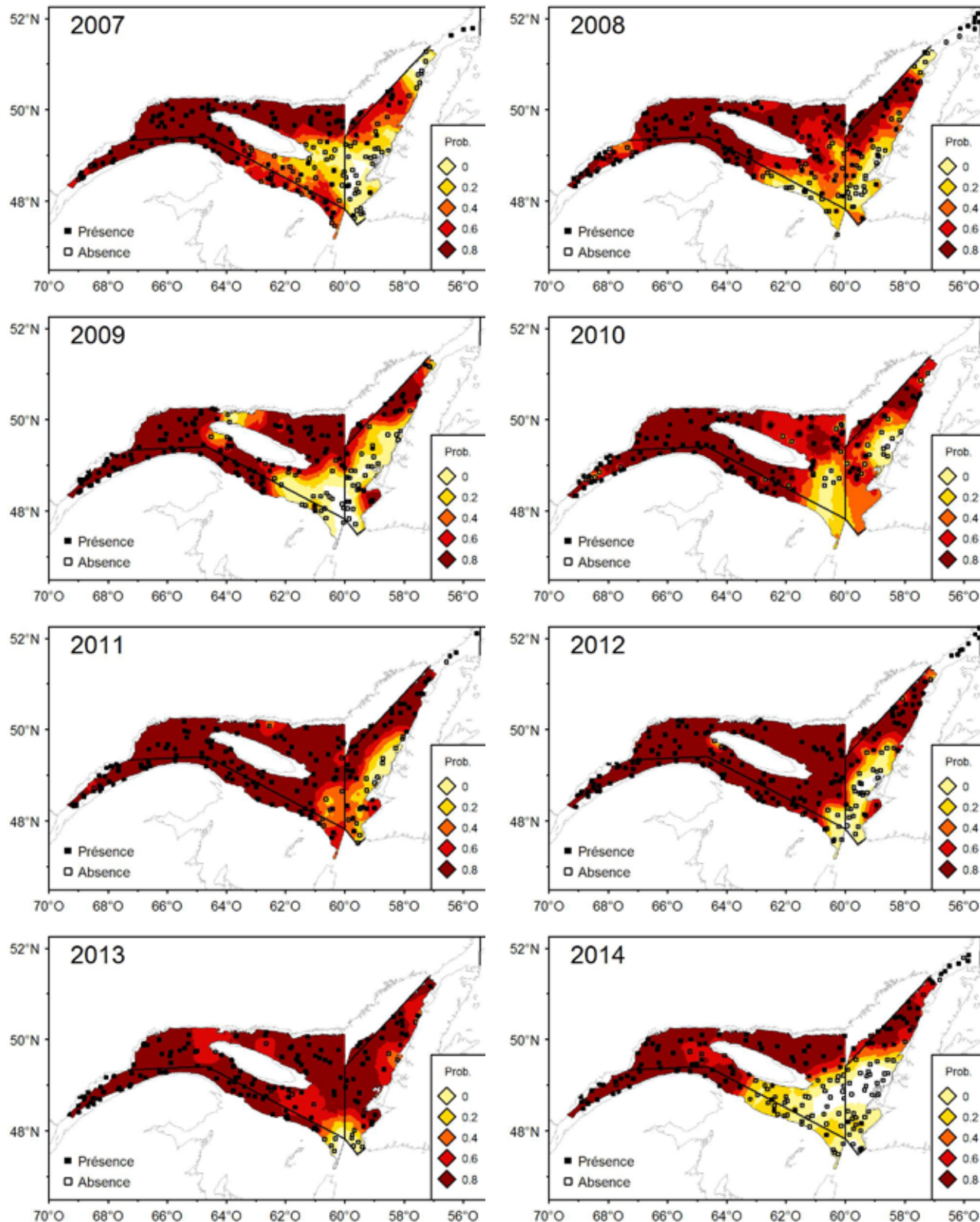
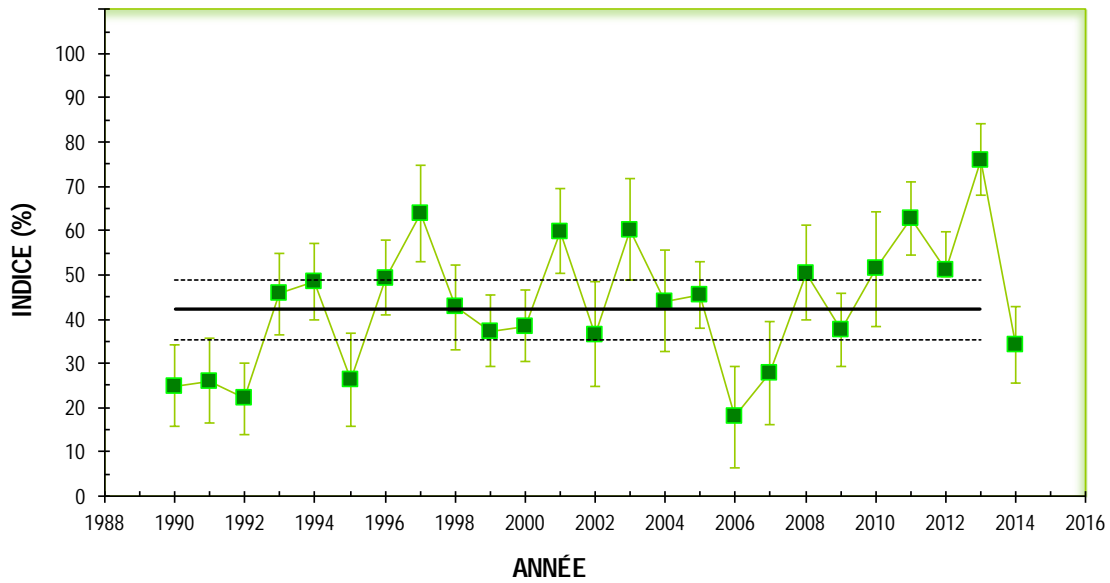


Figure 8. Surfaces de probabilités (%) associées à la présence de capelan.

Capelan

DIVISION 4R



DIVISION 4S

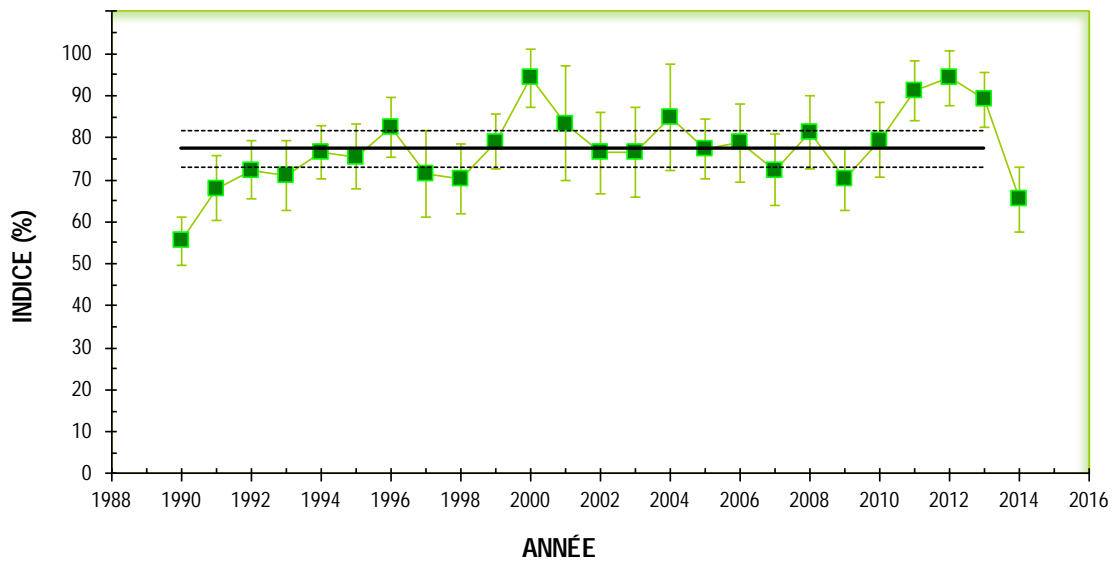


Figure 9. Probabilités moyennes de retrouver du capelan dans les divisions 4R et 4S de l'OPANO. Les barres d'erreur indiquent l'intervalle de confiance à 95 % et les lignes horizontales indiquent la moyenne de la période 1990-2013 (ligne pleine) et les limites de référence (voir texte) supérieure et inférieure (lignes pointillées).

Crabe des neiges

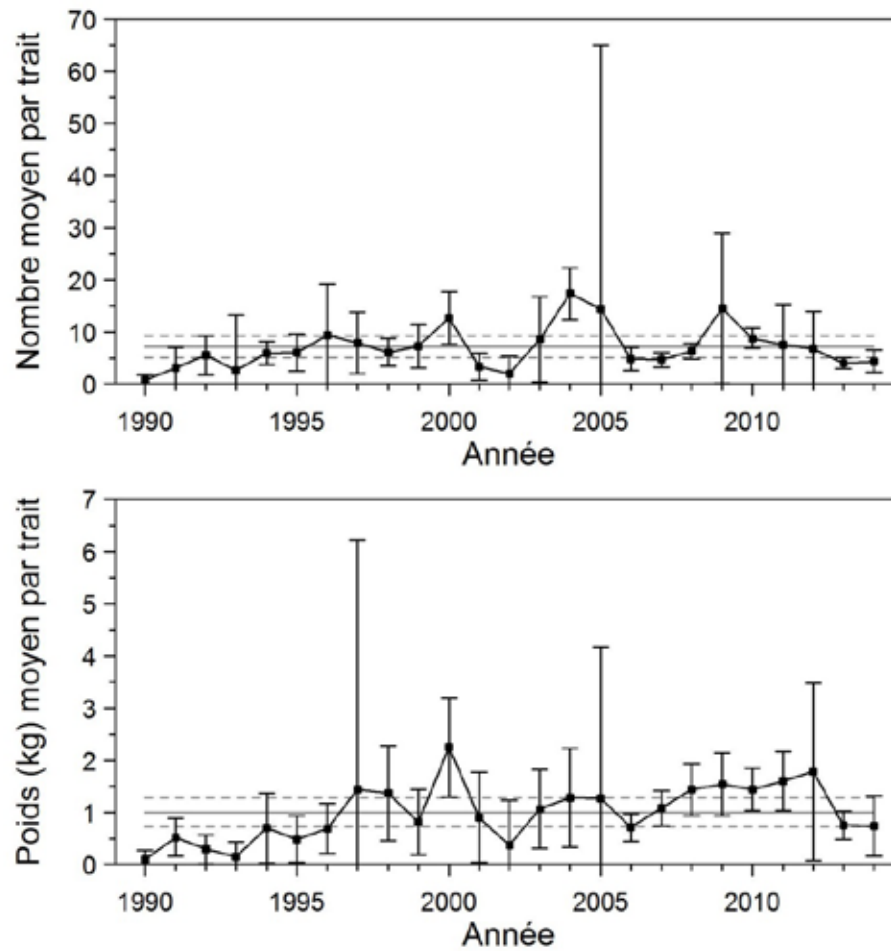


Figure 10. Nombres moyens et poids moyens par trait de 15 minutes observés lors du relevé pour le crabe des neiges dans 4RST. Les barres d'erreur indiquent l'intervalle de confiance à 95 % et les lignes horizontales indiquent la moyenne de la période 1990-2013 (ligne pleine) et les limites de référence (voir texte) supérieure et inférieure (lignes pointillées).

Crabe des neiges

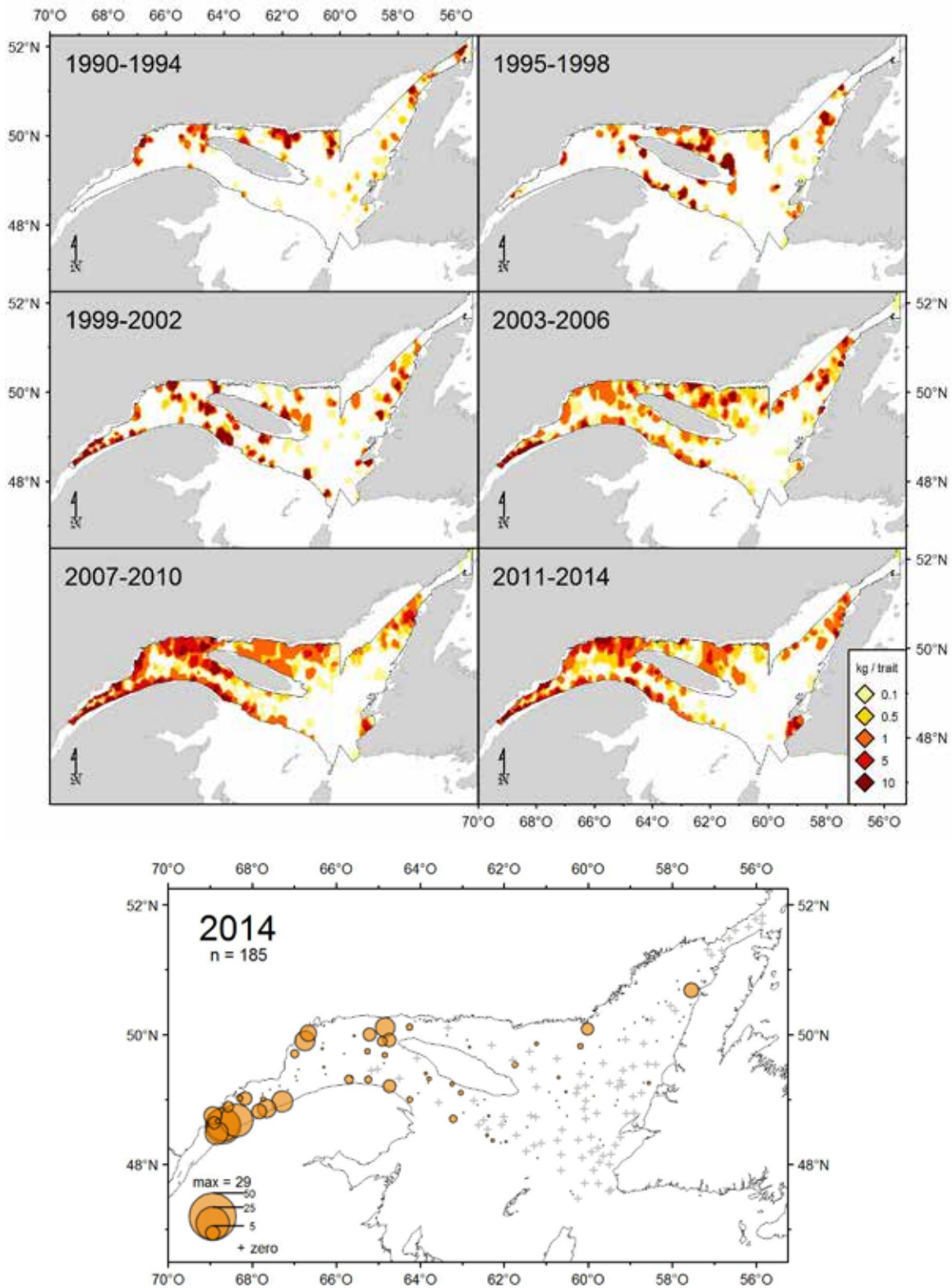


Figure 11. Distribution des taux de capture (kg/trait de 15 minutes) de crabes des neiges.

Crevette nordique

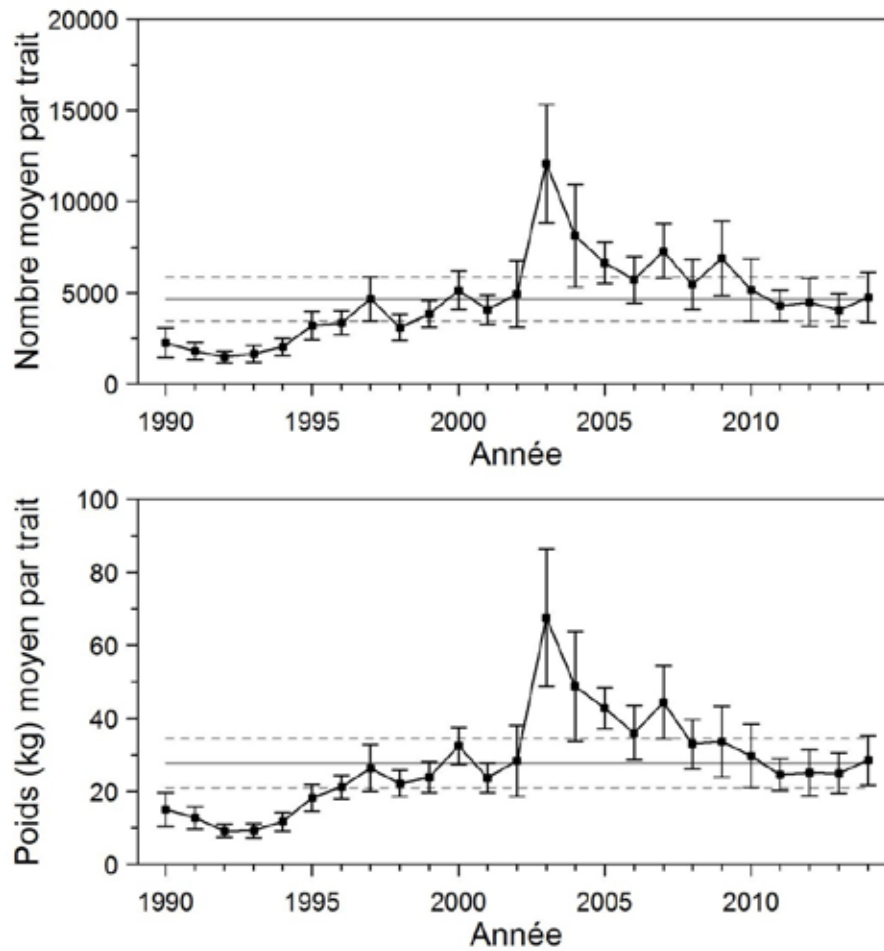


Figure 12. Nombres moyens et poids moyens par trait de 15 minutes observés lors du relevé pour la crevette nordique dans 4RST. Les barres d'erreur indiquent l'intervalle de confiance à 95 % et les lignes horizontales indiquent la moyenne de la période 1990-2013 (ligne pleine) et les limites de référence (voir texte) supérieure et inférieure (lignes pointillées).

Crevette nordique

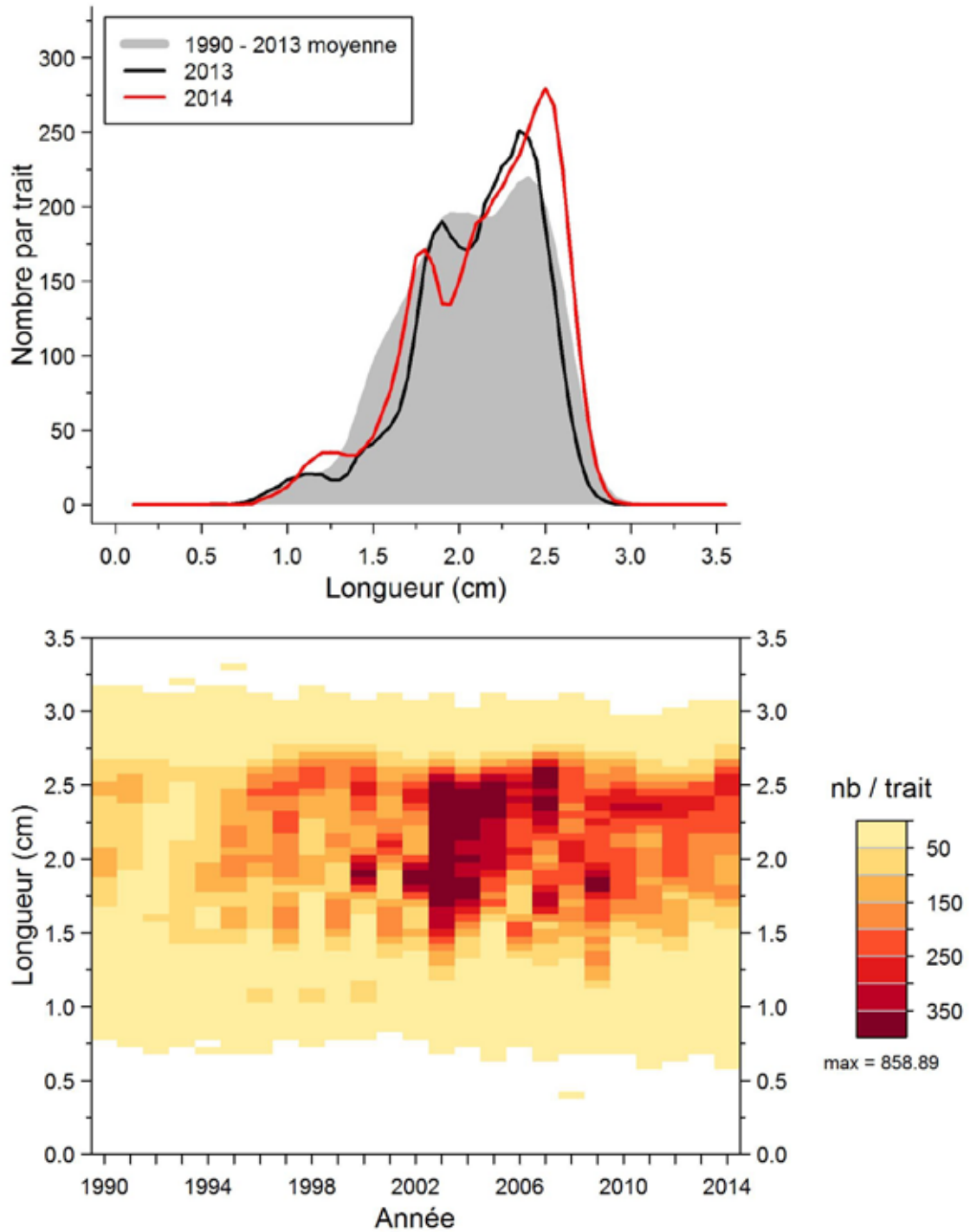


Figure 13. Distributions des fréquences de longueur de la carapace (nombre moyen par trait de 15 minutes) observées lors du relevé pour la crevette nordique dans 4RST.

Crevette nordique

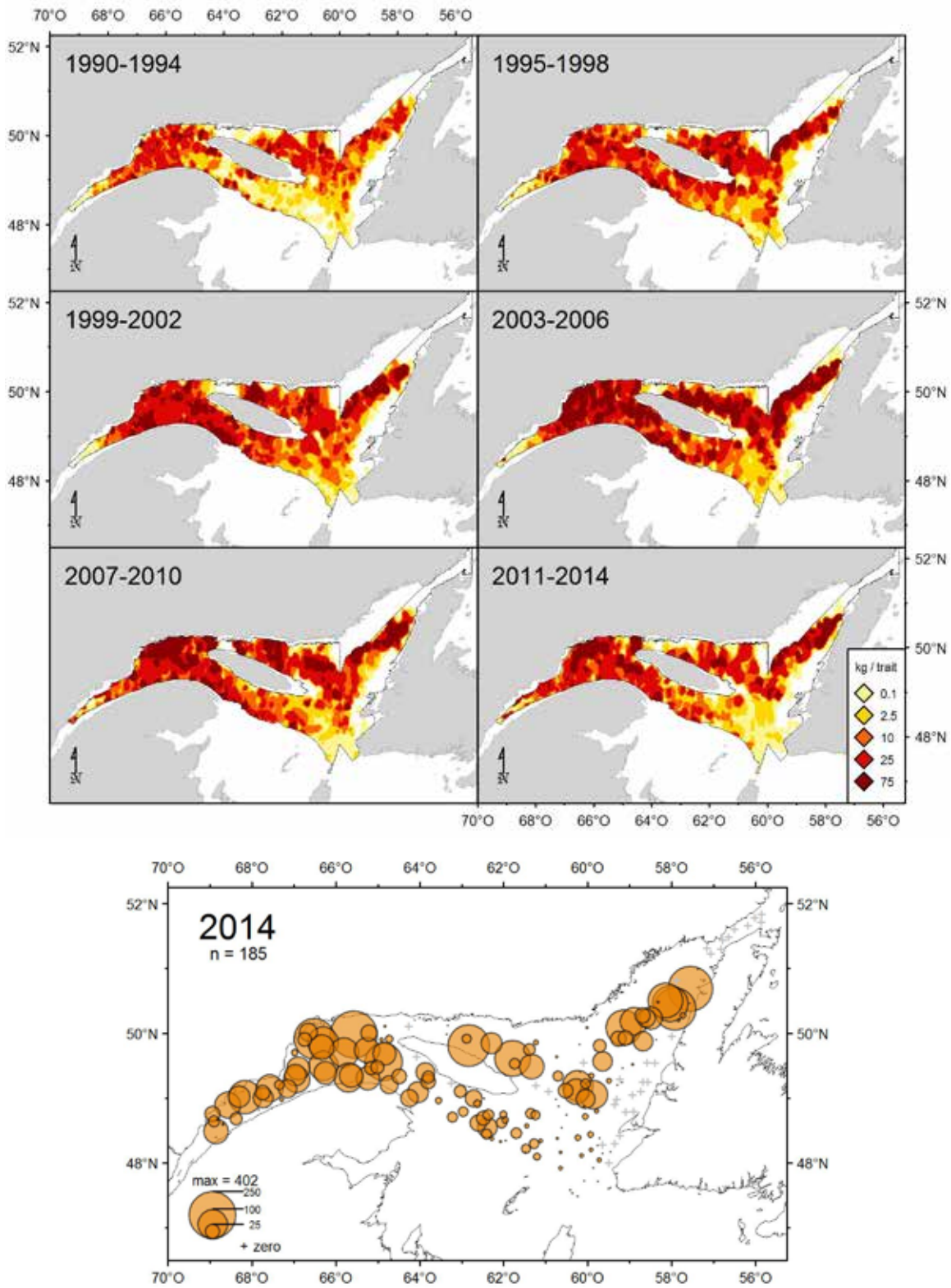


Figure 14. Distribution des taux de capture (kg/trait de 15 minutes) de crevette nordique.

Flétan atlantique

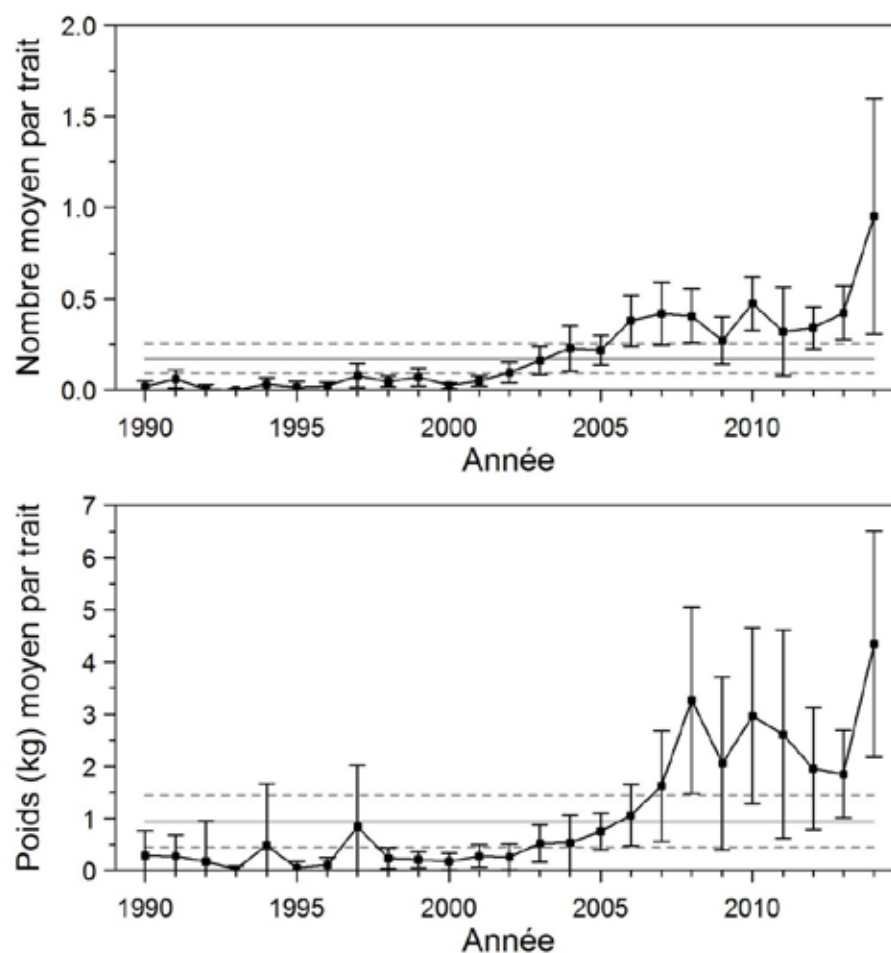


Figure 15. Nombres moyens et poids moyens par trait de 15 minutes observés lors du relevé pour le flétan atlantique dans 4RST. Les barres d'erreur indiquent l'intervalle de confiance à 95 % et les lignes horizontales indiquent la moyenne de la période 1990-2013 (ligne pleine) et les limites de référence (voir texte) supérieure et inférieure (lignes pointillées).

Flétan atlantique

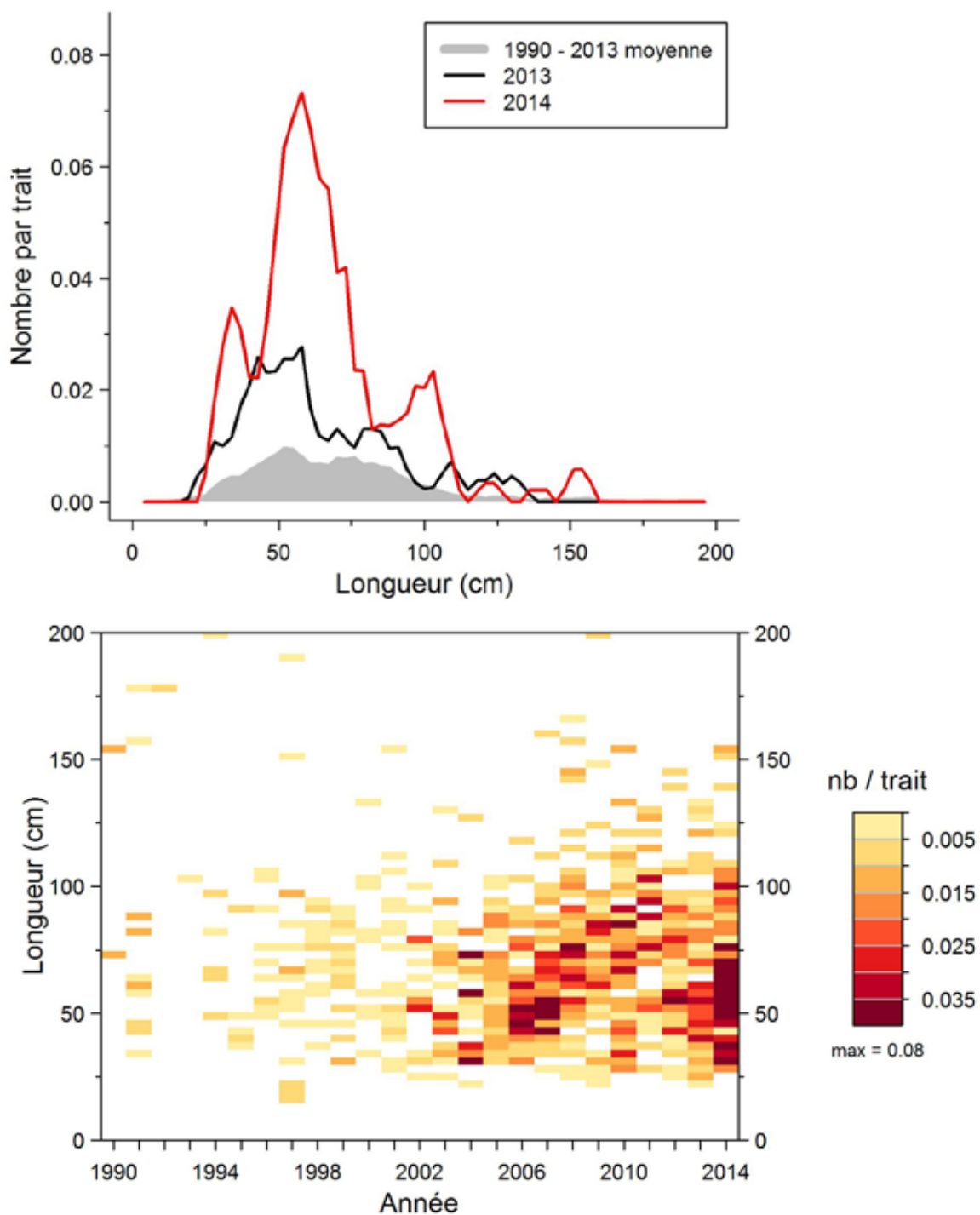


Figure 16. Distributions des fréquences de longueur (nombre moyen par trait de 15 minutes) observées lors du relevé pour le flétan atlantique dans 4RST.

Flétan atlantique

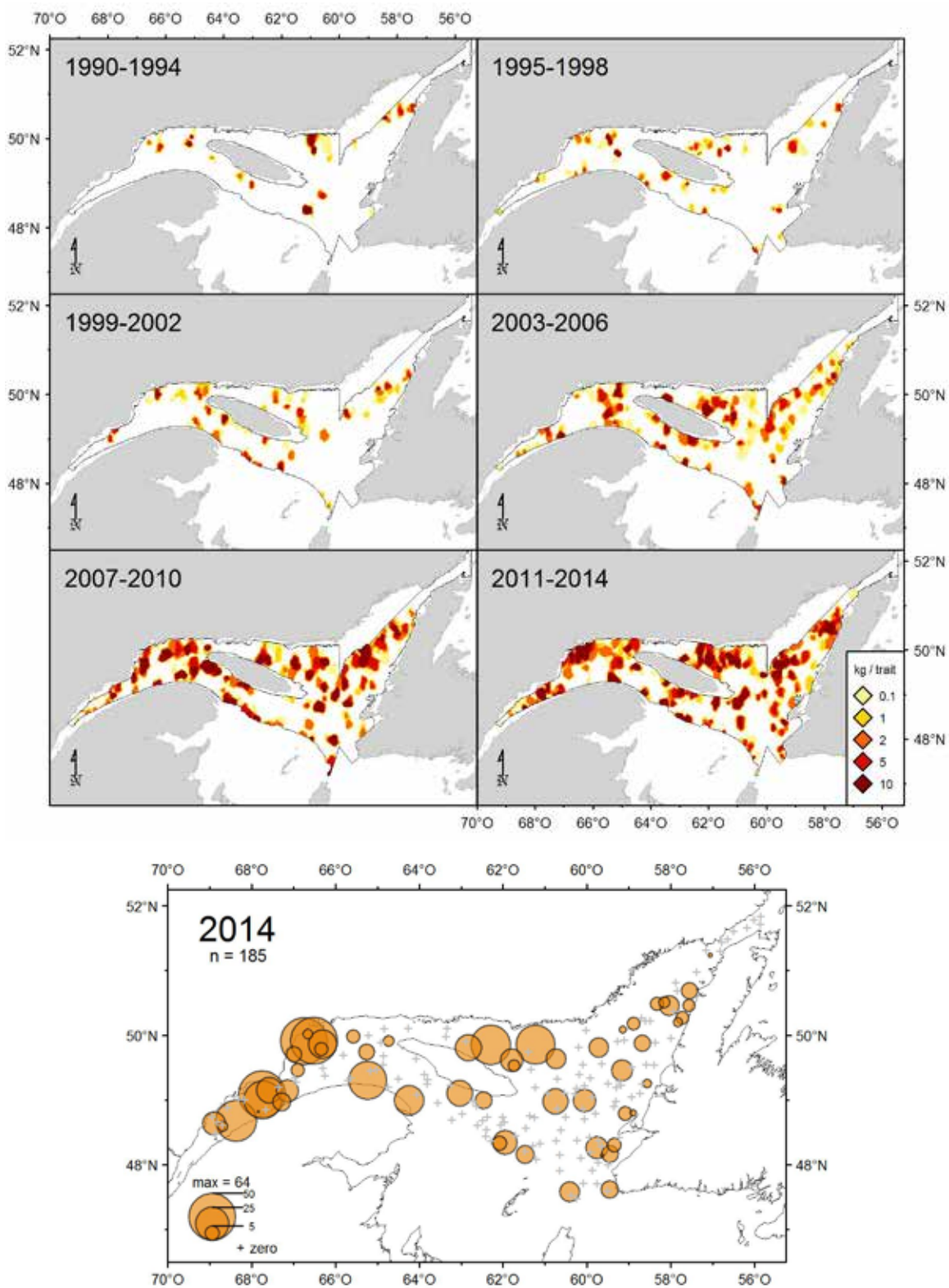


Figure 17. Distribution des taux de capture (kg/trait de 15 minutes) de flétan atlantique.

Flétan du Groenland

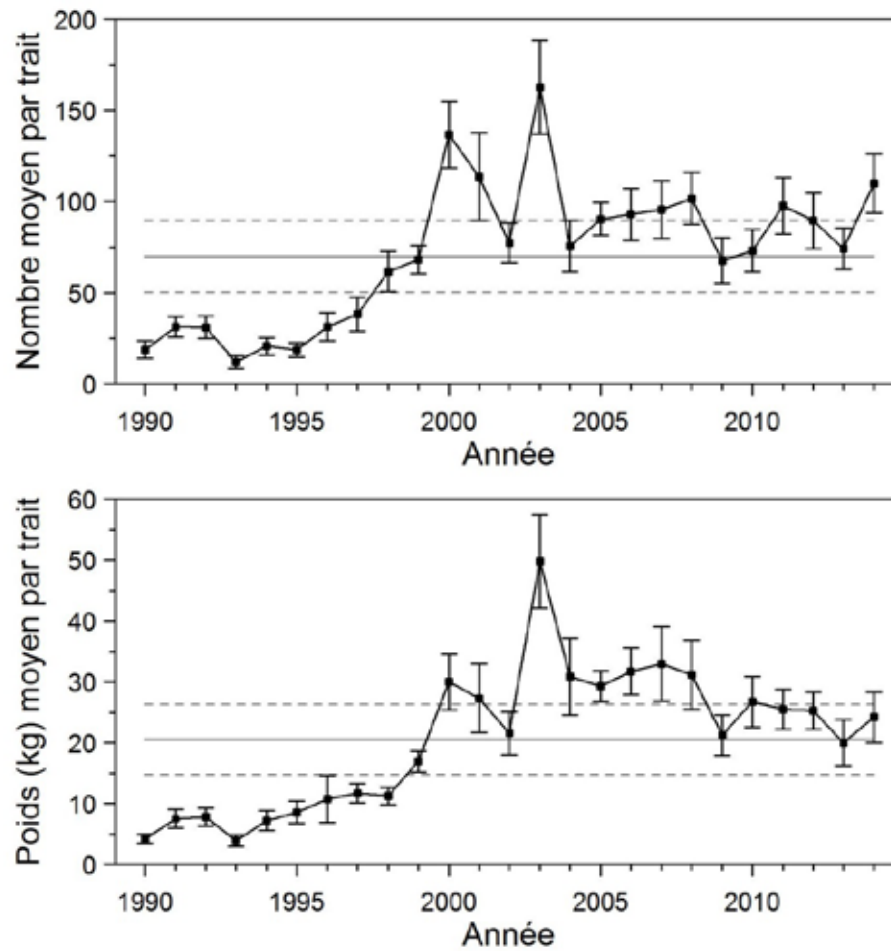


Figure 18. Nombres moyens et poids moyens par trait de 15 minutes observés lors du relevé pour le flétan du Groenland dans 4RST. Les barres d'erreur indiquent l'intervalle de confiance à 95 % et les lignes horizontales indiquent la moyenne de la période 1990-2013 (ligne pleine) et les limites de référence (voir texte) supérieure et inférieure (lignes pointillées).

Flétan du Groenland

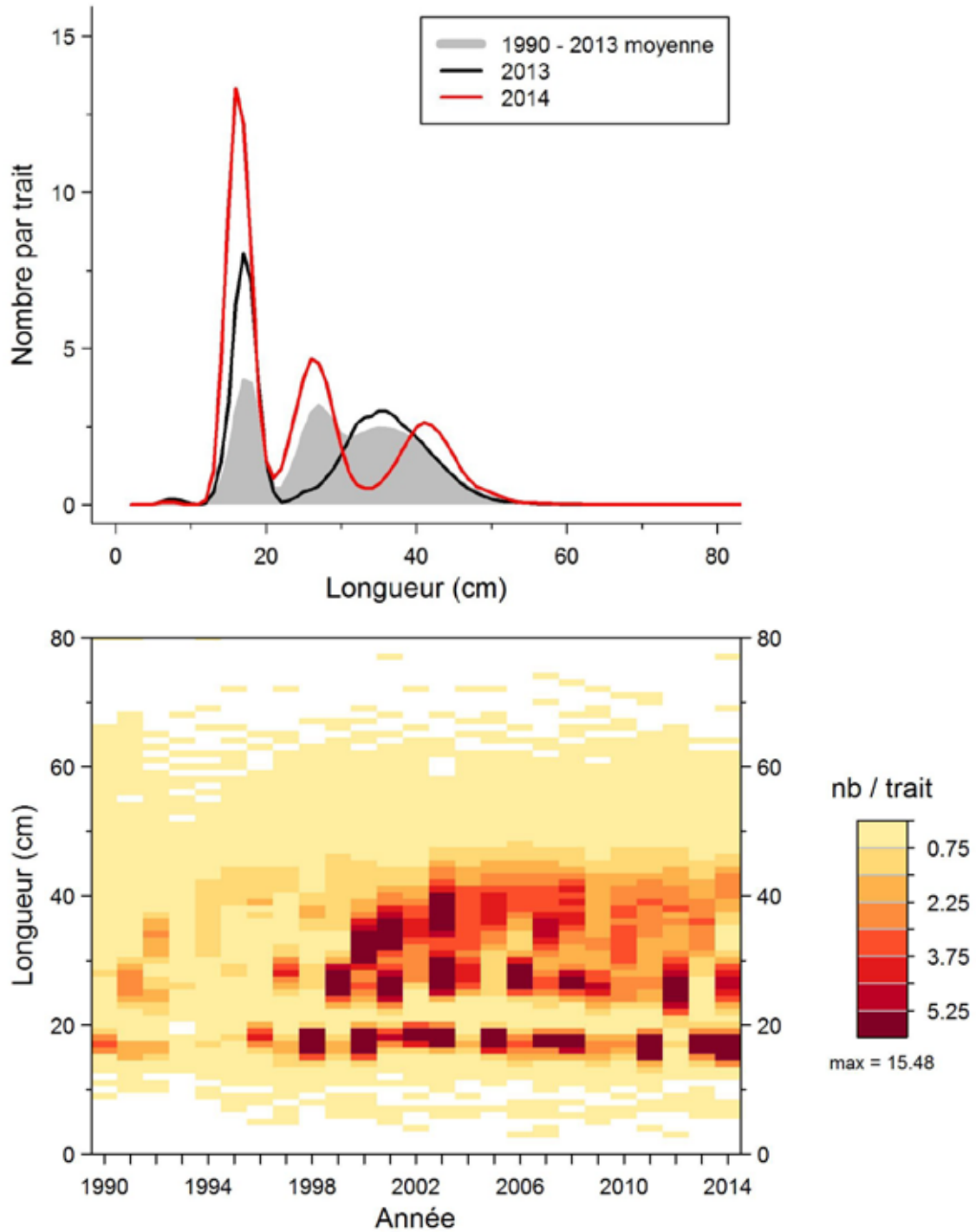


Figure 19. Distributions des fréquences de longueur (nombre moyen par trait de 15 minutes) observées lors du relevé pour le flétan du Groenland dans 4RST.

Flétan du Groenland

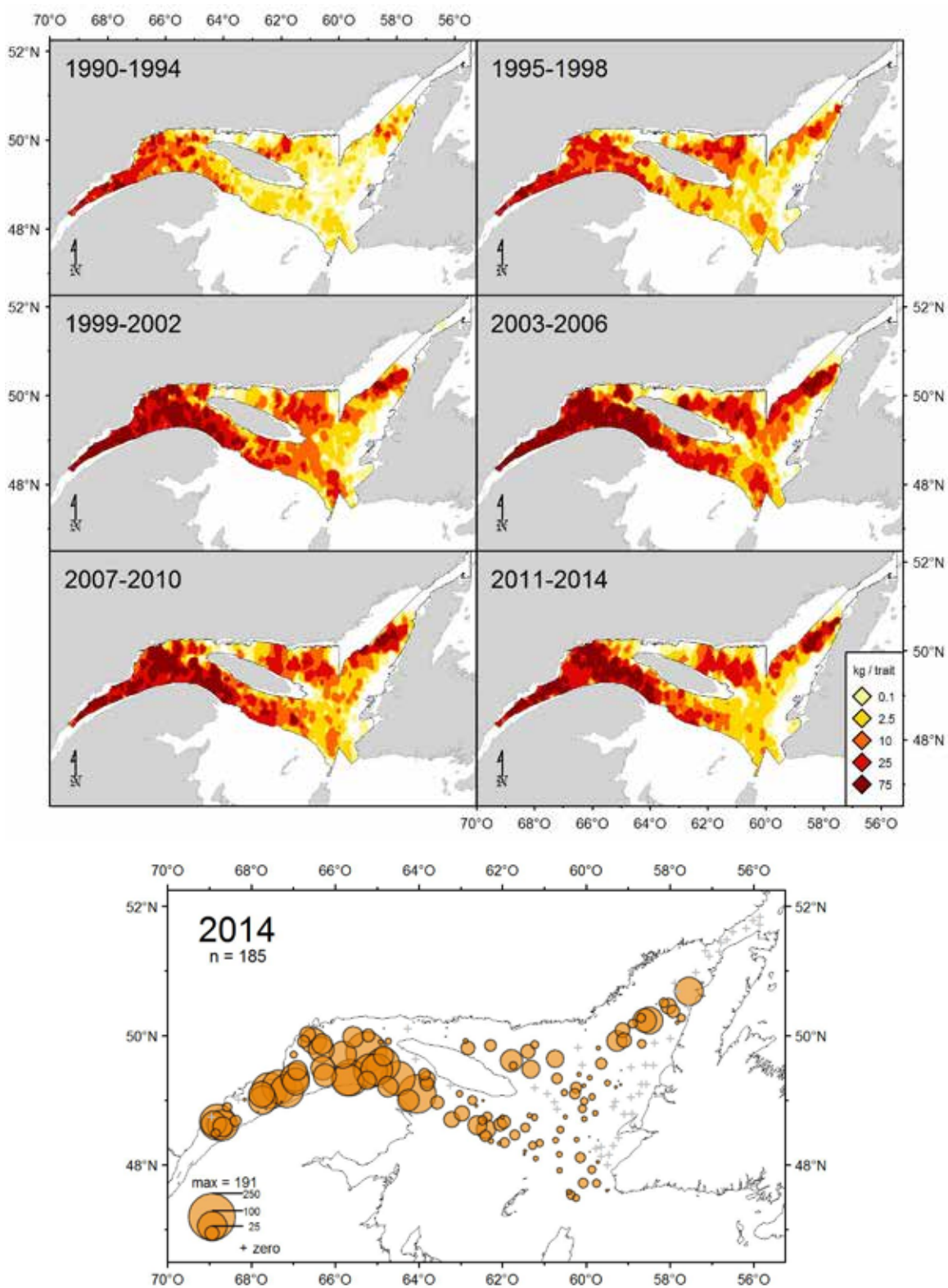


Figure 20. Distribution des taux de capture (kg/trait de 15 minutes) de flétan du Groenland.

Grosse poule de mer

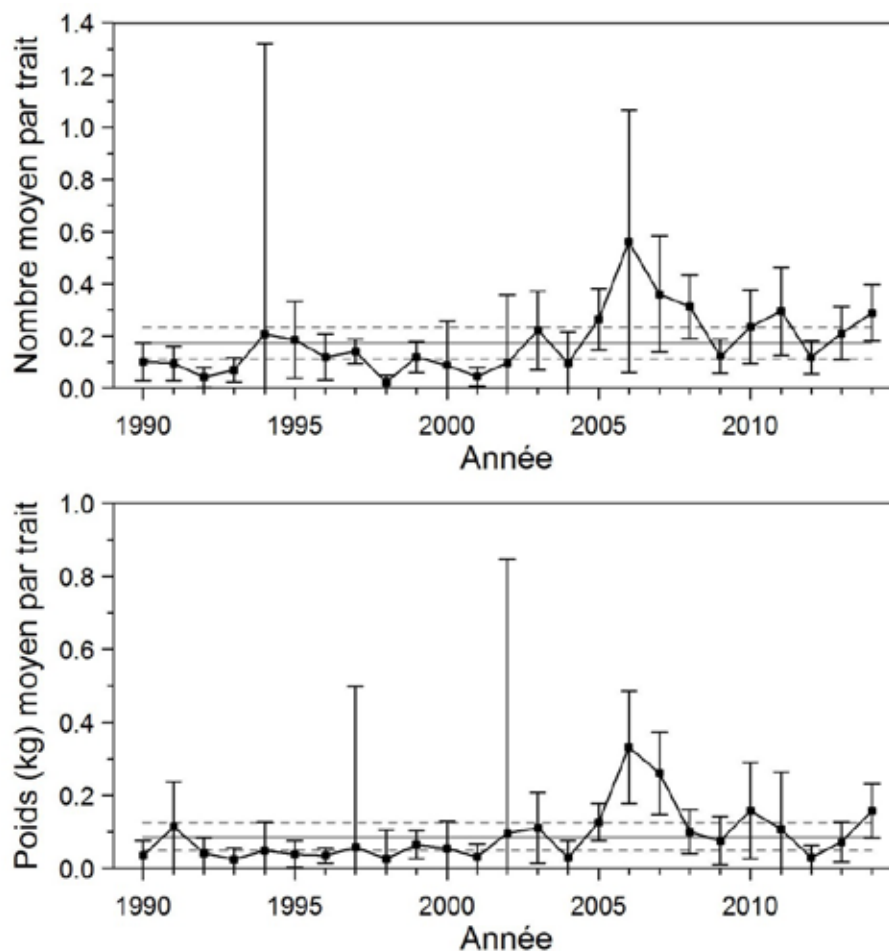


Figure 21. Nombres moyens et poids moyens par trait de 15 minutes observés lors du relevé pour la grosse poule de mer dans 4RST. Les barres d'erreur indiquent l'intervalle de confiance à 95 % et les lignes horizontales indiquent la moyenne de la période 1990-2013 (ligne pleine) et les limites de référence (voir texte) supérieure et inférieure (lignes pointillées).

Grosse poule de mer

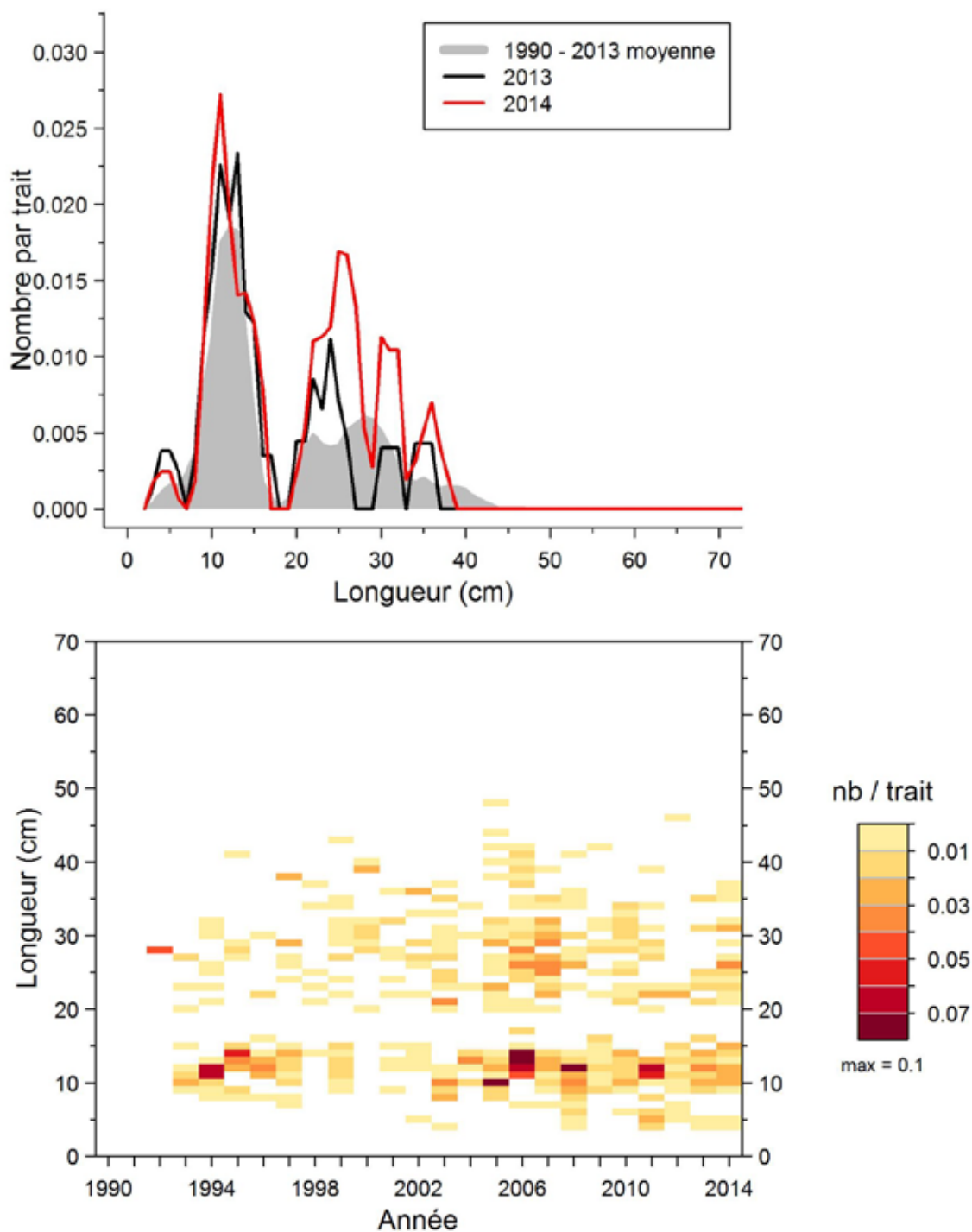


Figure 22. Distributions des fréquences de longueur (nombre moyen par trait de 15 minutes) observées lors du relevé pour la grosse poule de mer dans 4RST.

Grosse poule de mer

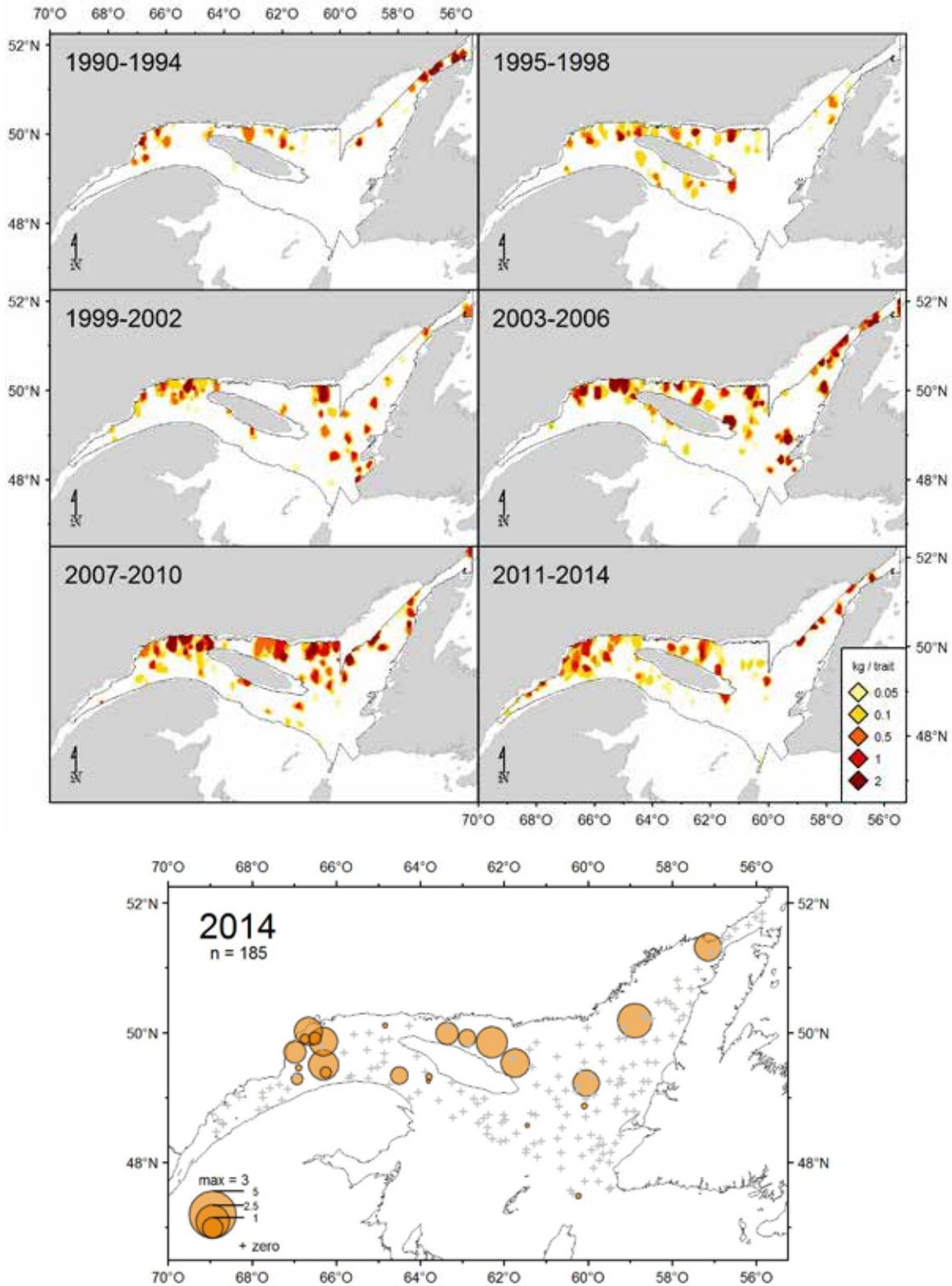


Figure 23. Distribution des taux de capture (kg/trait de 15 minutes) de grosse poule de mer.

Hareng

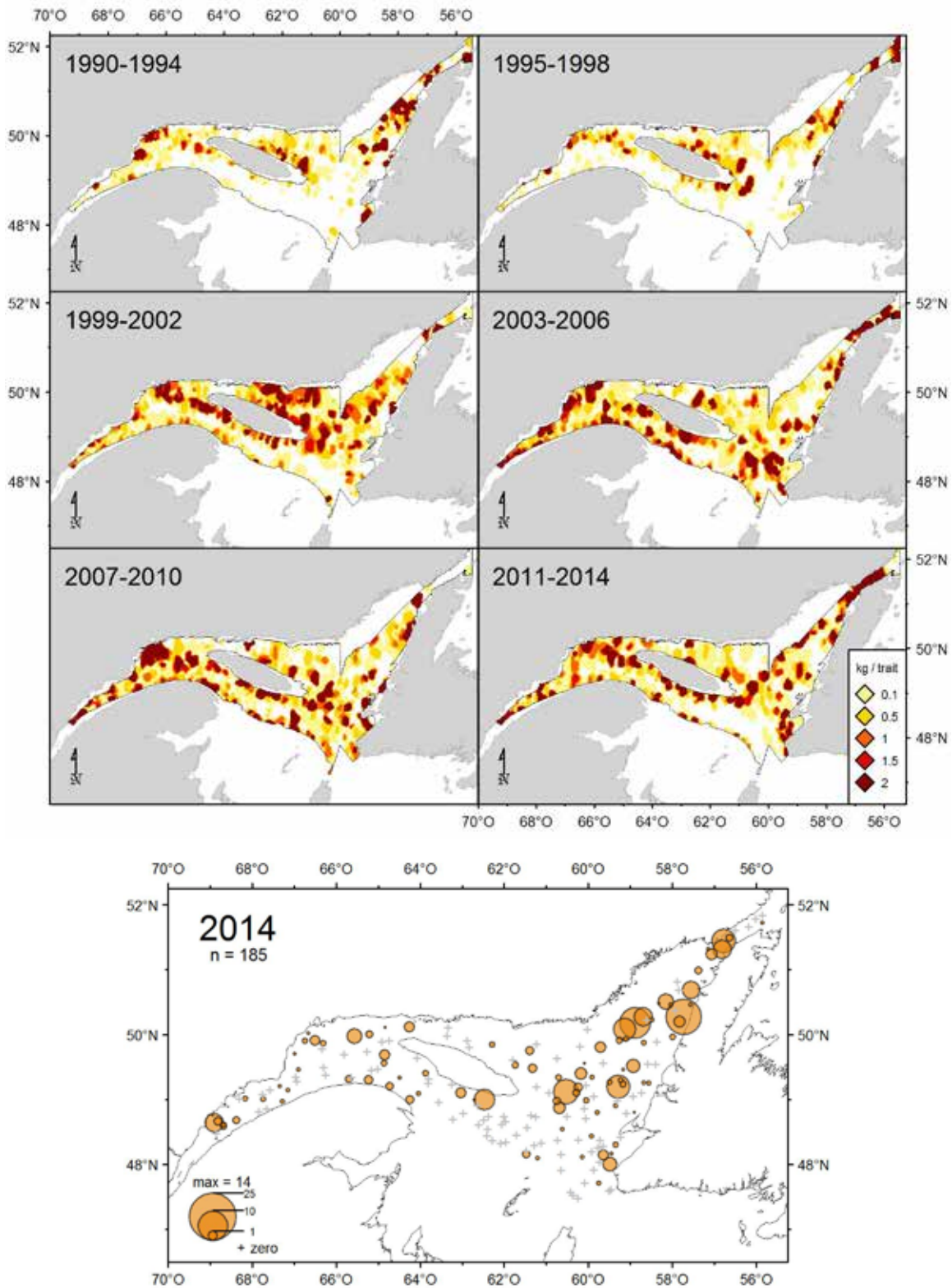


Figure 24. Distribution des taux de capture (kg/trait de 15 minutes) de hareng.

Hareng

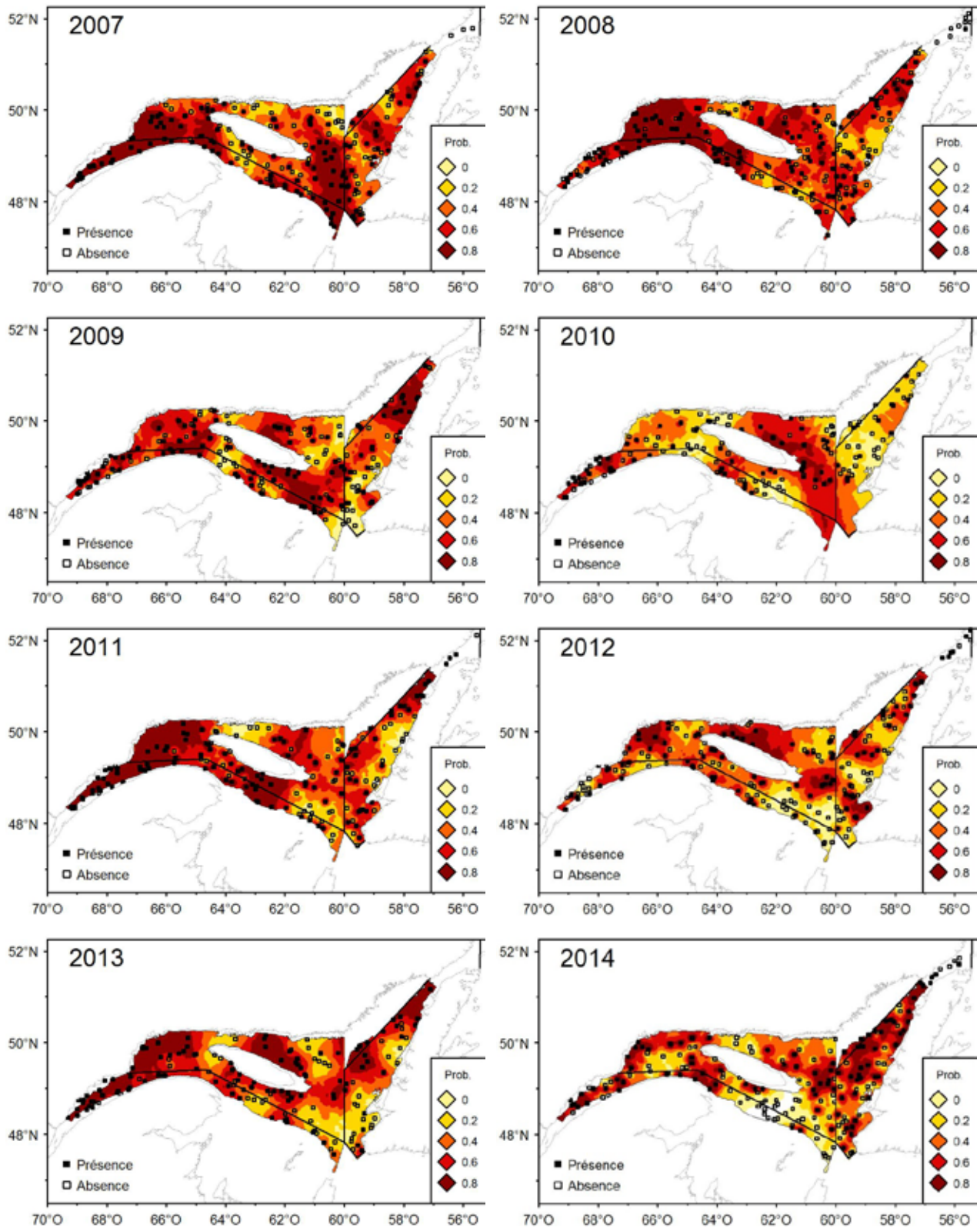
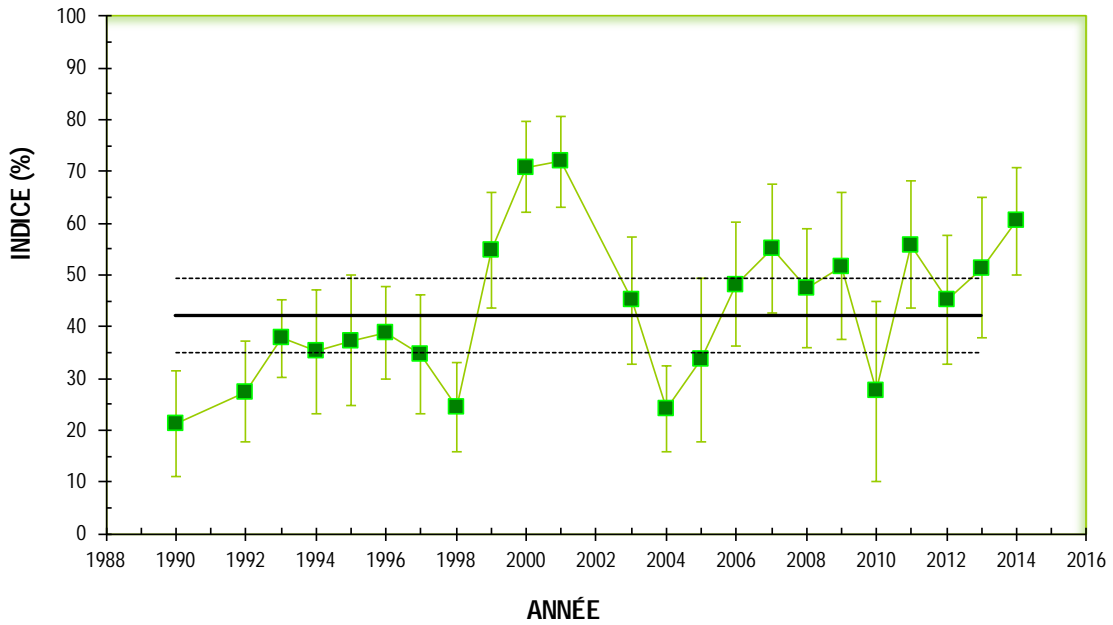


Figure 25. Surfaces de probabilités (%) associées à la présence de hareng.

Hareng

DIVISION 4R



DIVISION 4S

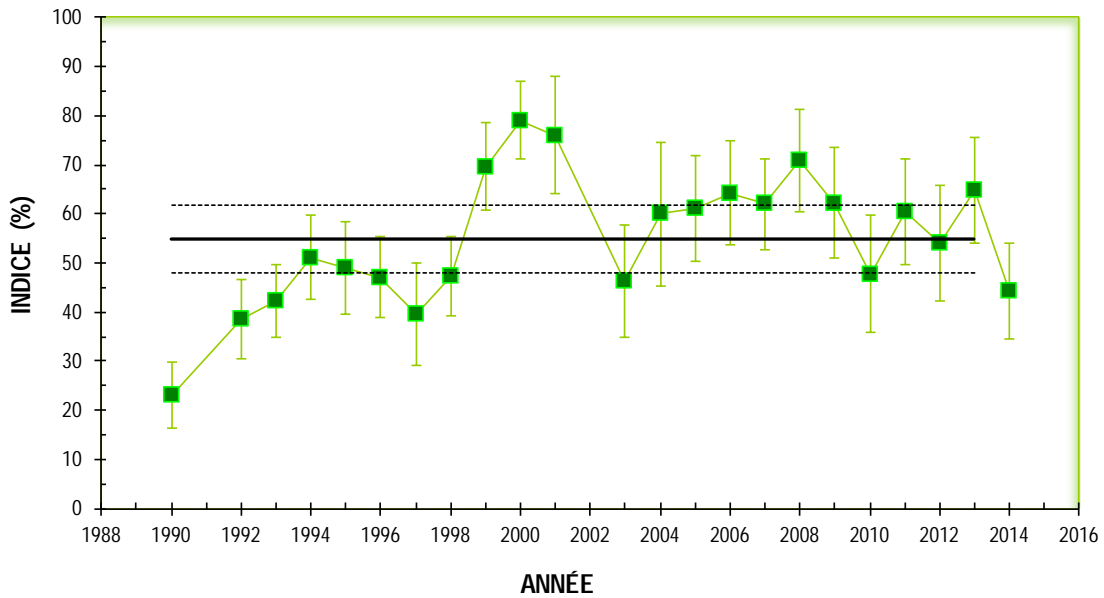


Figure 26. Probabilités moyennes de retrouver du hareng dans les divisions 4R et 4S de l'OPANO. Les barres d'erreur indiquent l'intervalle de confiance à 95 % et les lignes horizontales indiquent la moyenne de la période 1990-2013 (ligne pleine) et les limites de référence (voir texte) supérieure et inférieure (lignes pointillées).

Loup atlantique

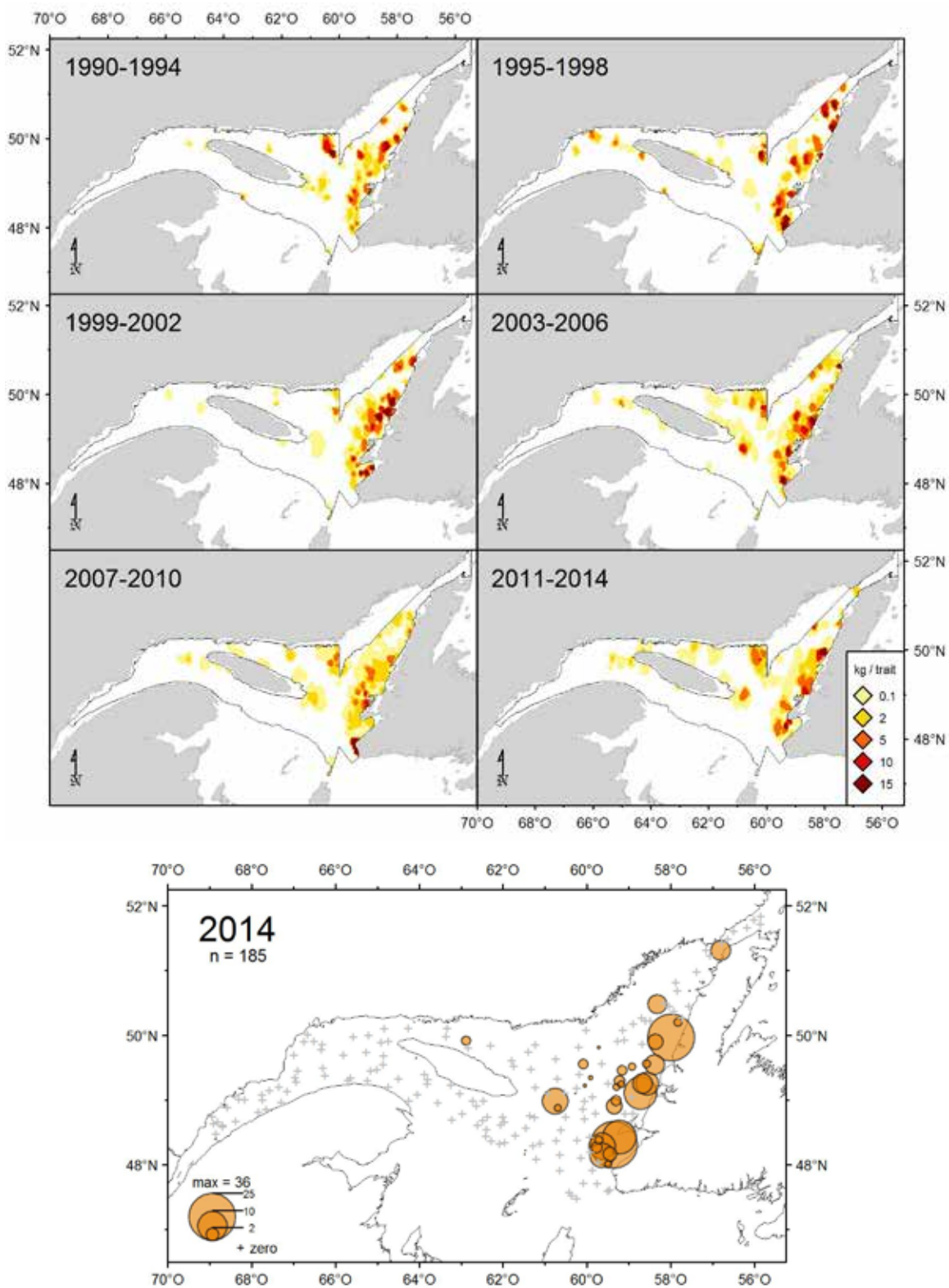


Figure 27. Distribution des taux de capture (kg/trait de 15 minutes) du loup atlantique.

Loup tacheté

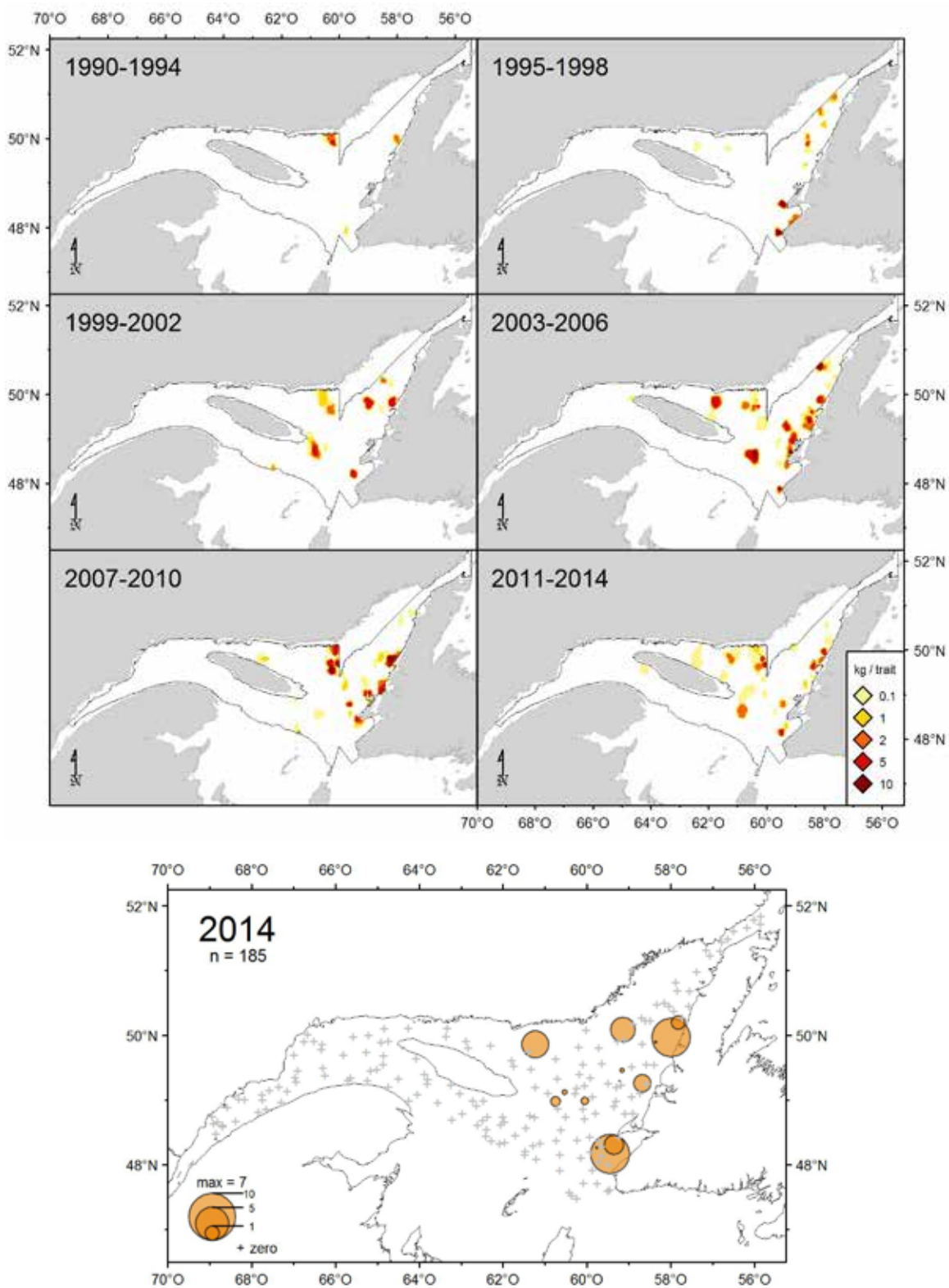


Figure 28. Distribution des taux de capture (kg/trait de 15 minutes) du loup tacheté.

Merlu argenté

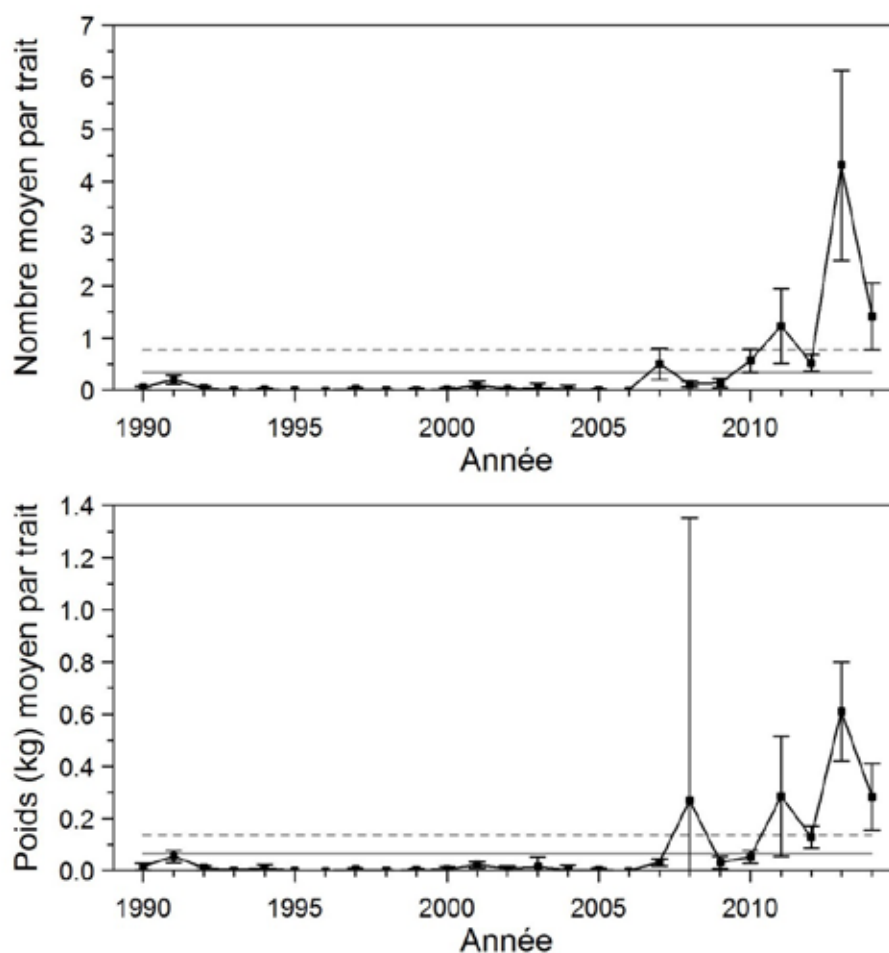


Figure 29. Nombres moyens et poids moyens par trait de 15 minutes observés lors du relevé pour le merlu argenté dans 4RST. Les barres d'erreur indiquent l'intervalle de confiance à 95 % et les lignes horizontales indiquent la moyenne de la période 1990-2013 (ligne pleine) et les limites de référence (voir texte) supérieure et inférieure (lignes pointillées).

Merlu argenté

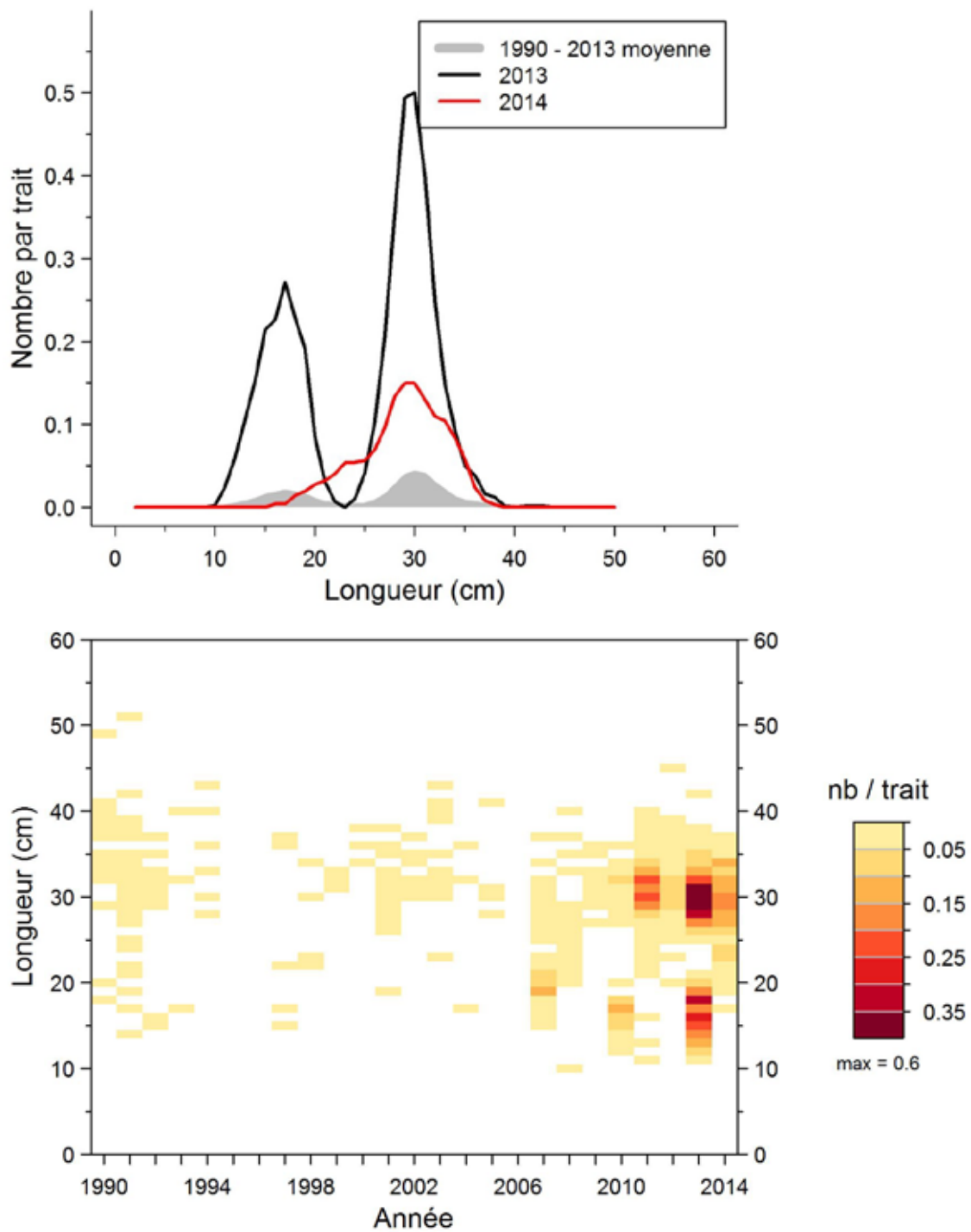


Figure 30. Distributions des fréquences de longueur (nombre moyen par trait de 15 minutes) observées lors du relevé pour le merlu argenté dans 4RST.

Merlu argenté

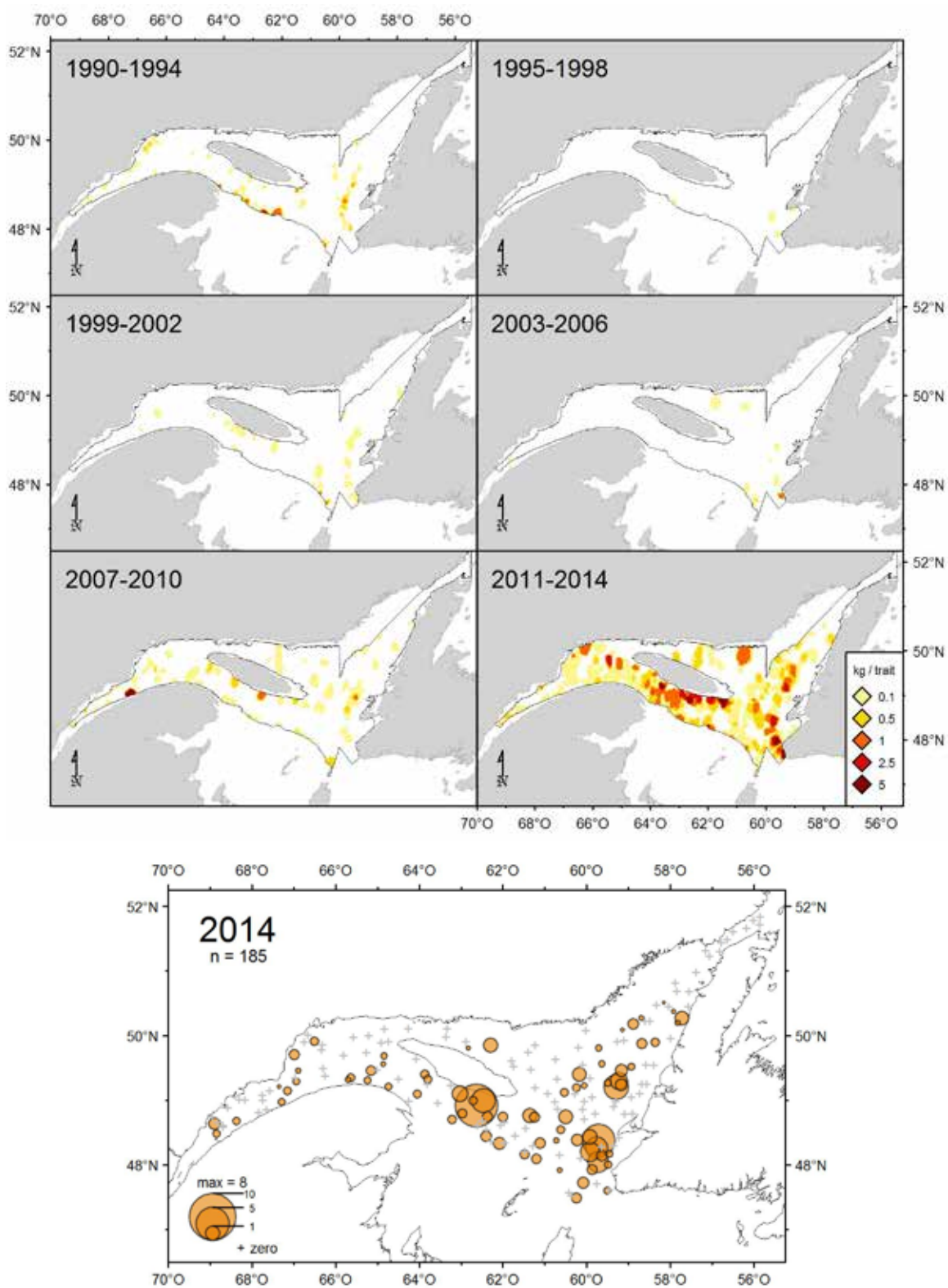


Figure 31. Distribution des taux de capture (kg/trait de 15 minutes) du merlu argenté.

Merluche à longues nageoires

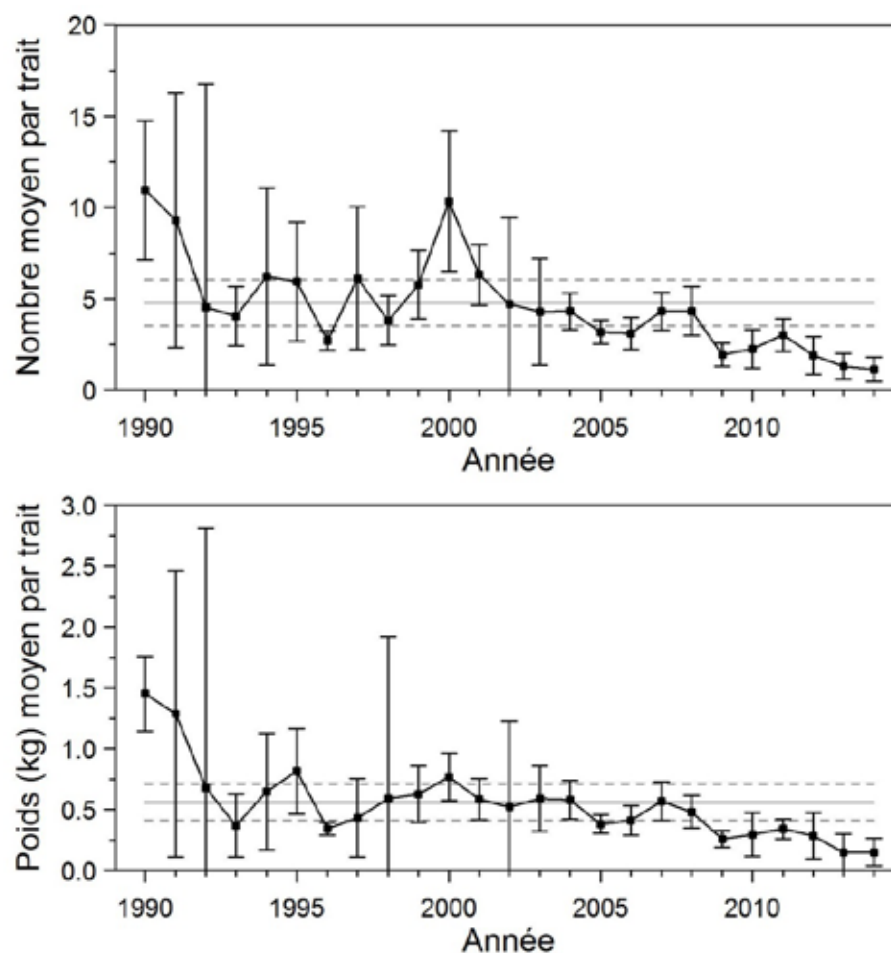


Figure 32. Nombres moyens et poids moyens par trait de 15 minutes observés lors du relevé pour la merluche à longues nageoires dans 4RST. Les barres d'erreur indiquent l'intervalle de confiance à 95 % et les lignes horizontales indiquent la moyenne de la période 1990-2013 (ligne pleine) et les limites de référence (voir texte) supérieure et inférieure (lignes pointillées).

Merluche à longues nageoires

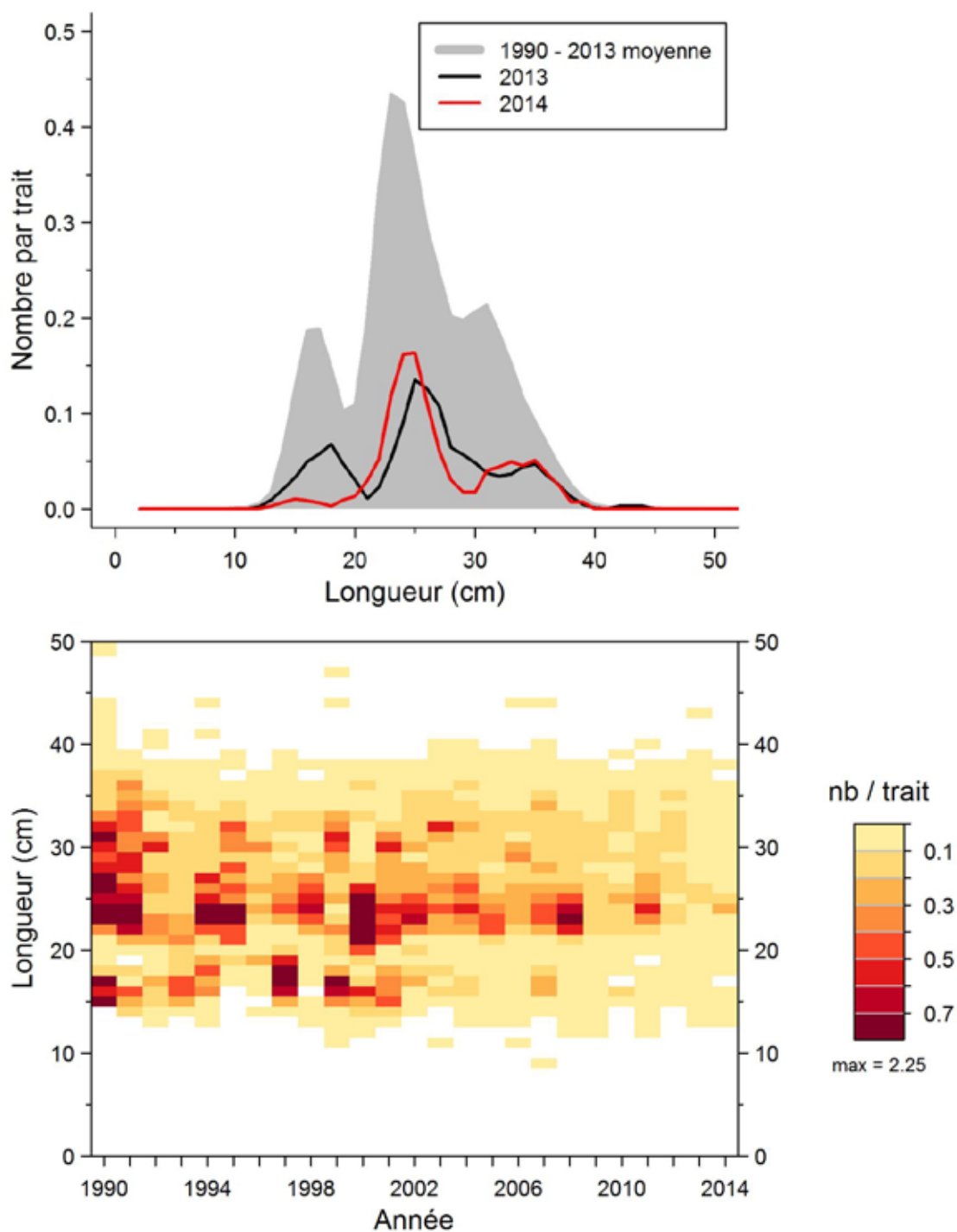


Figure 33. Distributions des fréquences de longueur (nombre moyen par trait de 15 minutes) observées lors du relevé pour la merluche à longues nageoires dans 4RST.

Merluche à longues nageoires

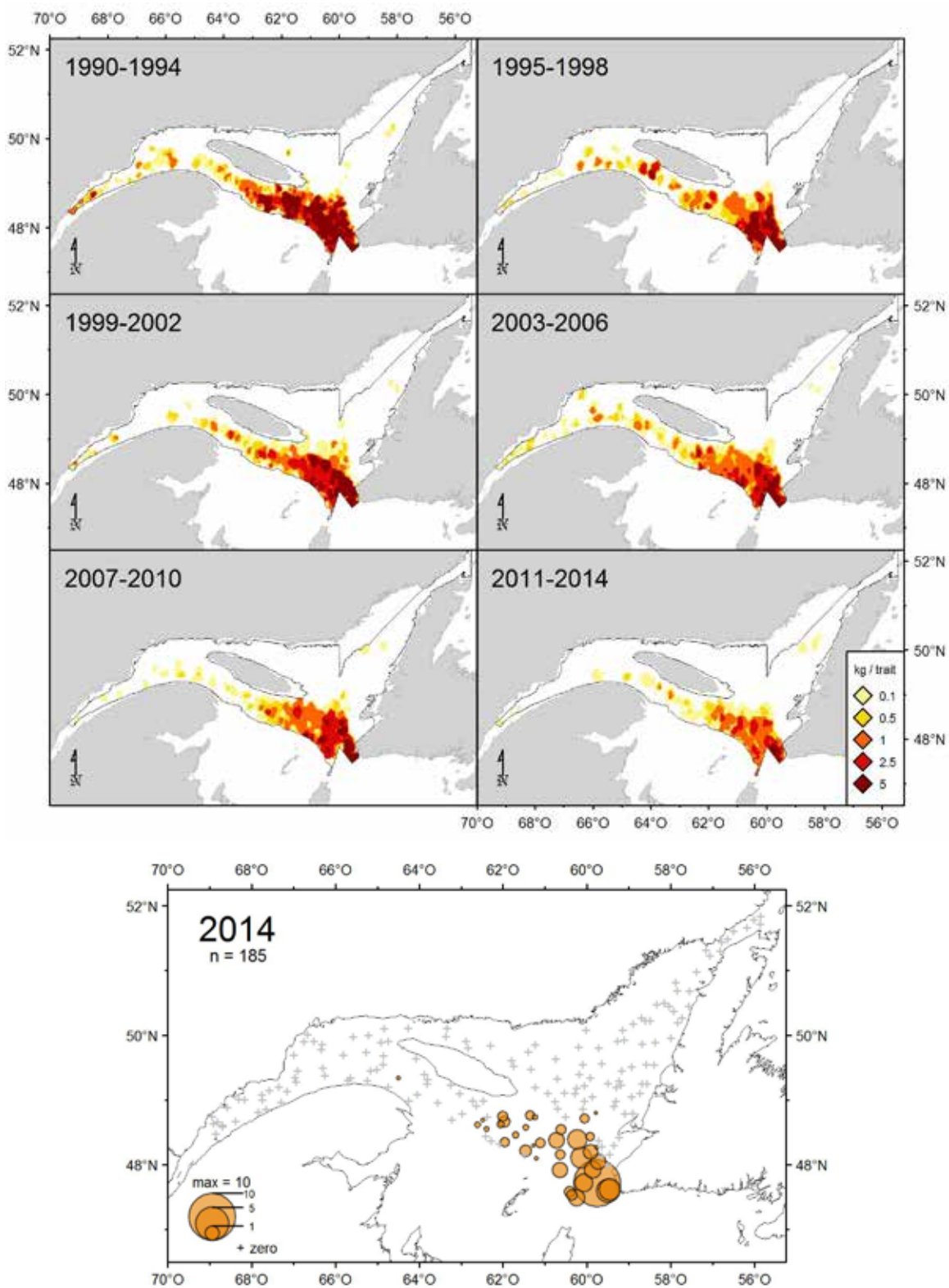


Figure 34. Distribution des taux de capture (kg/trait de 15 minutes) de merluche à longues nageoires.

Merluche blanche

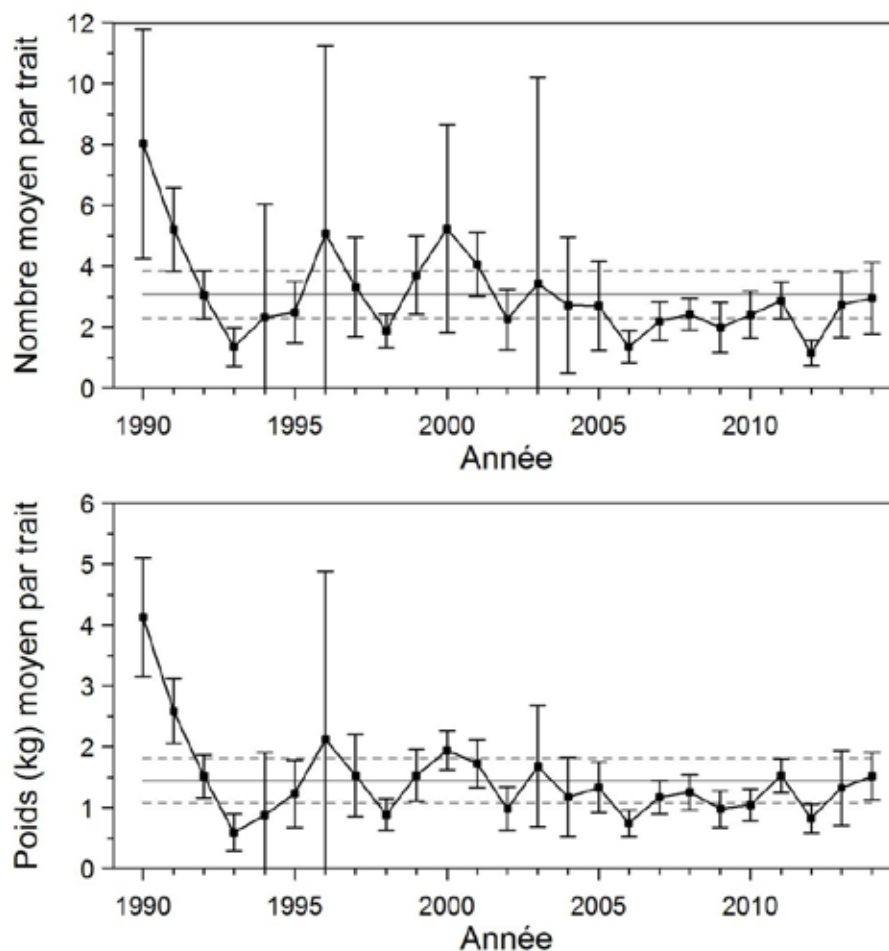


Figure 35. Nombres moyens et poids moyens par trait de 15 minutes observés lors du relevé pour la merluche blanche dans 4RST. Les barres d'erreur indiquent l'intervalle de confiance à 95 % et les lignes horizontales indiquent la moyenne de la période 1990-2013 (ligne pleine) et les limites de référence (voir texte) supérieure et inférieure (lignes pointillées).

Merluche blanche

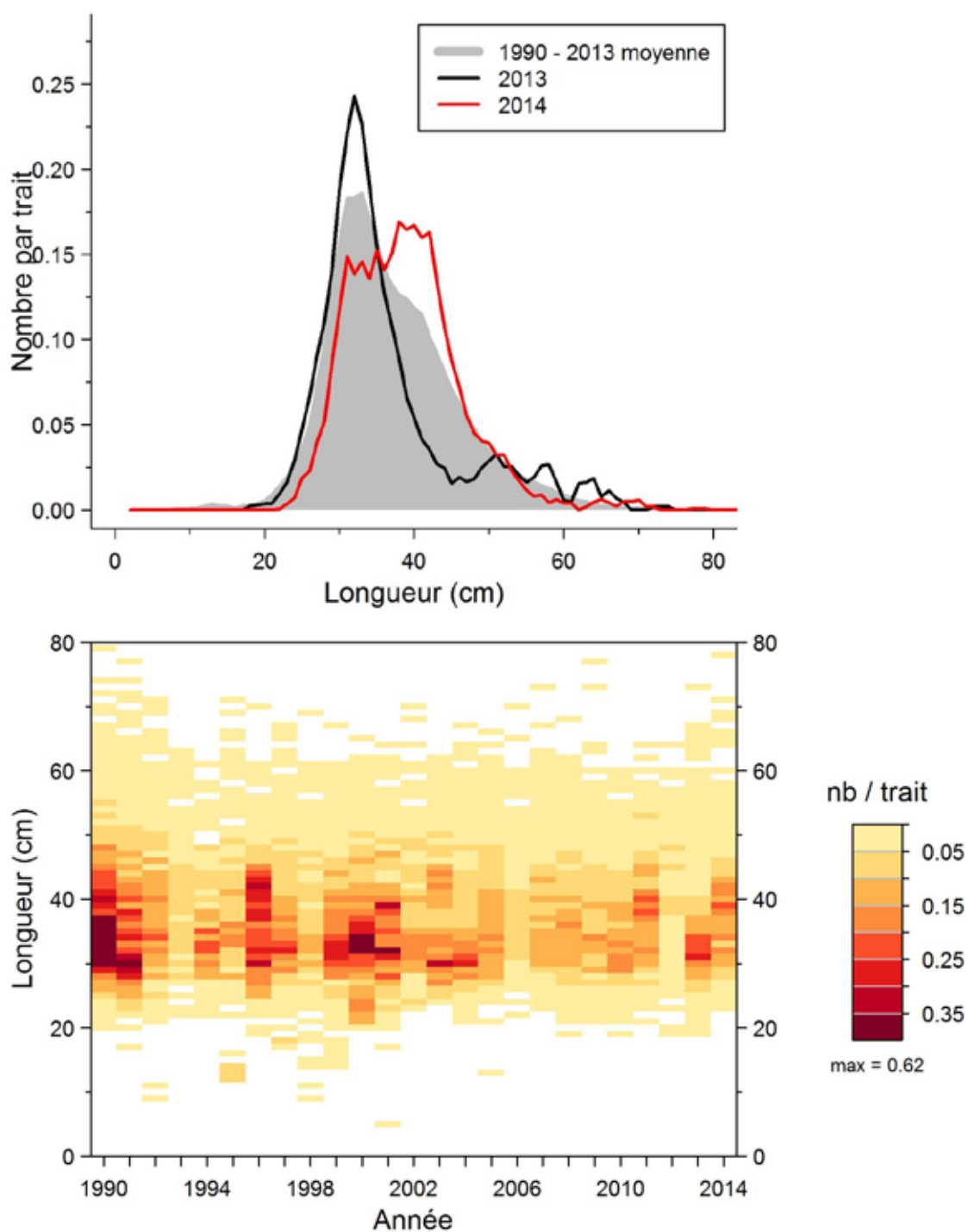


Figure 36. Distributions des fréquences de longueur (nombre moyen par trait de 15 minutes) observées lors du relevé pour la merluche blanche dans 4RST.

Merluche blanche

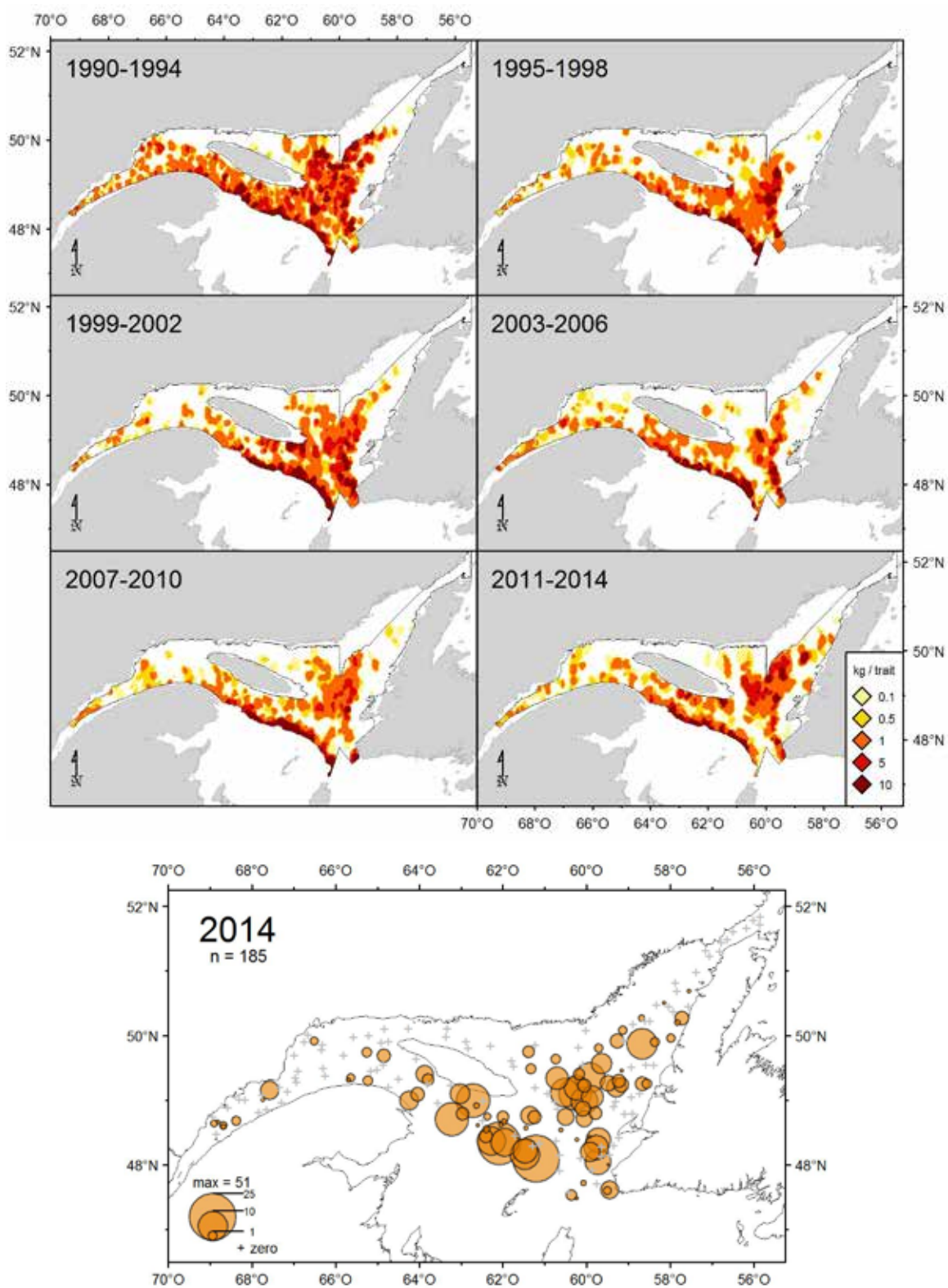


Figure 37. Distribution des taux de capture (kg/trait de 15 minutes) de merluche blanche.

Morue

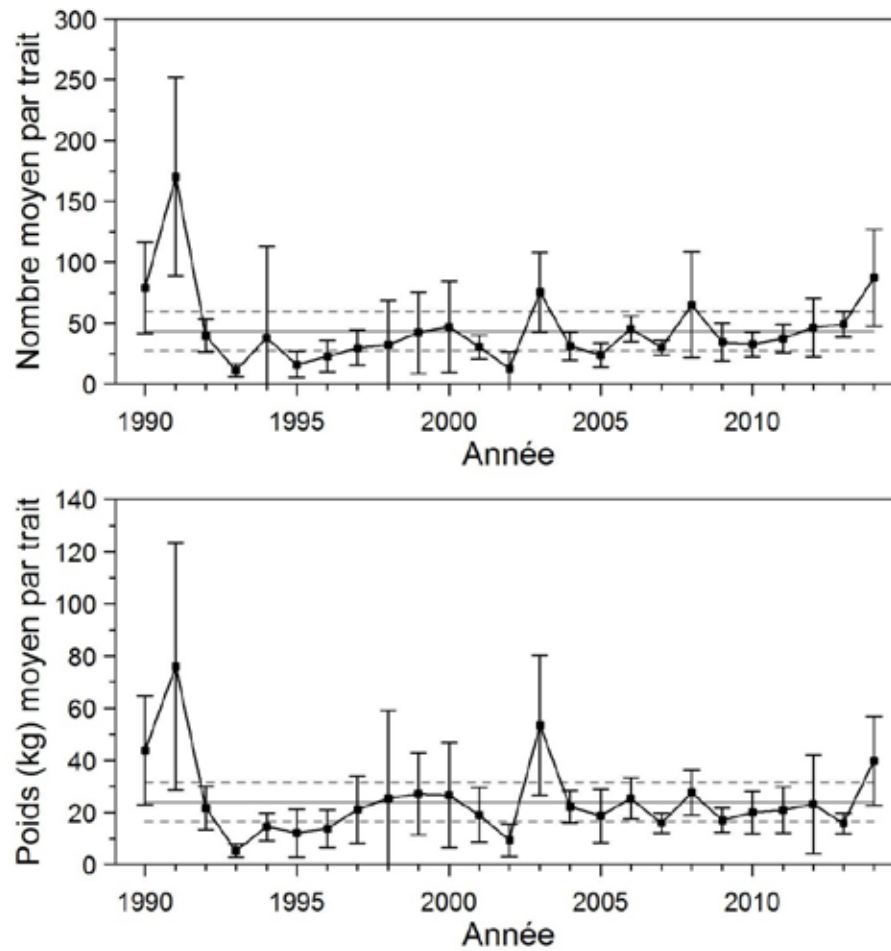


Figure 38. Nombres moyens et poids moyens par trait de 15 minutes observés lors du relevé pour la morue dans 4RS. Les barres d'erreur indiquent l'intervalle de confiance à 95 % et les lignes horizontales indiquent la moyenne de la période 1990-2011 (ligne pleine) et les limites de référence (voir texte) supérieure et inférieure (lignes pointillées).

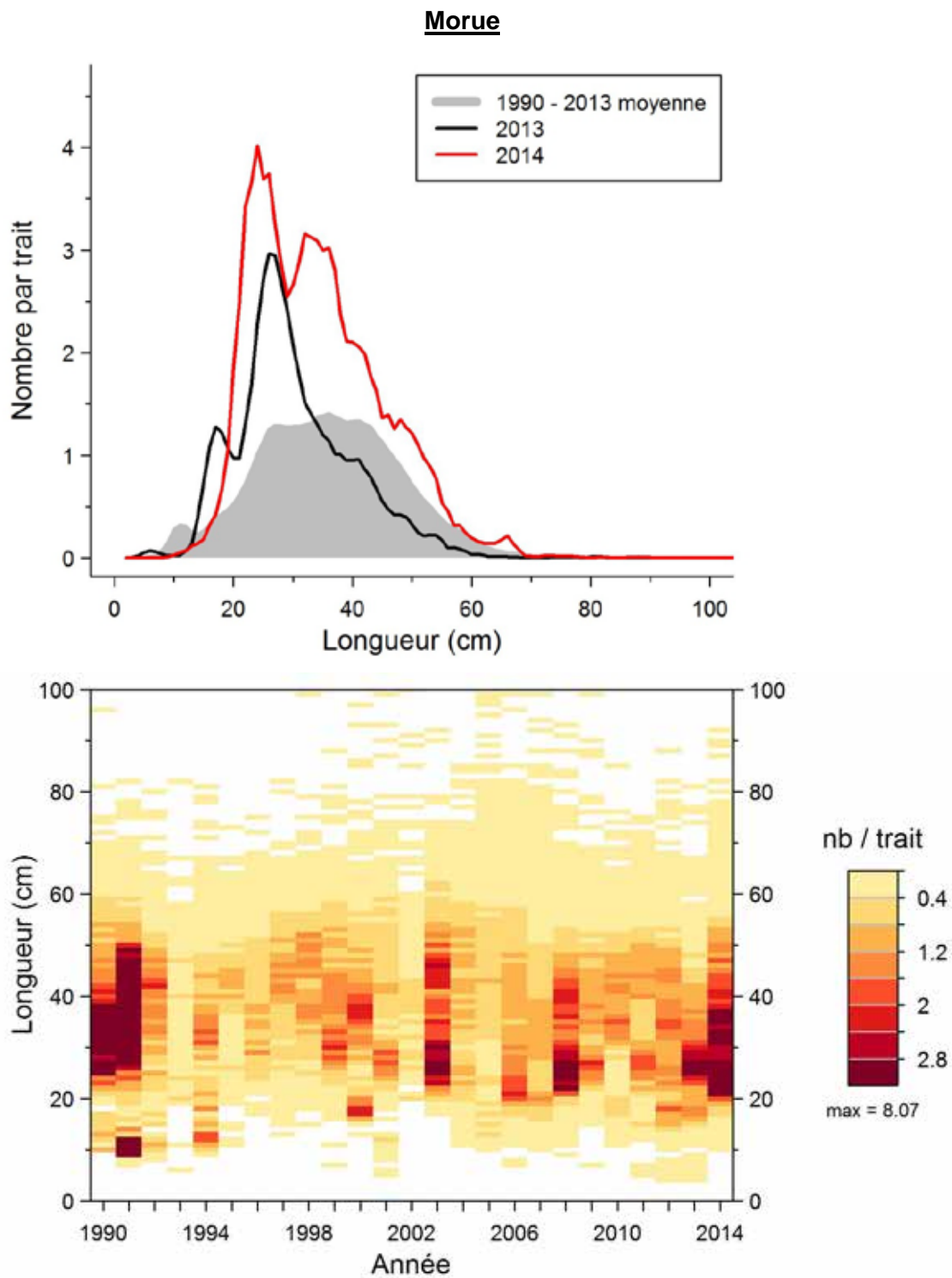


Figure 39. Distributions des fréquences de longueur (nombre moyen par trait de 15 minutes) observées lors du relevé pour la morue dans 4RS.

Morue

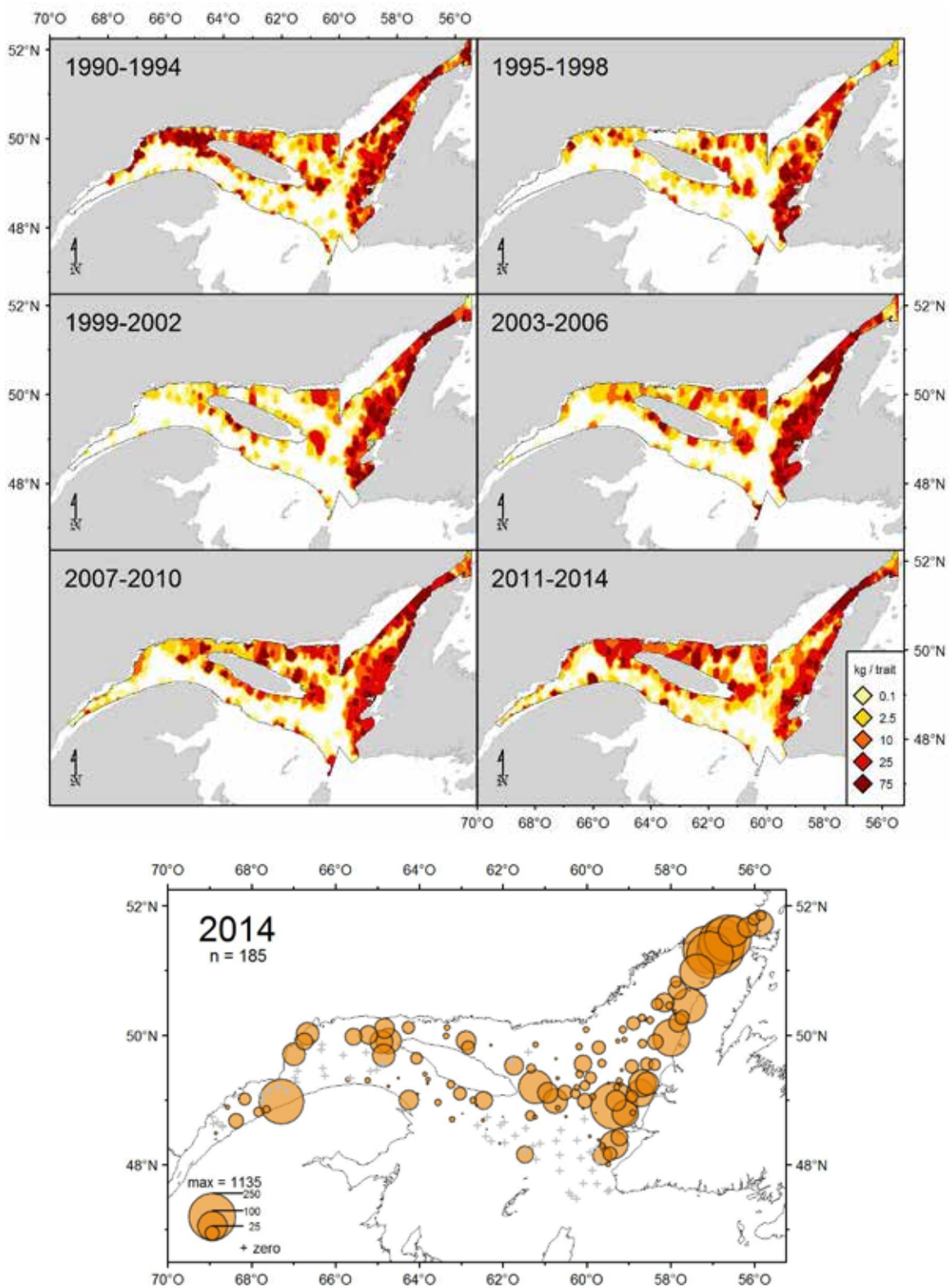


Figure 40. Distribution des taux de capture (kg/trait de 15 minutes) de morue.

Myxine

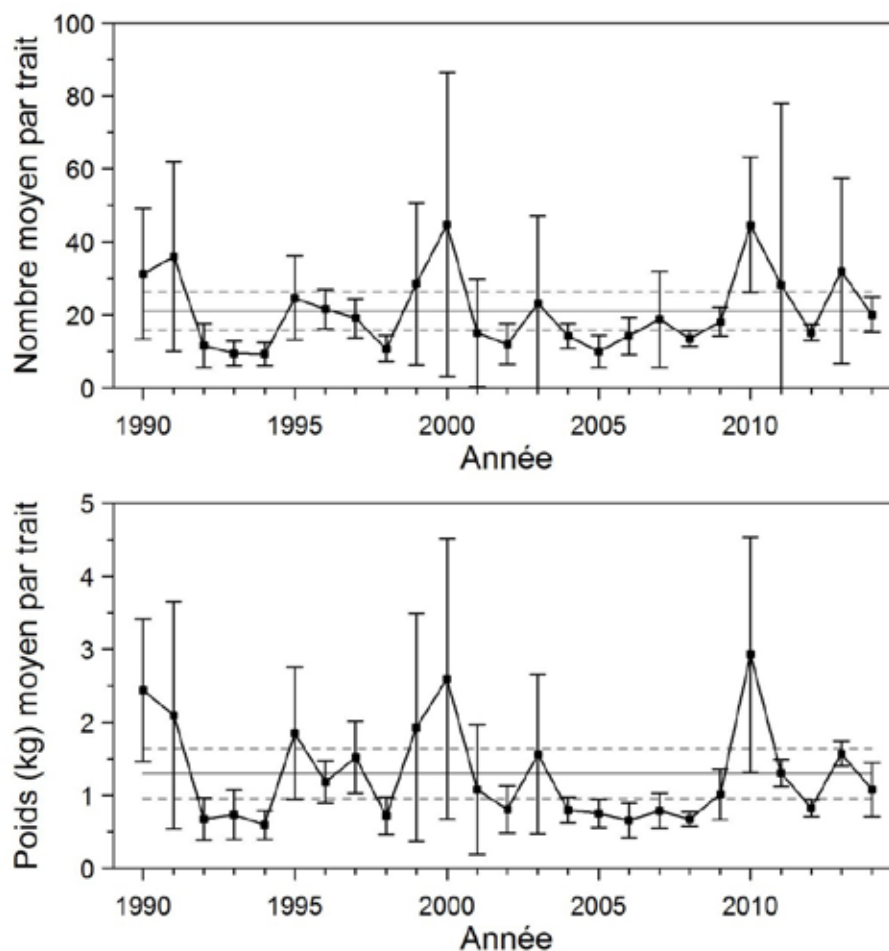


Figure 41. Nombres moyens et poids moyens par trait de 15 minutes observés lors du relevé pour la myxine dans 4RST. Les barres d'erreur indiquent l'intervalle de confiance à 95 % et les lignes horizontales indiquent la moyenne de la période 1990-2013 (ligne pleine) et les limites de référence (voir texte) supérieure et inférieure (lignes pointillées).

Myxine

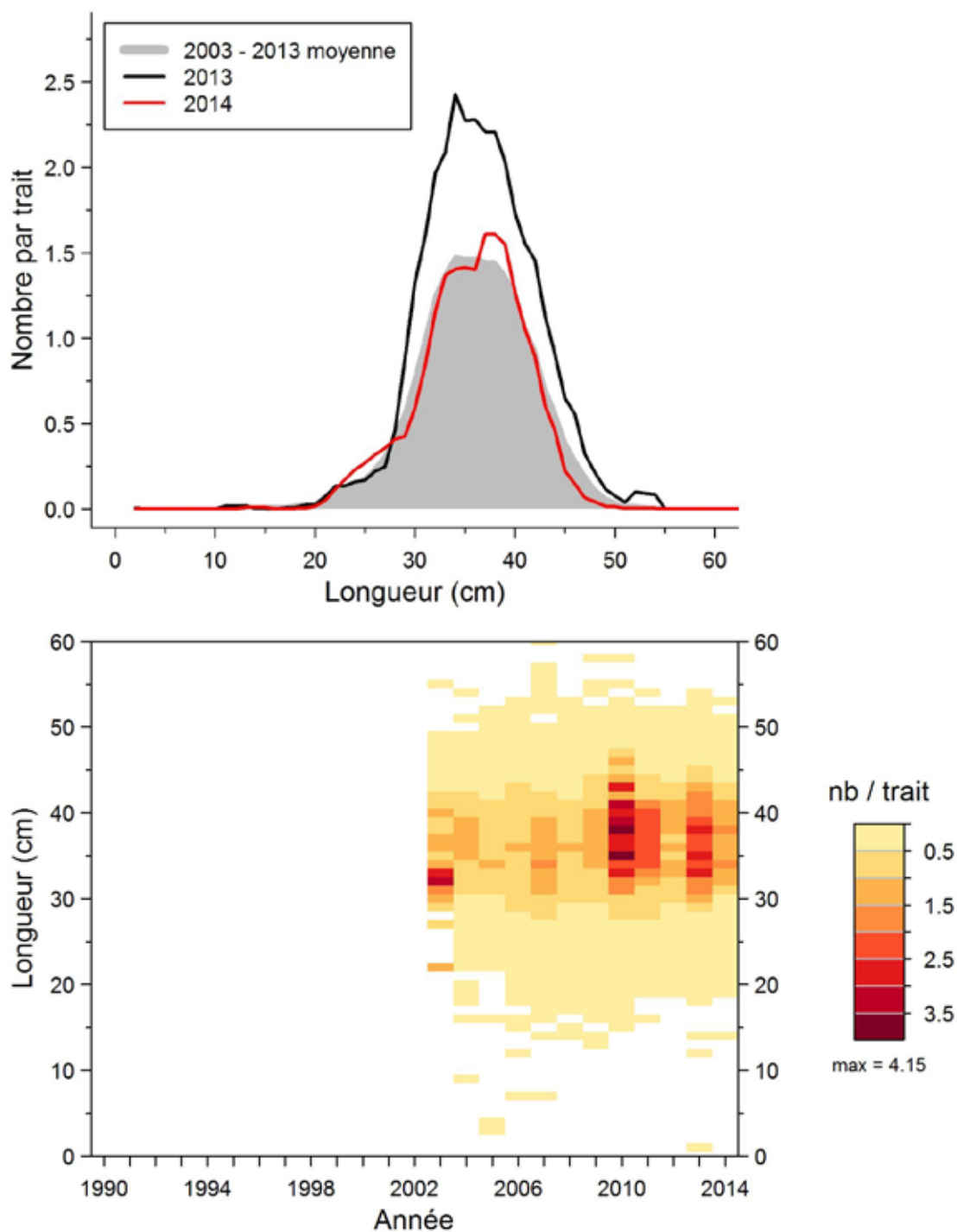


Figure 42. Distributions des fréquences de longueur (nombre moyen par trait de 15 minutes) observées lors du relevé pour la myxine dans 4RST.

Myxine

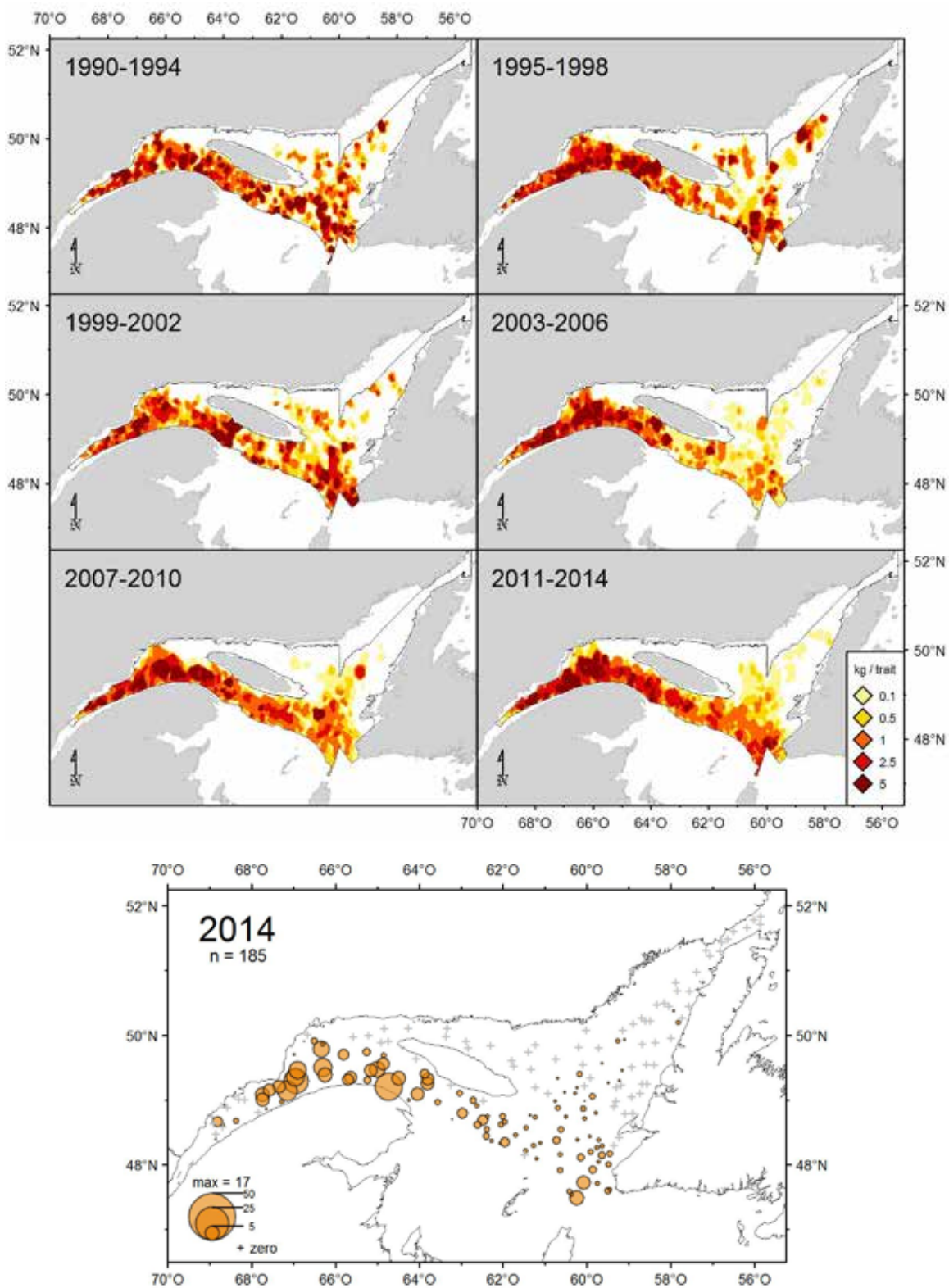


Figure 43. Distribution des taux de capture (kg/trait de 15 minutes) de myxine.

Plie canadienne

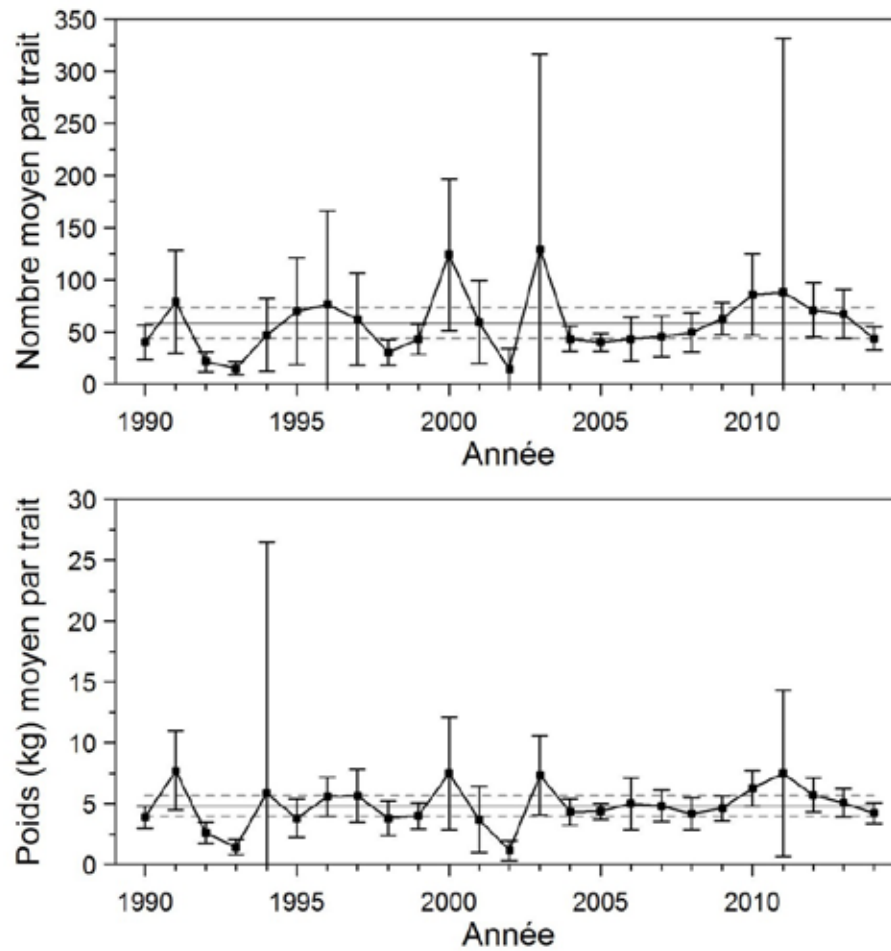


Figure 44. Nombres moyens et poids moyens par trait de 15 minutes observés lors du relevé pour la plie canadienne dans 4RST. Les barres d'erreur indiquent l'intervalle de confiance à 95 % et les lignes horizontales indiquent la moyenne de la période 1990-2013 (ligne pleine) et les limites de référence (voir texte) supérieure et inférieure (lignes pointillées).

Plie canadienne

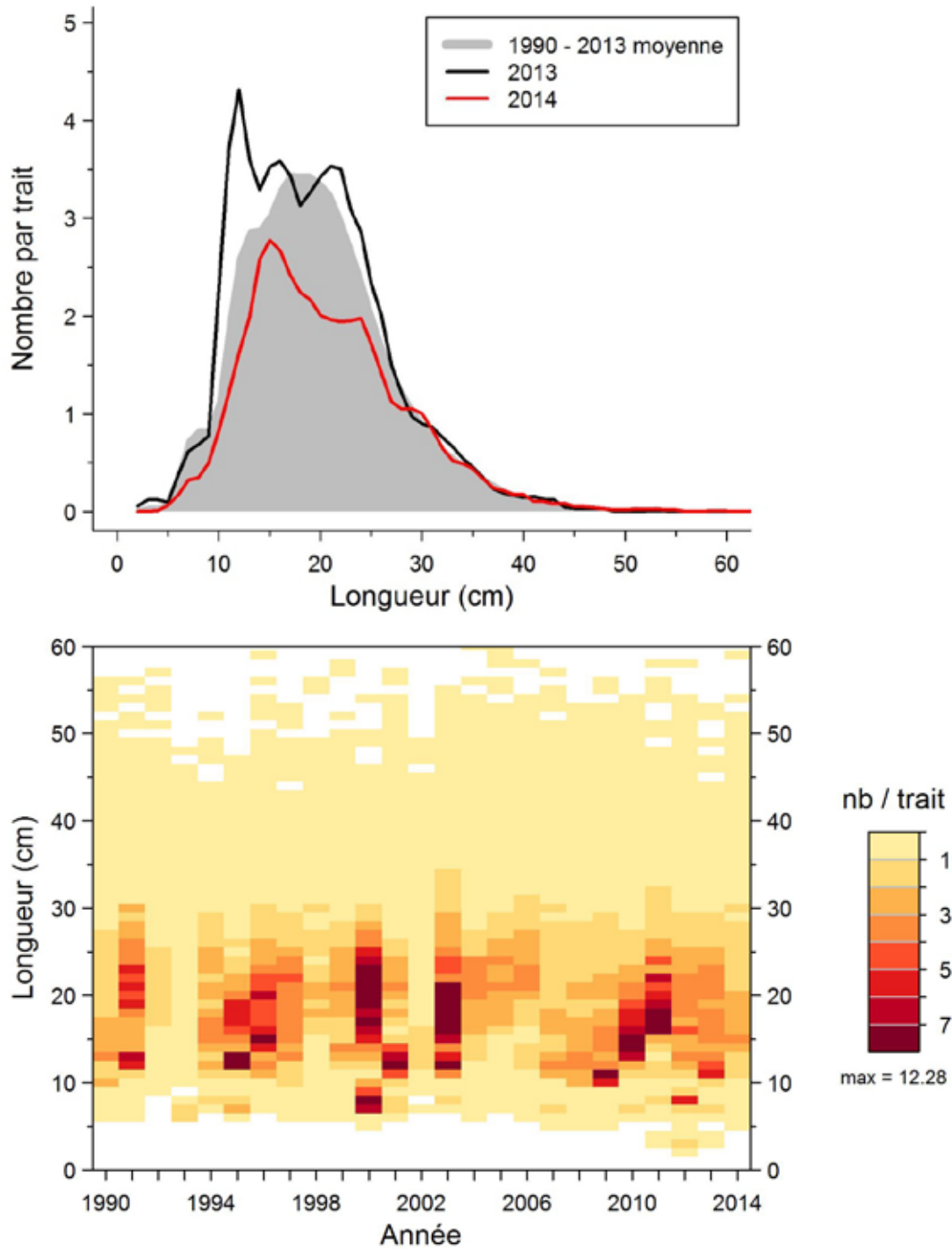


Figure 45. Distributions des fréquences de longueur (nombre moyen par trait de 15 minutes) observées lors du relevé pour la plie canadienne dans 4RST.

Plie canadienne

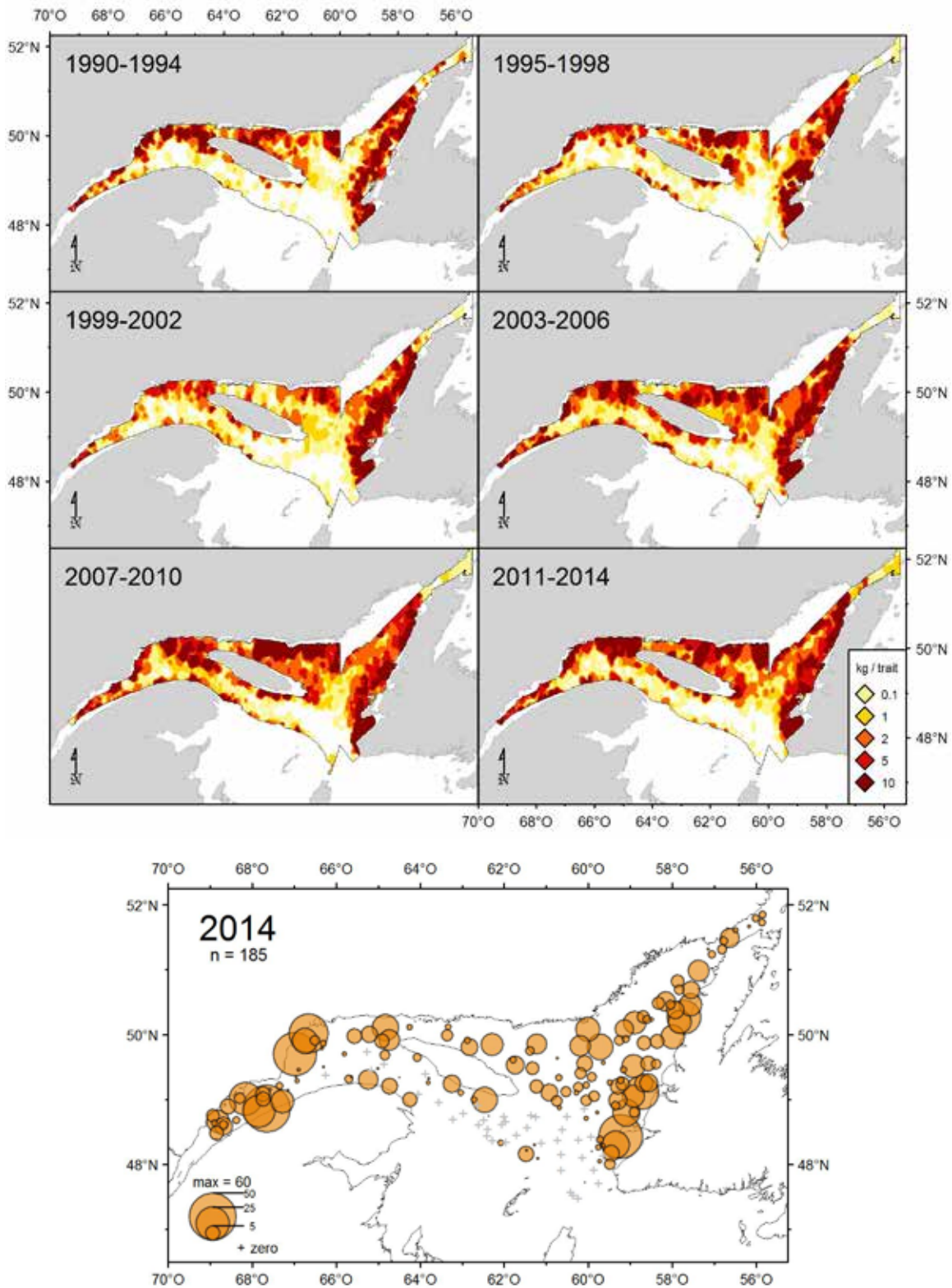


Figure 46. Distribution des taux de capture (kg/trait de 15 minutes) de plie canadienne.

Plie grise

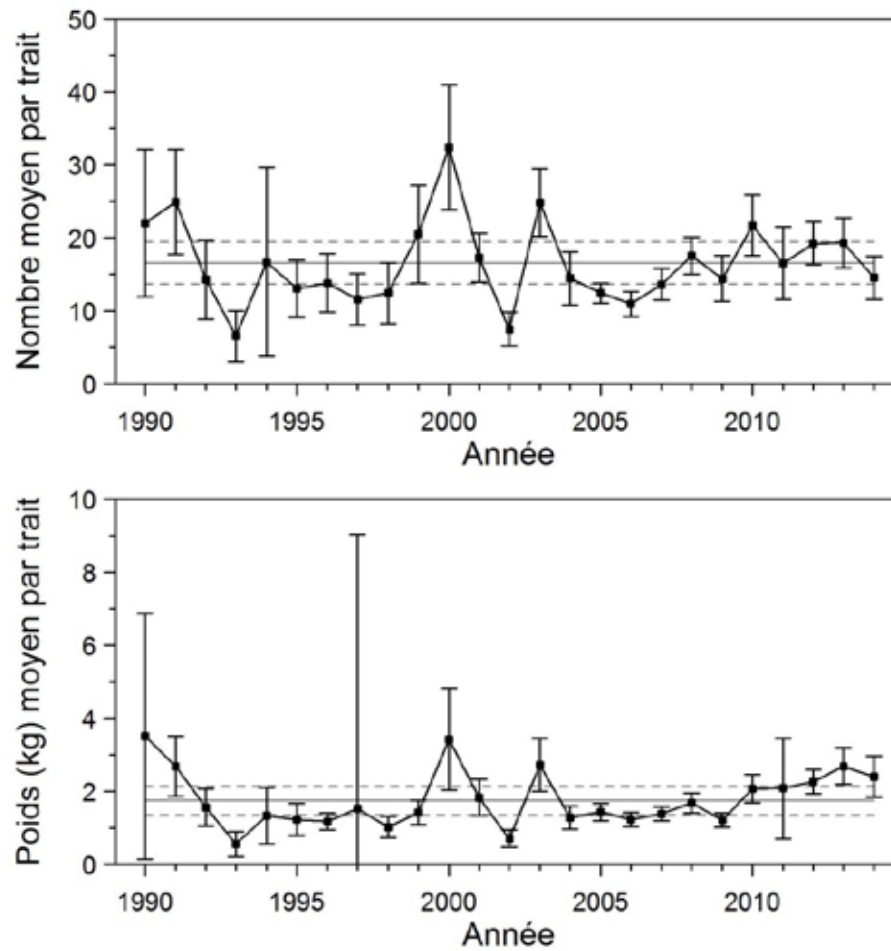


Figure 47. Nombres moyens et poids moyens par trait de 15 minutes observés lors du relevé pour la plie grise dans 4RST. Les barres d'erreur indiquent l'intervalle de confiance à 95 % et les lignes horizontales indiquent la moyenne de la période 1990-2013 (ligne pleine) et les limites de référence (voir texte) supérieure et inférieure (lignes pointillées).

Plie grise

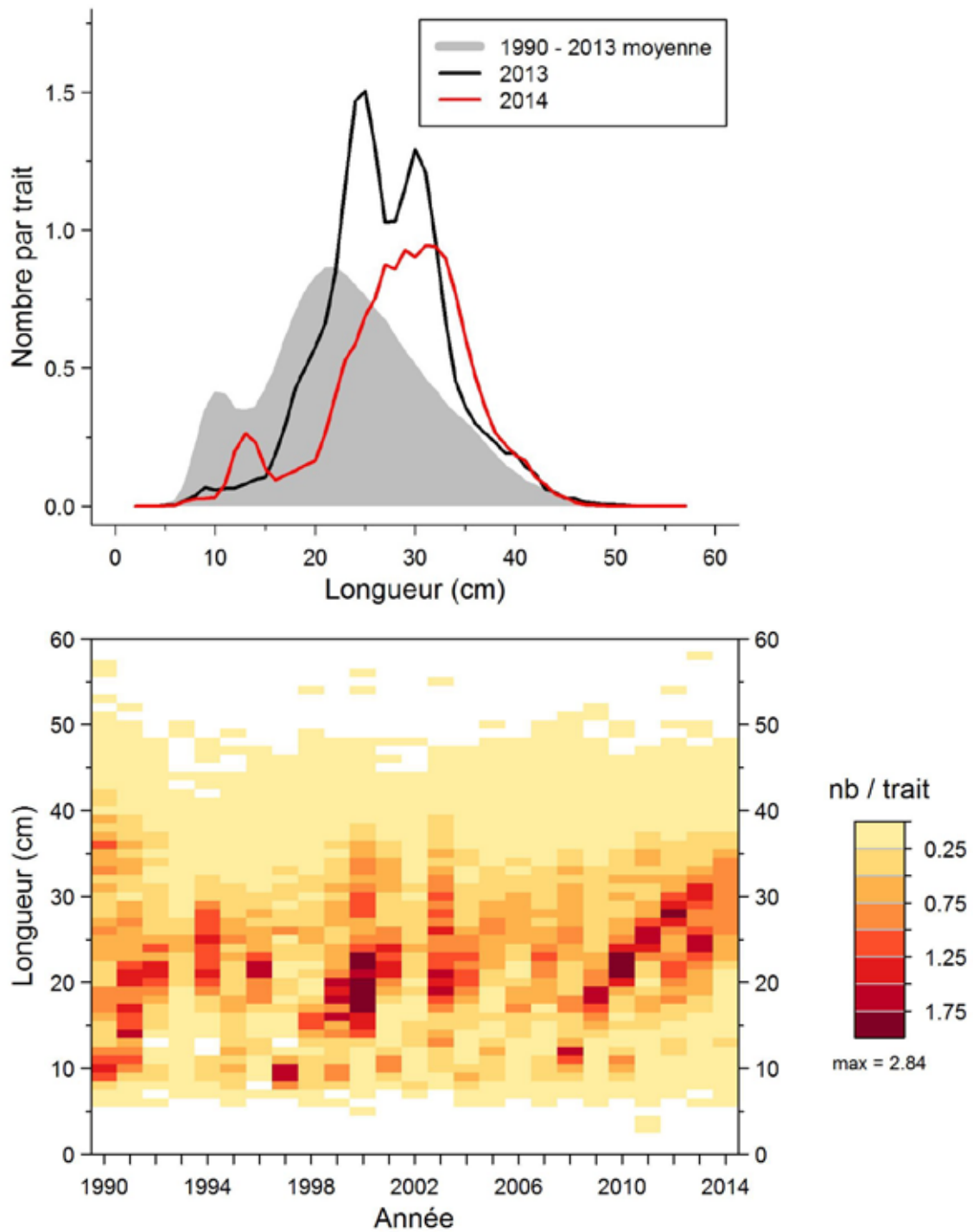


Figure 48. Distributions des fréquences de longueur (nombre moyen par trait de 15 minutes) observées lors du relevé pour la plie grise dans 4RST.

Plie grise

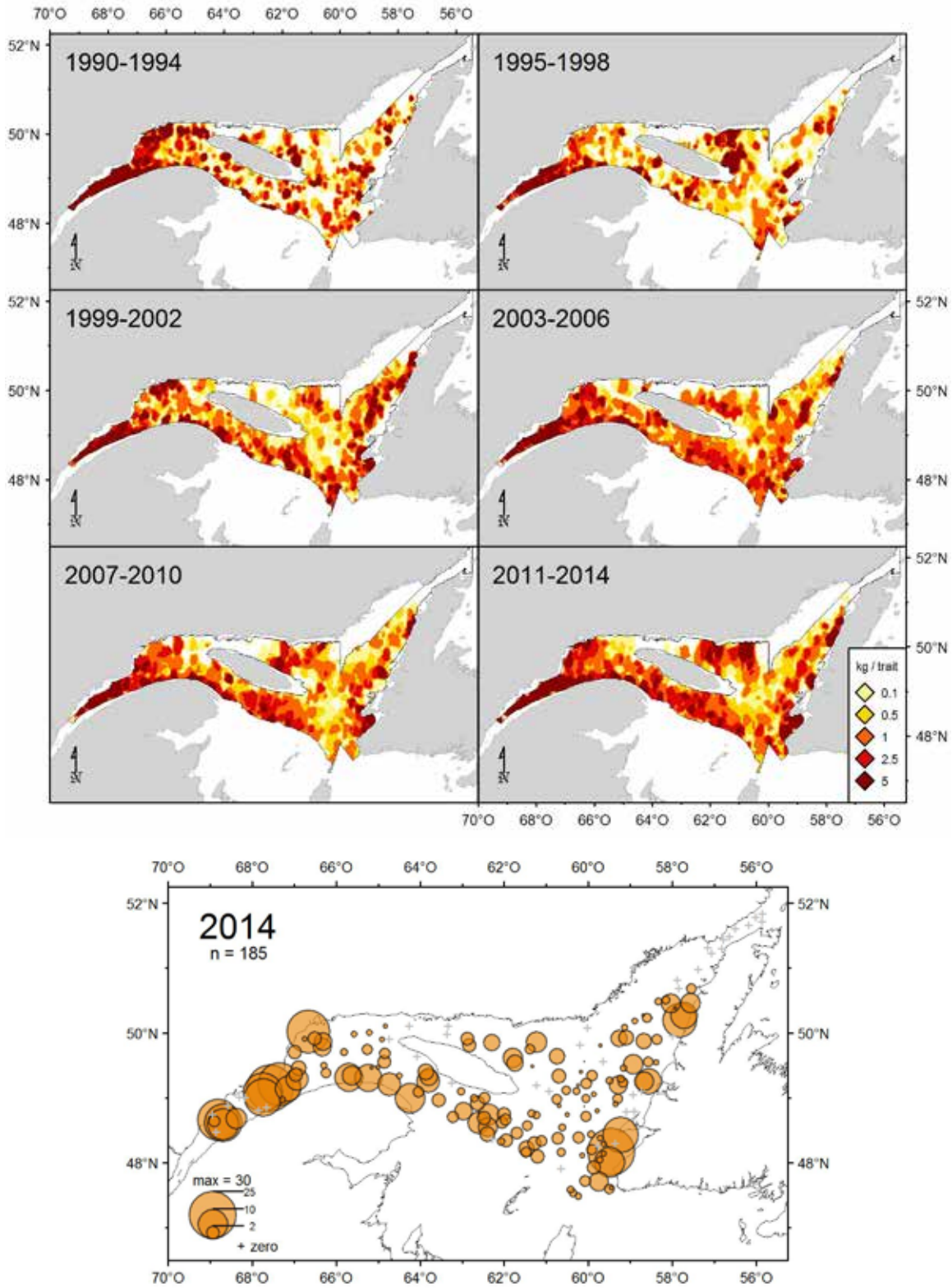


Figure 49. Distribution des taux de capture (kg/trait de 15 minutes) de plie grise.

Plume de mer (*Anthoptilum grandiflorum*)

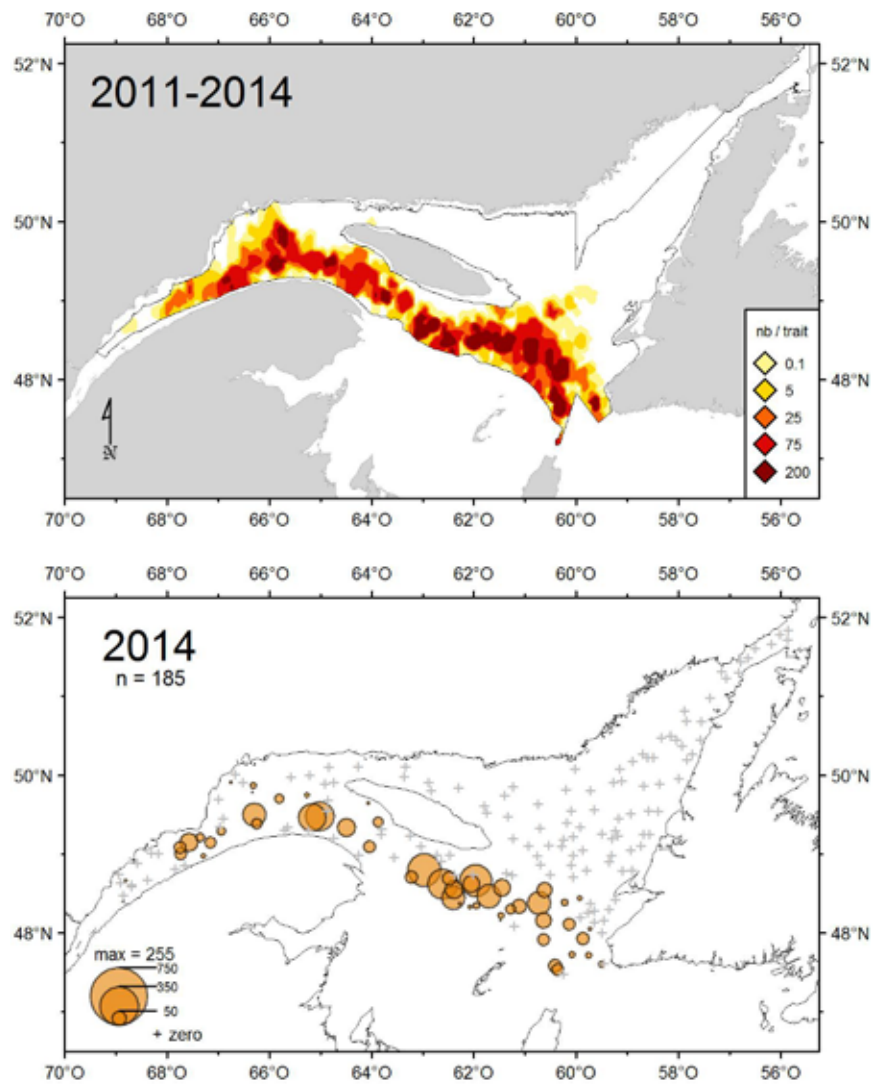


Figure 50. Distribution des taux de capture (nb/trait de 15 minutes) de la plume de mer *Anthoptilum grandiflorum*.

Plume de mer (*Halipteris finmarchica*)

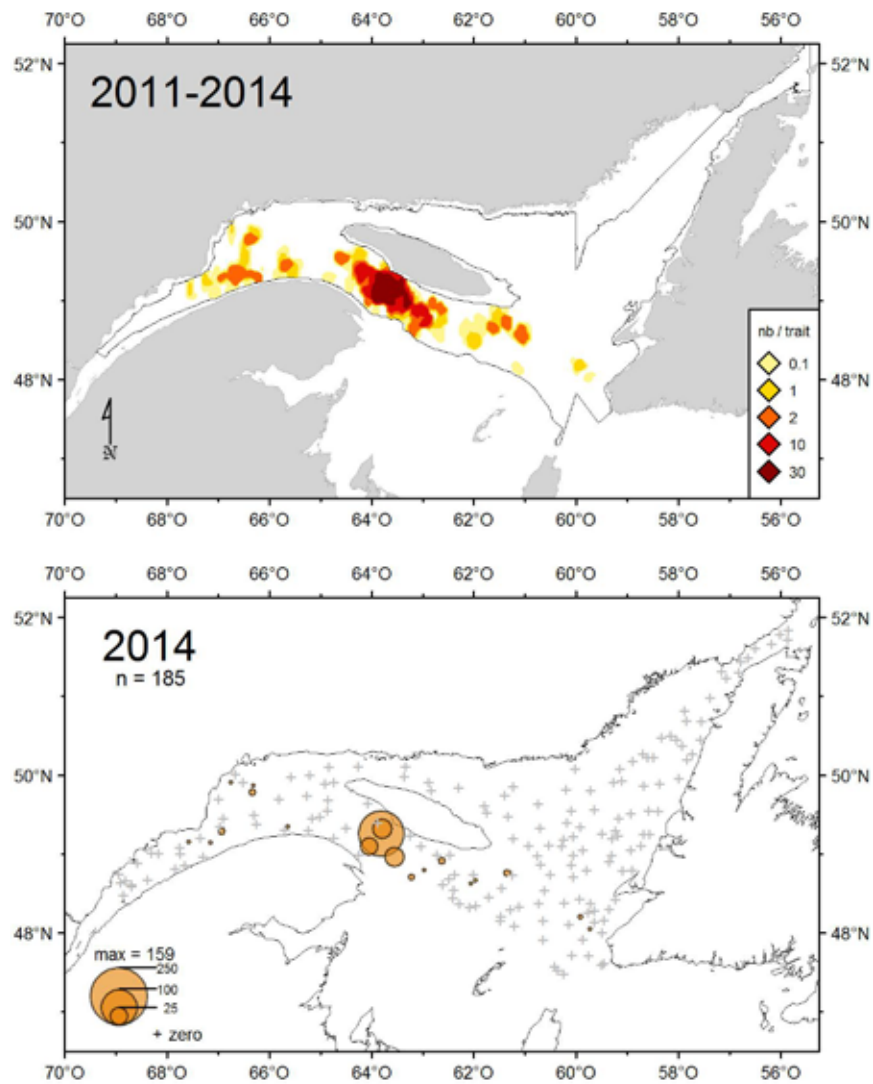


Figure 51. Distribution des taux de capture (nb/trait de 15 minutes) de la plume de mer *Halipteris finmarchica*.

Plume de mer (*Pennatula aculeata*)

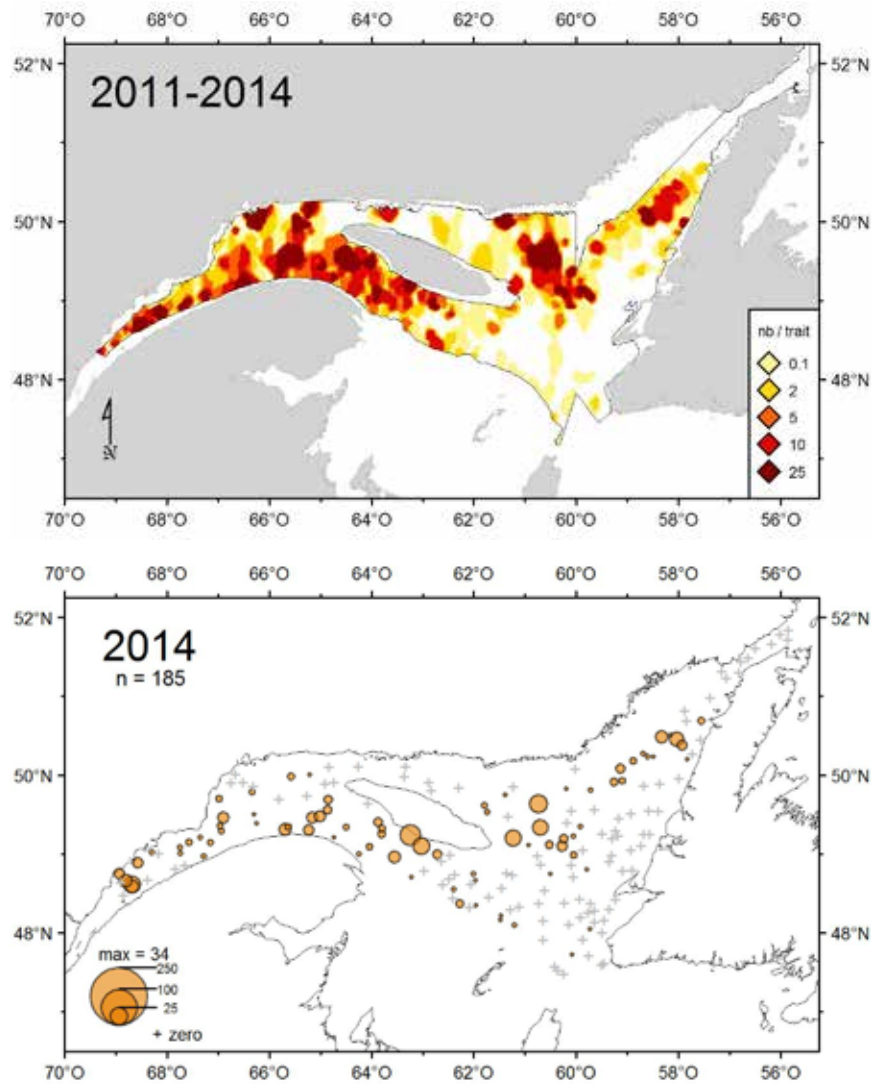


Figure 52. Distribution des taux de capture (nb/trait de 15 minutes) de la plume de mer *Pennatula aculeata*.

Plume de mer (*Pennatula grandis*)

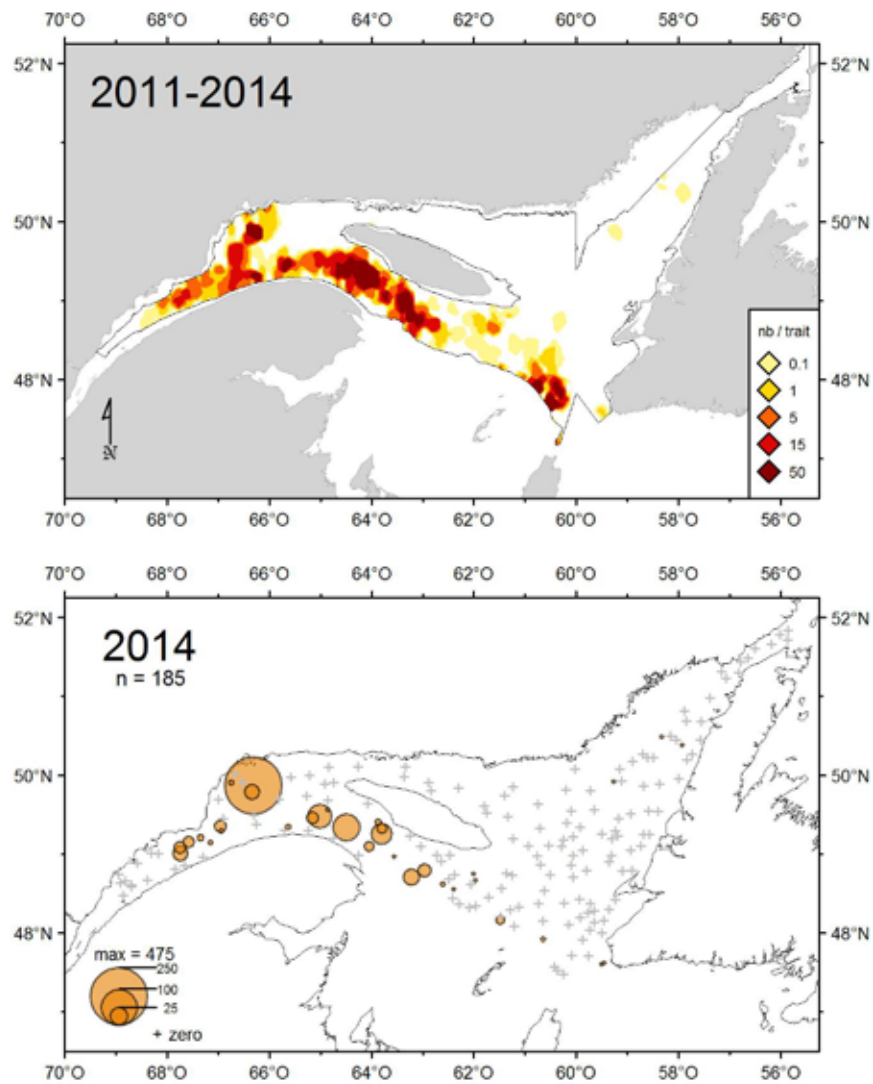


Figure 53. Distribution des taux de capture (nb/trait de 15 minutes) de la plume de mer *Pennatula grandis*.

Raie épineuse

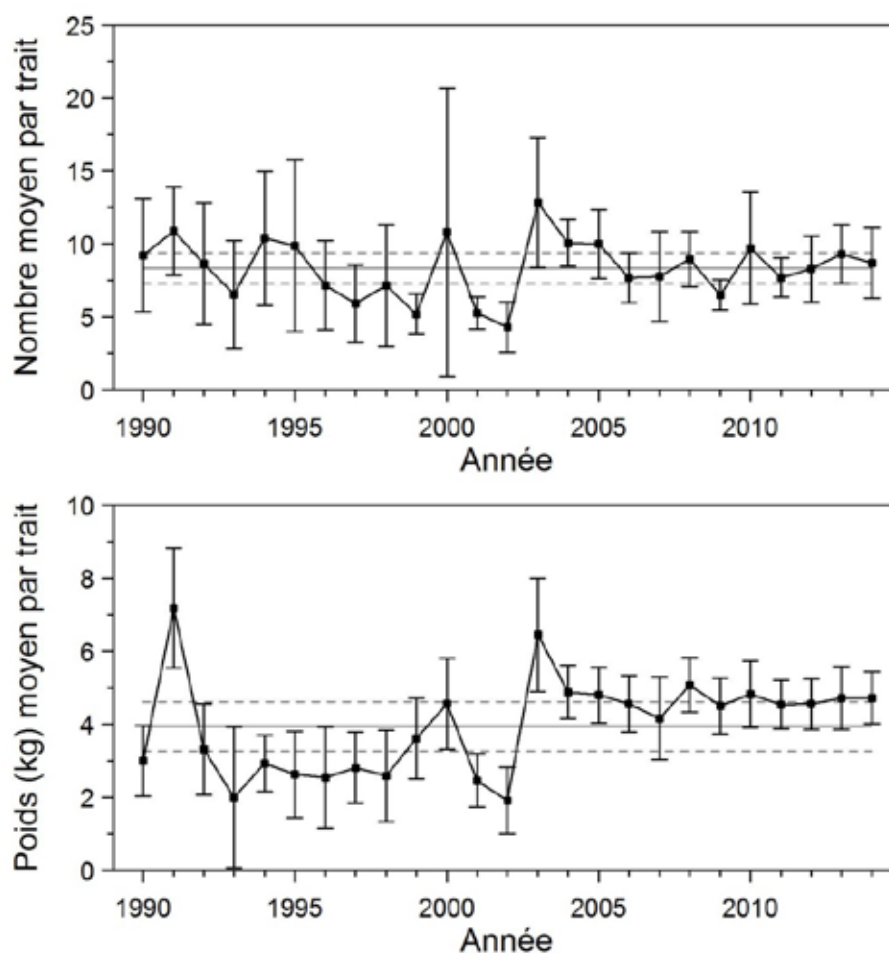


Figure 54. Nombres moyens et poids moyens par trait de 15 minutes observés lors du relevé pour la raie épineuse dans 4RST. Les barres d'erreur indiquent l'intervalle de confiance à 95 % et les lignes horizontales indiquent la moyenne de la période 1990-2013 (ligne pleine) et les limites de référence (voir texte) supérieure et inférieure (lignes pointillées).

Raie épineuse

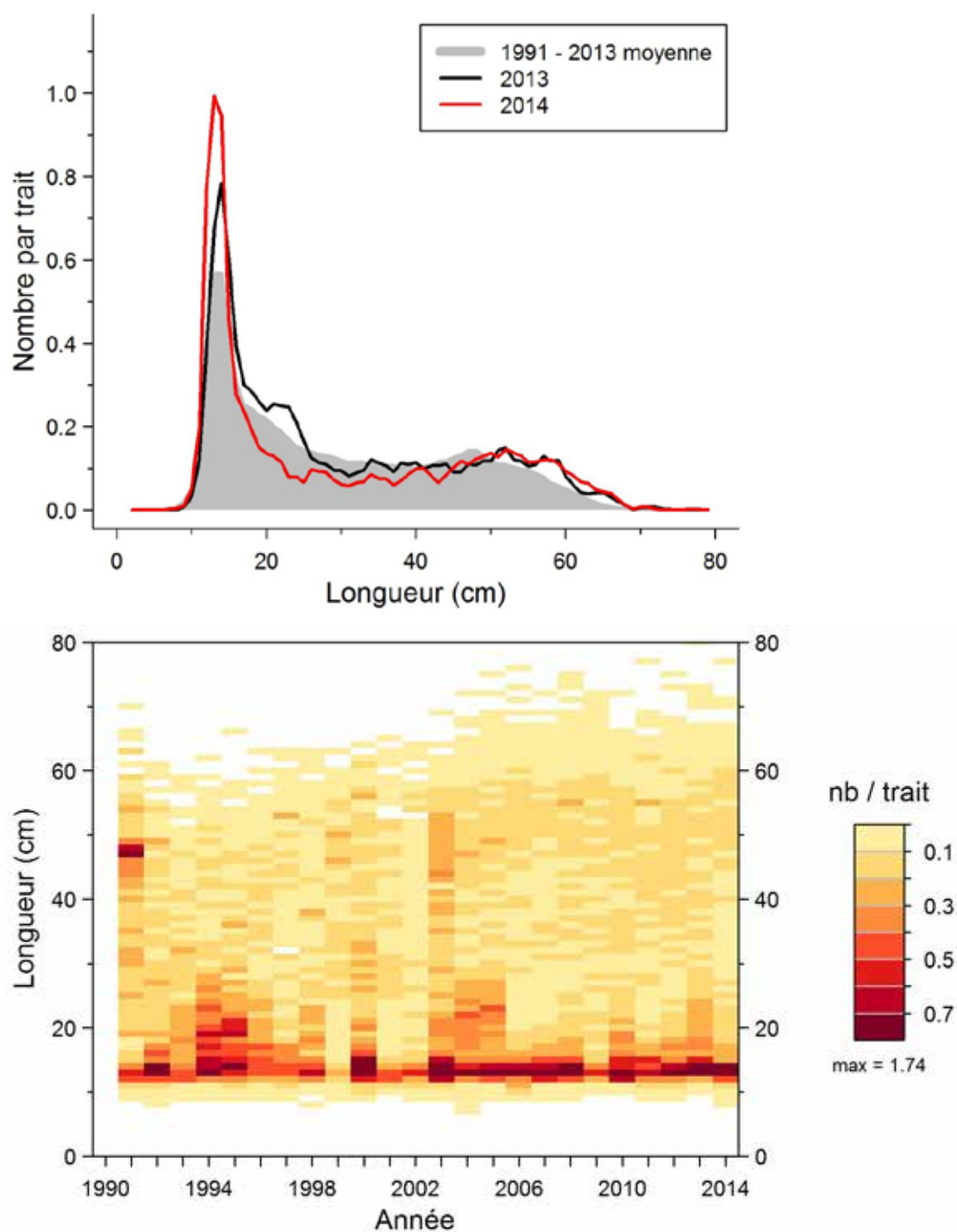


Figure 55. Distributions des fréquences de longueur (nombre moyen par trait de 15 minutes) observées lors du relevé pour la raie épineuse dans 4RST.

Raie épineuse

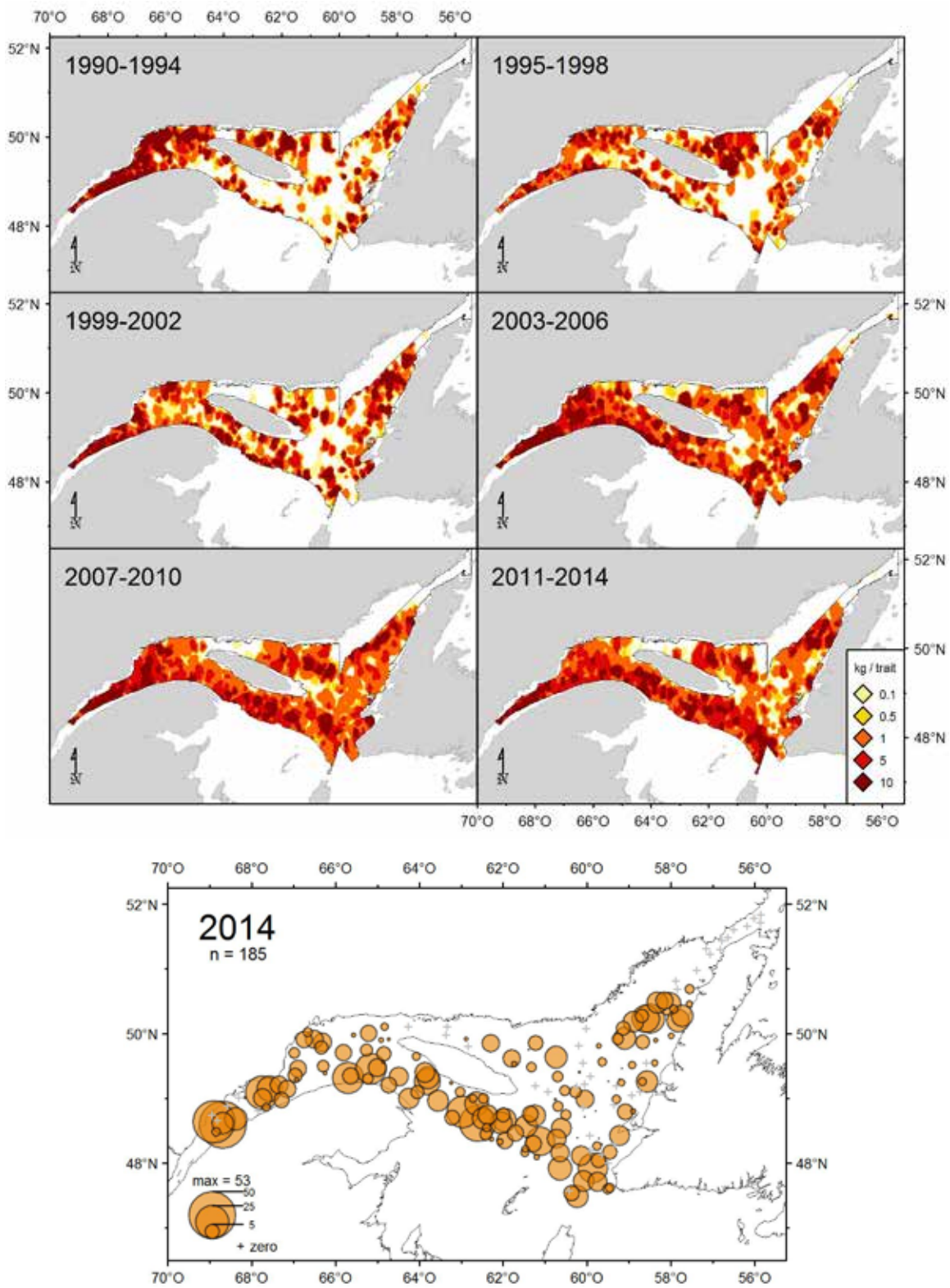


Figure 56. Distribution des taux de capture (kg/trait de 15 minutes) de raie épineuse.

Raie lisse

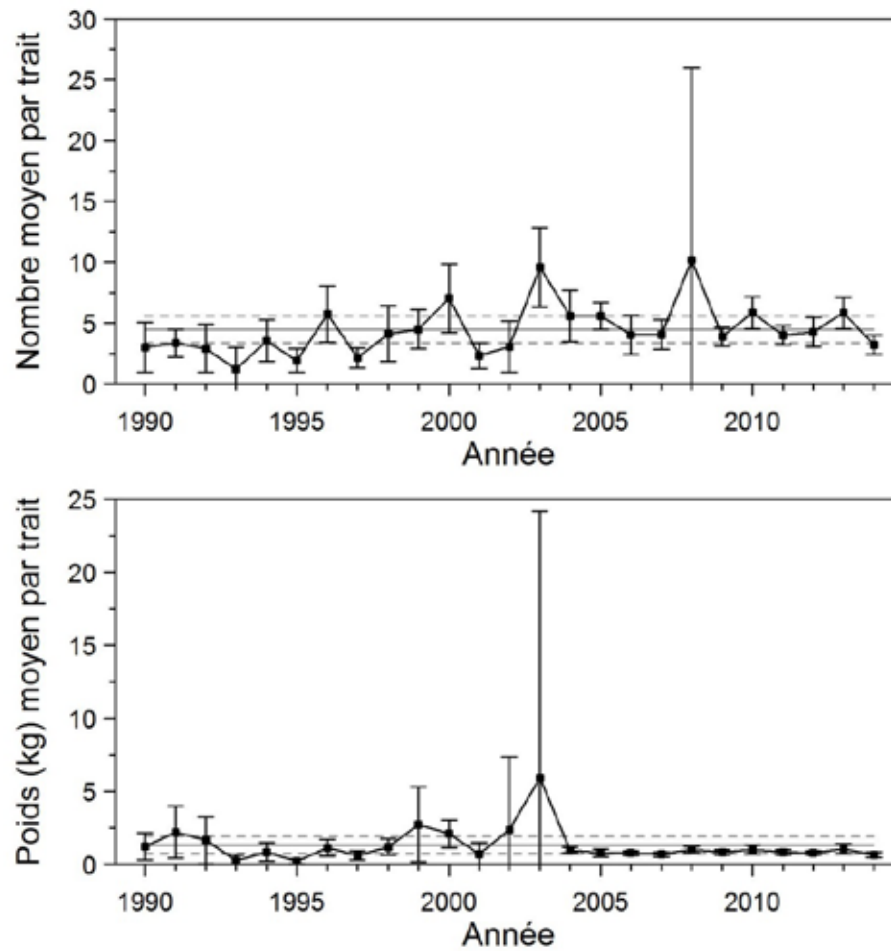


Figure 57. Nombres moyens et poids moyens par trait de 15 minutes observés lors du relevé pour la raie lisse dans 4RST. Les barres d'erreur indiquent l'intervalle de confiance à 95 % et les lignes horizontales indiquent la moyenne de la période 1990-2013 (ligne pleine) et les limites de référence (voir texte) supérieure et inférieure (lignes pointillées).

Raie lisse

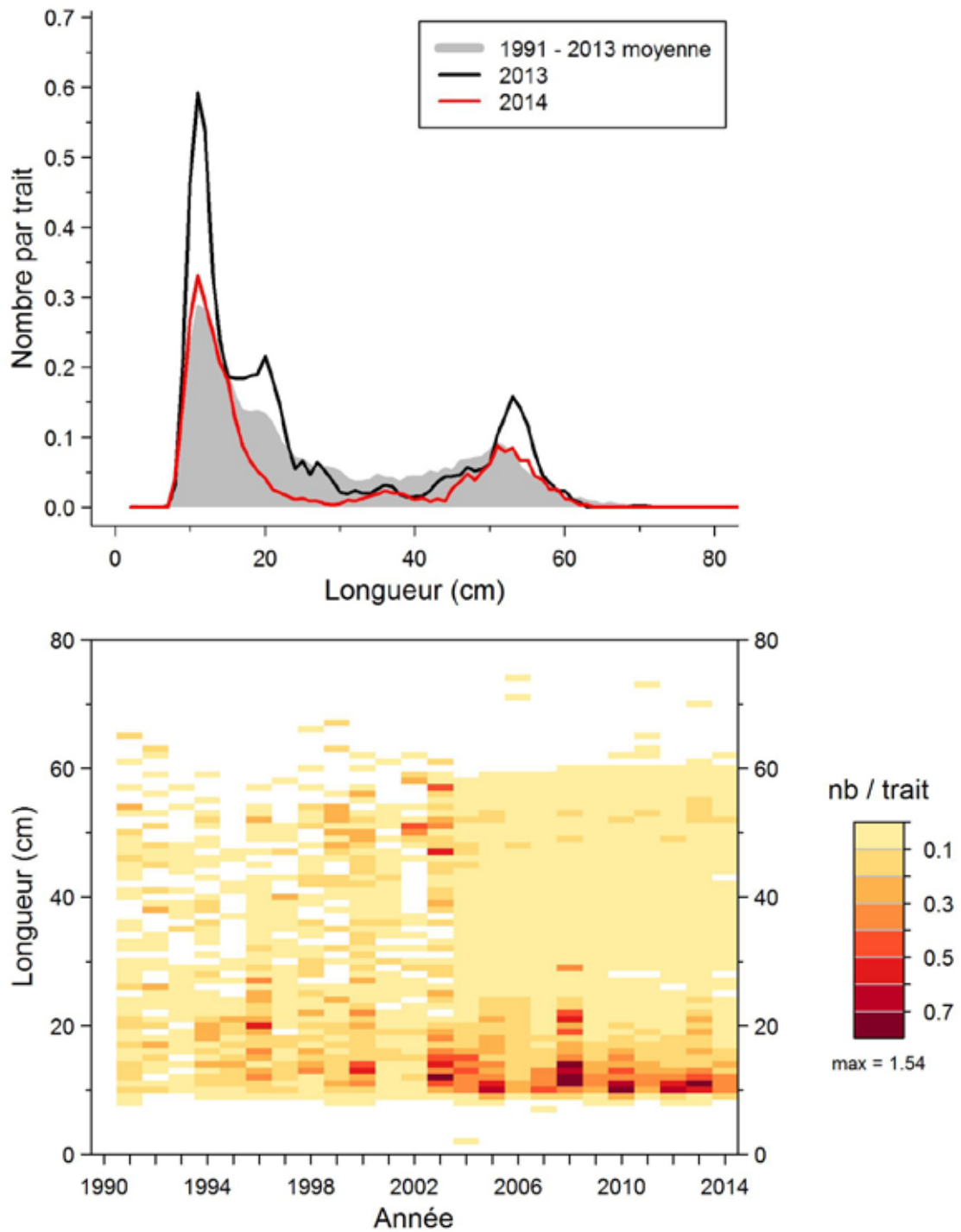


Figure 58. Distributions des fréquences de longueur (nombre moyen par trait de 15 minutes) observées lors du relevé pour la raie lisse dans 4RST.

Raie lisse

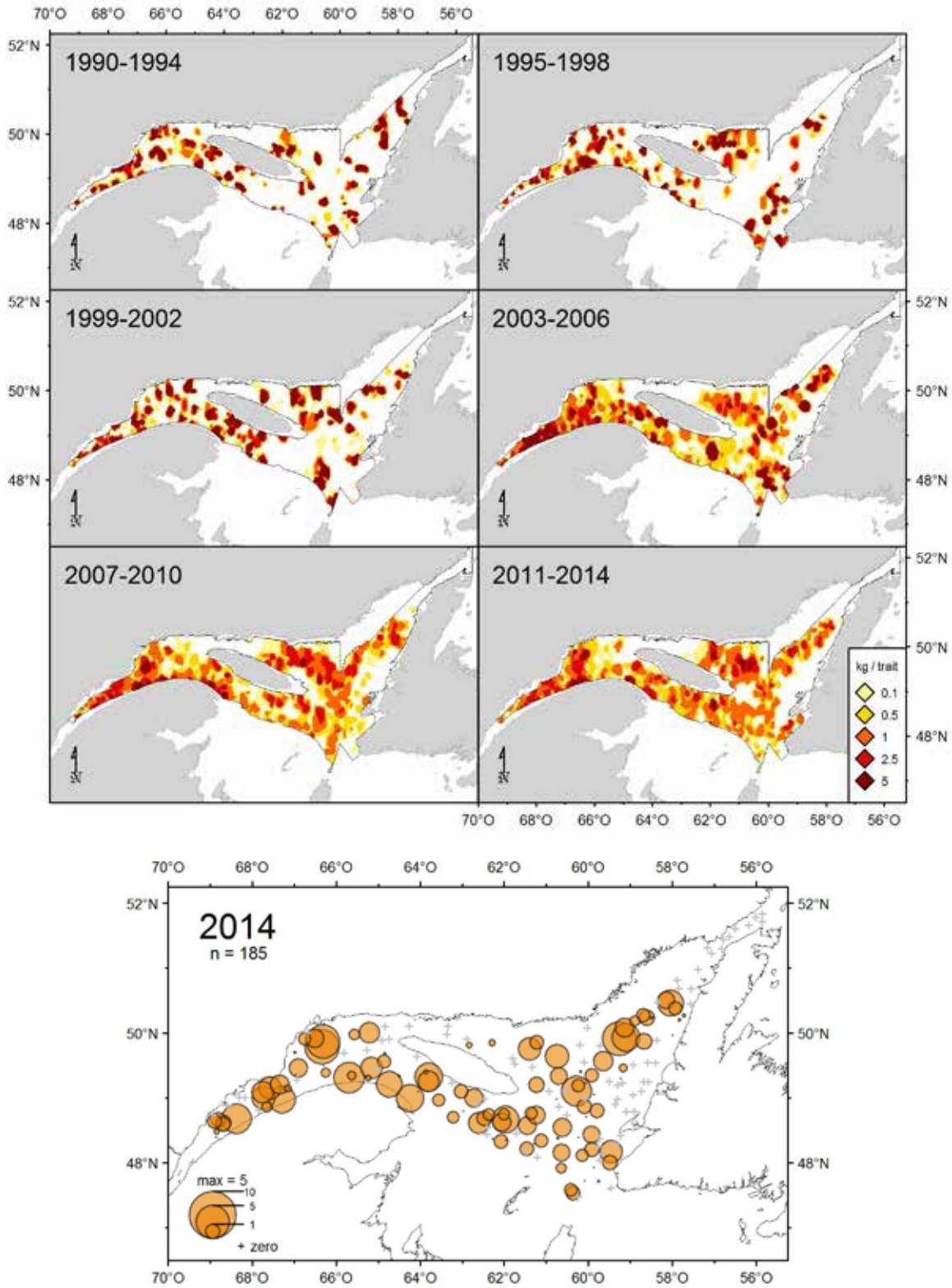


Figure 59. Distribution des taux de capture (kg/trait de 15 minutes) de raie lisse.

Sébaste acadien

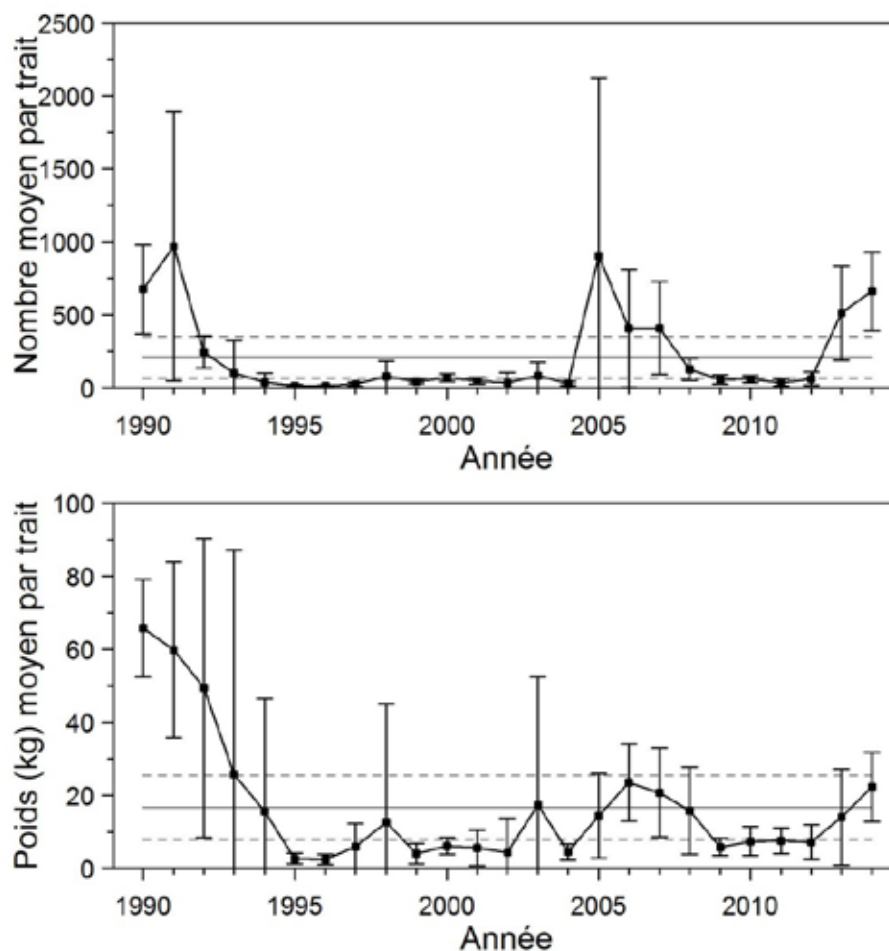


Figure 60. Nombres moyens et poids moyens par trait de 15 minutes observés lors du relevé pour le sébaste acadien dans 4RST. Les barres d'erreur indiquent l'intervalle de confiance à 95 % et les lignes horizontales indiquent la moyenne de la période 1990-2013 (ligne pleine) et les limites de référence (voir texte) supérieure et inférieure (lignes pointillées).

Sébaste acadien

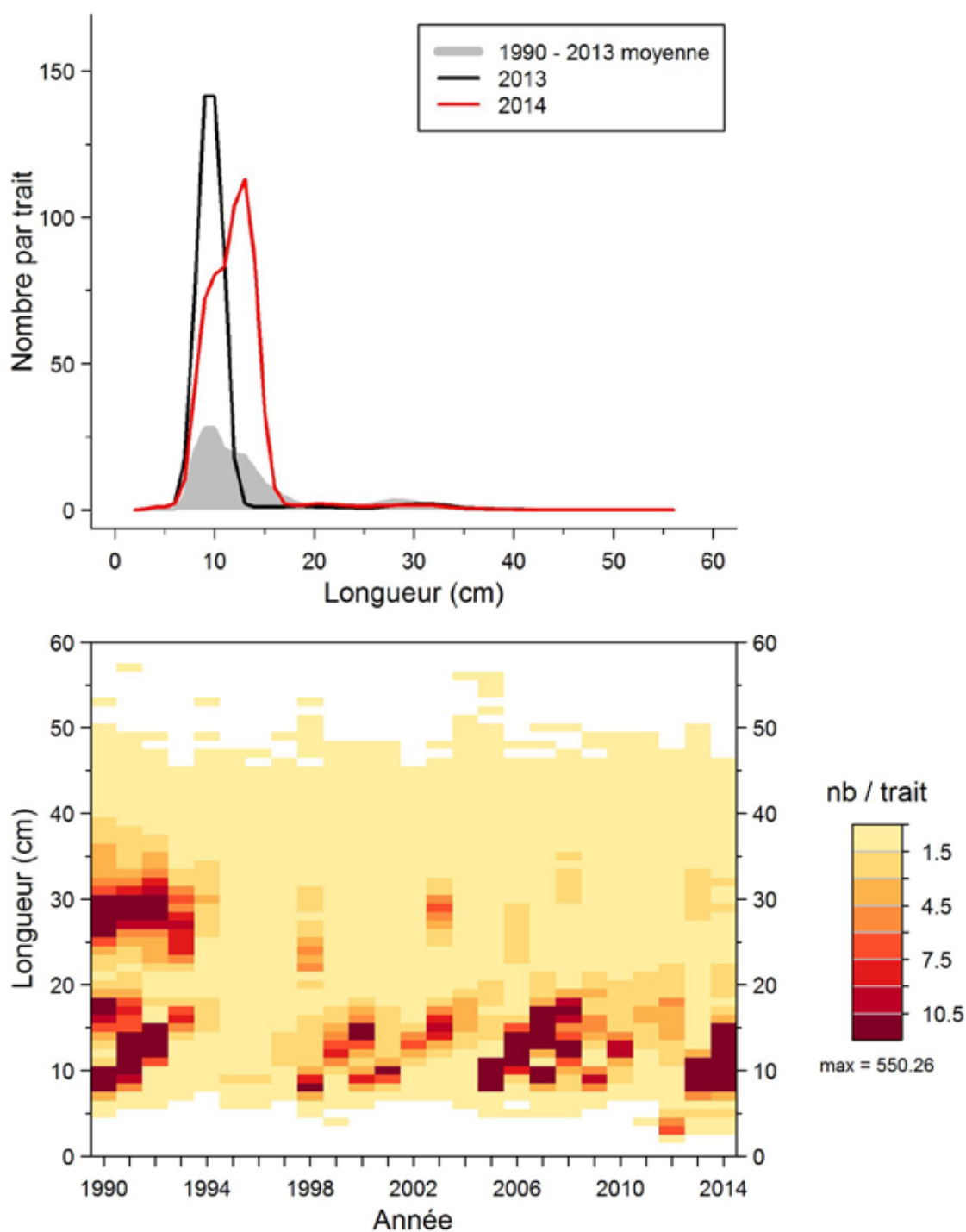


Figure 61. Distributions des fréquences de longueur (nombre moyen par trait de 15 minutes) observées lors du relevé pour le sébaste acadien dans 4RST.

Sébaste acadien

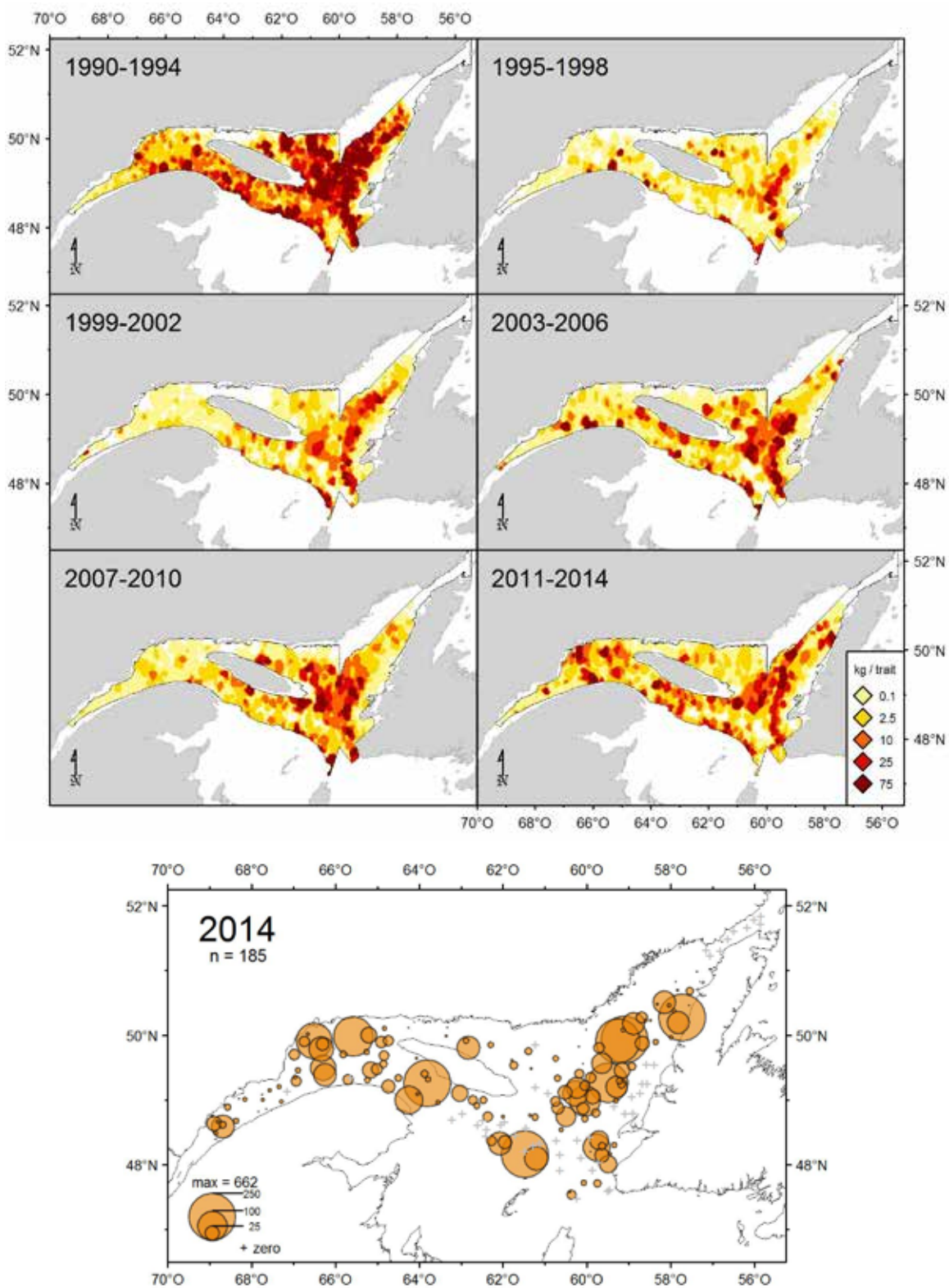


Figure 62. Distribution des taux de capture (kg/trait de 15 minutes) du sébaste acadien.

Sébaste atlantique

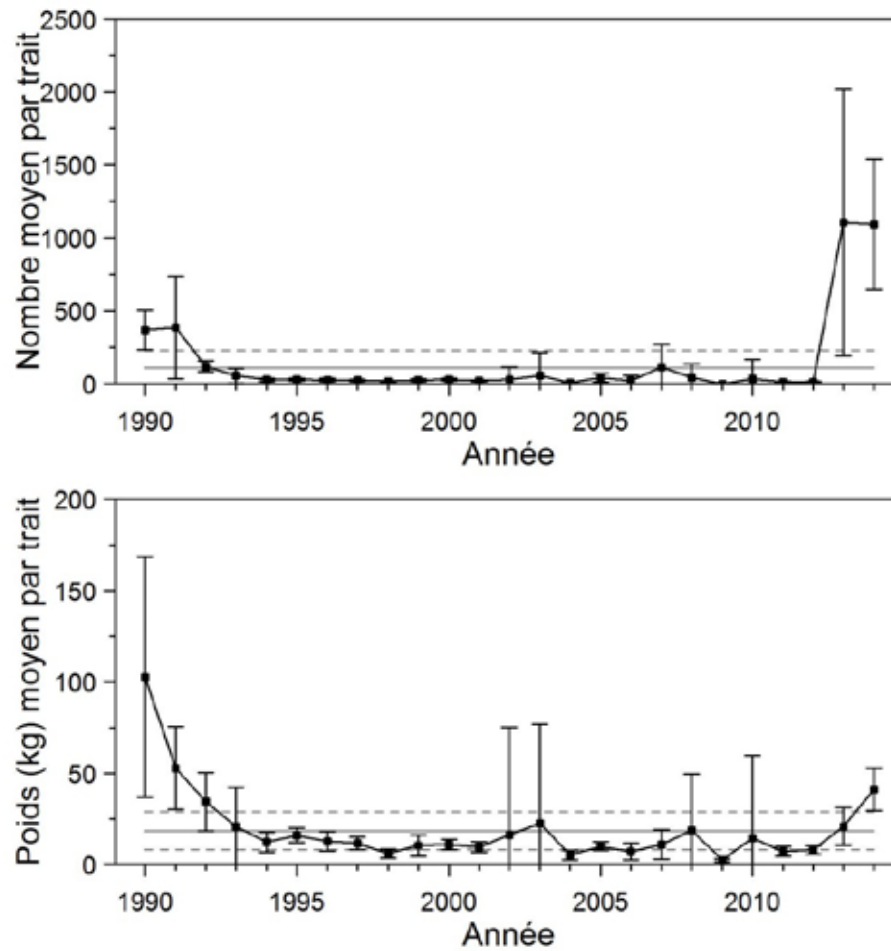


Figure 63. Nombres moyens et poids moyens par trait de 15 minutes observés lors du relevé pour le sébaste atlantique dans 4RST. Les barres d'erreur indiquent l'intervalle de confiance à 95 % et les lignes horizontales indiquent la moyenne de la période 1990-2013 (ligne pleine) et les limites de référence (voir texte) supérieure et inférieure (lignes pointillées).

Sébaste atlantique

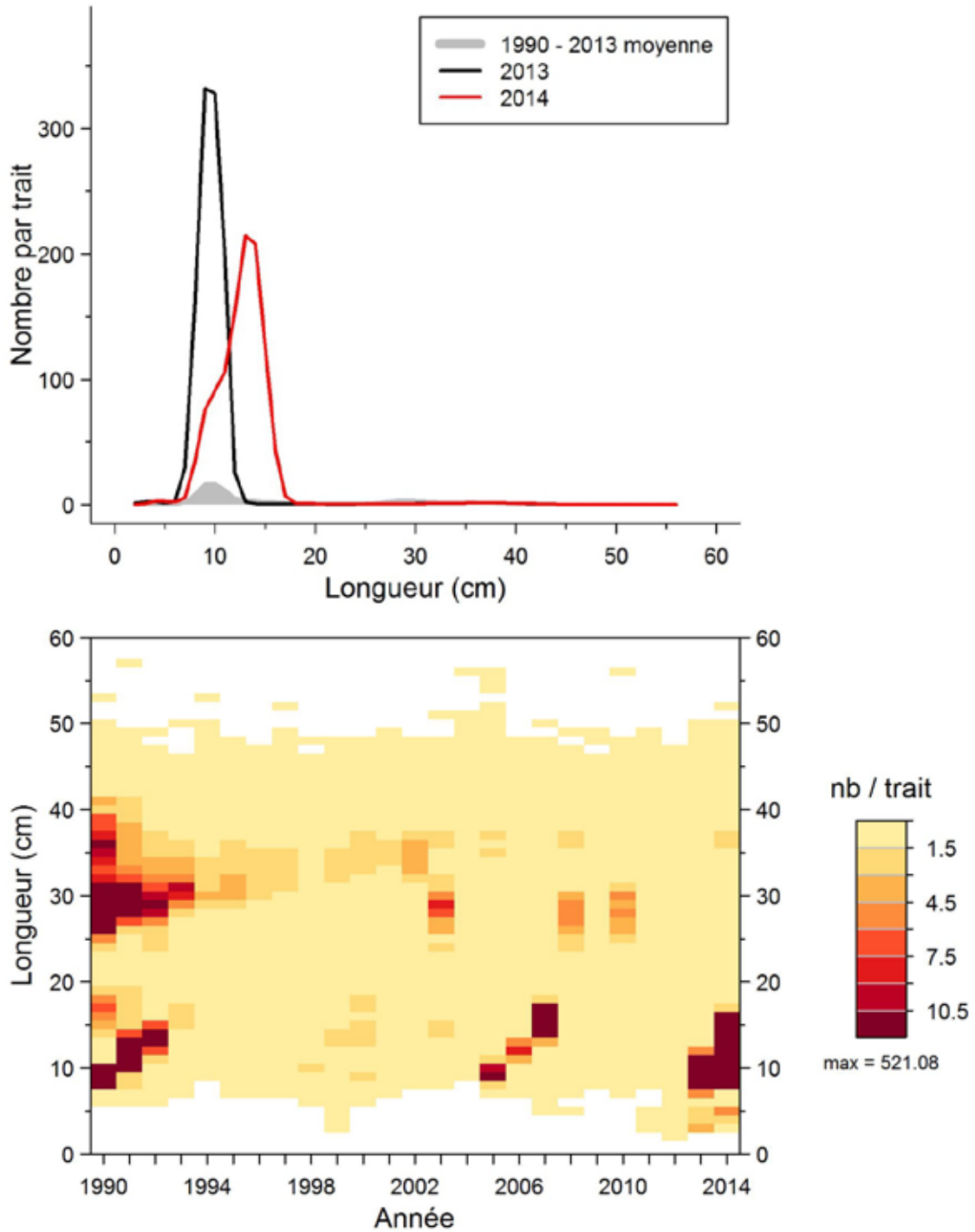


Figure 64. Distributions des fréquences de longueur (nombre moyen par trait de 15 minutes) observées lors du relevé pour le sébaste atlantique dans 4RST.

Sébaste atlantique

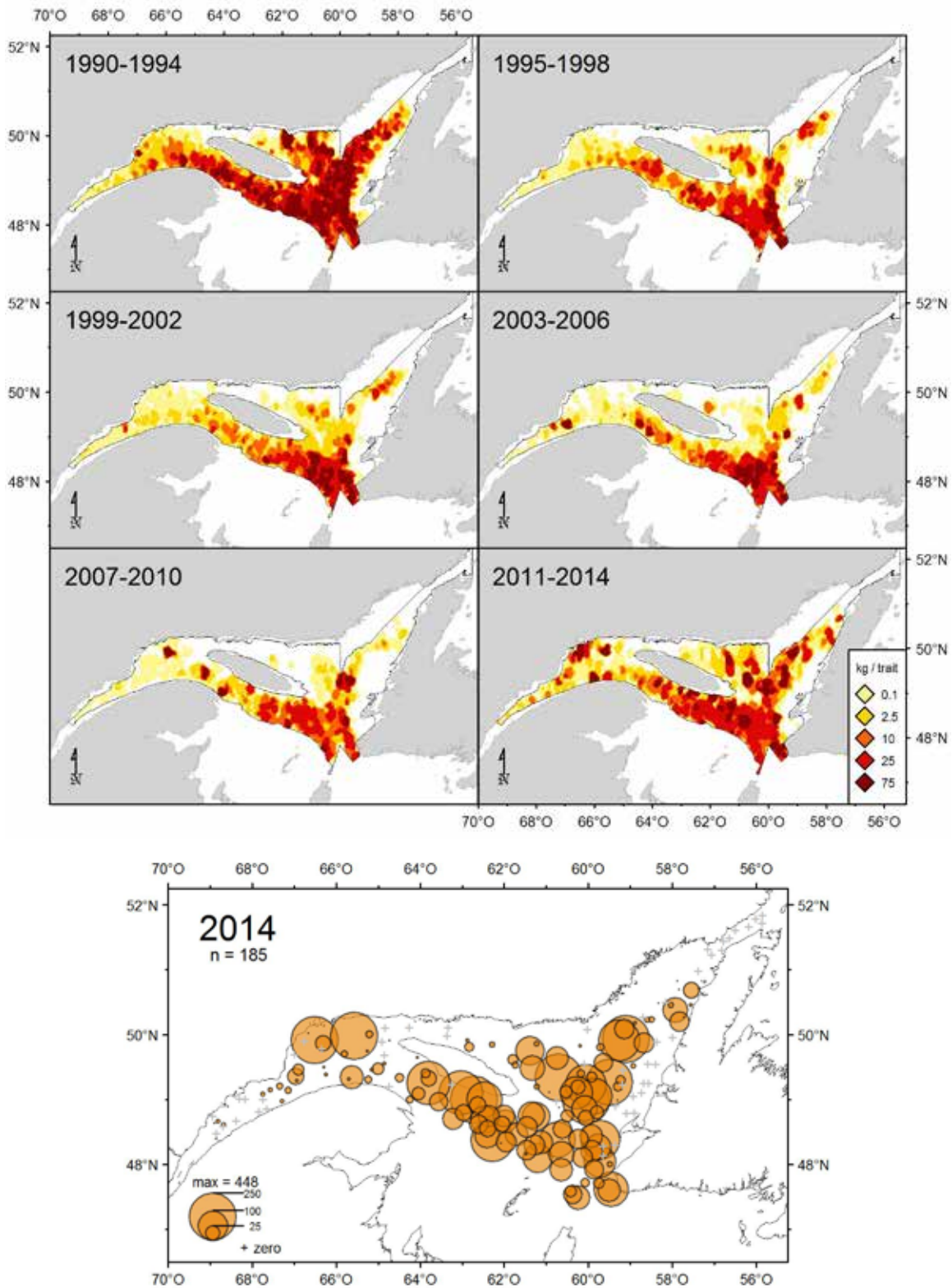


Figure 65. Distribution des taux de capture (kg/trait de 15 minutes) du sébaste atlantique.

Température de l'eau dans le golfe

August-September 2014

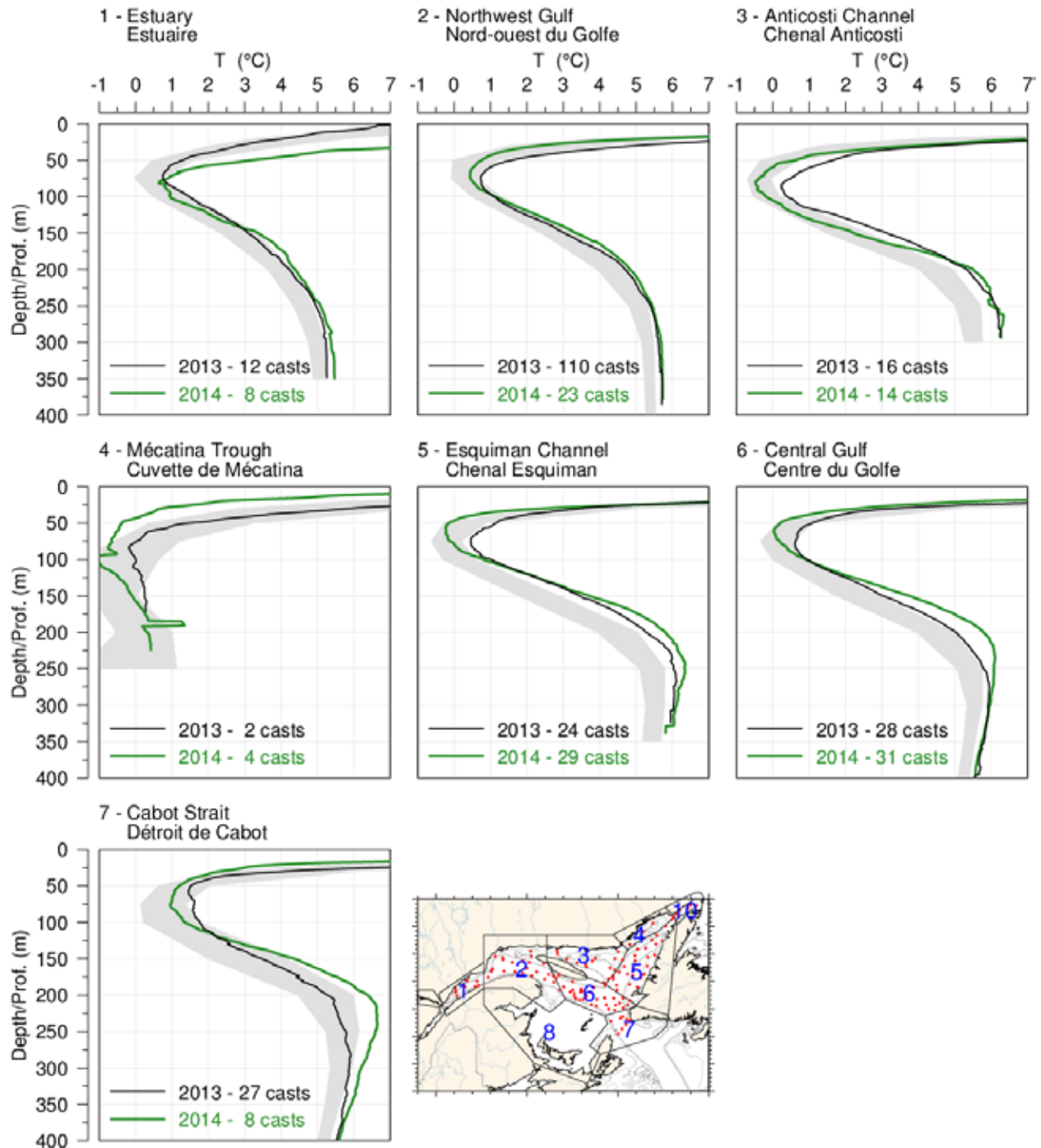


Figure 66. Profils de températures moyennés par région du golfe pour les données du relevé d'août 2014. Les ombragés indiquent la température moyenne climatologique 1981-2010 ± 0.5 écarts-types. Les profils moyens de 2013 ont aussi inclus pour comparaison.

Température de l'eau dans le golfe

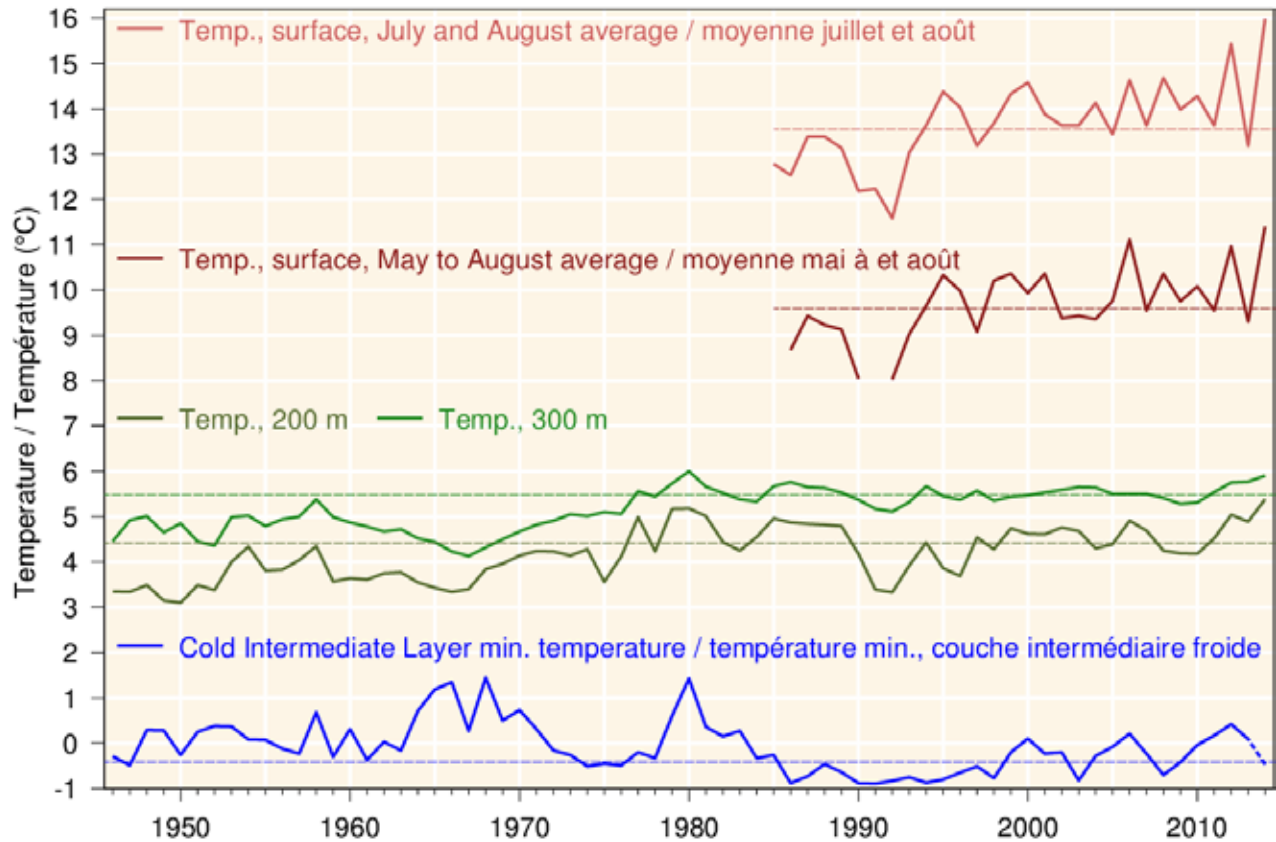


Figure 67. Températures de l'eau dans le golfe. Température de surface moyennée sur l'estuaire et le nord du golfe, juillet et août ainsi que de mai à août (1985–2013) (lignes rouges). Moyenne de température par couche, à 200 et 300 m (lignes vertes). Indice de la température minimum de la couche intermédiaire froide, ajustée au 15 juillet avec la valeur de 2014 estimée à partir des données obtenues lors du relevé du mois d'août (ligne bleue). Les traits en pointillés indiquent les moyennes climatologiques de 1981-2010.

ANNEXES

Annexe 1. Nombre de stations de pêche réussies par strate lors des relevés du MPO.

Strate	OPANO	Surface (km ²)	1990	1991	1992	1993	1994	1995	1996	1997	1998	1999	2000	2001	2002	2003	2004	2005	2006	2007	2008	2009	2010	2011	2012	2013	2014
401	4T	545	3	4	4	4	3	3	3	3	3	3	3	3	3	3	3	6	3	3	3	3	0	3	3	2	2
402	4T	909	3	5	5	3	3	1	3	2	3	5	3	3	3	2	0	3	3	3	3	3	3	3	3	3	2
403	4T	1190	3	3	3	3	3	3	10	10	3	5	3	3	3	3	6	4	3	3	3	3	3	3	3	2	2
404	4T	792	3	3	3	3	3	3	3	3	3	3	3	3	3	3	3	6	3	3	3	3	0	3	3	3	2
405	4T	1478	3	3	3	3	3	3	3	2	4	4	4	3	3	3	2	9	3	3	3	3	3	3	3	3	2
406	4T	2579	5	3	3	3	3	3	3	5	3	5	3	4	5	3	5	6	4	4	4	4	3	3	3	4	3
407	4T	2336	5	3	3	3	3	3	3	3	2	3	3	3	3	5	3	5	3	3	3	3	0	3	3	2	4
408	4T	2734	4	5	5	3	2	3	3	2	5	5	4	3	3	3	2	11	4	4	4	4	3	3	4	3	4
409	4T	909	3	3	3	3	0	3	4	3	3	4	4	4	3	3	3	4	3	3	3	3	3	3	2	3	2
410	4T	1818	2	3	3	3	4	6	10	6	5	4	4	4	5	3	3	6	3	3	3	3	3	3	3	3	3
411	4T	1859	3	3	3	3	4	7	9	7	6	9	5	9	4	3	5	8	3	3	3	3	3	3	3	3	3
412	4T	1283	3	3	3	3	4	5	3	3	3	4	4	4	3	3	2	5	3	3	3	3	3	3	3	3	2
413	4T	731	3	4	3	3	0	3	3	4	3	4	4	4	3	3	1	5	3	3	3	3	3	3	3	2	2
414	4T	388	3	2	3	3	1	3	3	3	3	4	4	4	3	3	3	6	3	3	2	1	3	3	2	3	2
801	4R	1214	3	3	3	4	3	3	3	3	4	5	5	5	2	3	3	4	3	3	3	3	2	3	3	3	3
802	4R	1369	3	3	3	3	3	3	3	3	3	3	3	3	2	8	3	8	2	3	3	3	0	3	3	3	3
803	4S	6976	14	3	2	4	3	3	3	3	4	5	3	4	6	2	1	14	6	8	8	7	3	6	7	3	10
804	4S	2490	5	4	3	3	4	3	3	3	3	3	3	6	3	2	3	10	3	3	3	3	3	3	3	3	4
805	4S	5762	14	7	4	4	6	4	11	8	4	5	5	5	12	8	4	10	8	7	7	6	4	5	7	5	7
806	4S	2127	4	4	3	3	3	3	3	3	3	3	3	3	3	3	5	4	3	3	2	3	3	3	3	3	3
807	4S	2370	3	12	11	10	5	5	4	4	3	3	4	3	2	1	0	7	3	3	3	3	3	2	3	3	4
808	4S	2428	4	7	6	4	5	4	3	3	2	4	3	3	3	3	0	3	3	3	3	3	2	3	3	2	4
809	4R	1547	3	9	7	6	4	3	3	3	3	3	3	3	3	3	1	5	3	3	3	3	3	3	2	3	3
810	4R	765	3	4	5	4	3	3	3	3	4	4	4	4	6	5	3	8	3	3	4	3	0	3	2	2	3
811	4R	1506	3	4	4	4	5	3	8	6	3	3	3	3	3	3	3	7	3	3	2	2	2	2	3	2	2
812	4R	4648	7	9	8	11	4	3	3	3	3	3	3	3	3	3	4	5	5	4	5	4	5	3	5	3	8
813	4R	3958	6	6	5	9	3	4	6	5	7	4	6	8	2	5	3	9	5	3	5	3	4	4	6	3	6
814	4S	1029	3	4	4	4	3	0	3	3	3	3	3	3	3	3	3	3	3	3	3	3	3	3	3	3	2
815	4S	4407	9	15	11	8	5	4	3	3	8	9	9	2	6	3	3	14	5	5	6	5	5	3	6	4	6
816	4S	5032	9	11	9	9	6	6	17	17	20	21	21	1	6	4	4	11	7	7	7	6	4	4	3	6	6
817	4S	3646	7	18	11	7	9	10	9	5	11	17	13	14	8	5	2	7	5	5	4	5	3	3	4	4	5
818	4S	2774	4	7	5	4	3	3	3	4	4	4	4	5	7	5	1	6	4	4	2	4	3	4	3	3	4
819	4S	1441	3	7	9	5	4	5	3	2	3	3	4	1	1	3	0	8	2	3	3	2	3	3	3	3	2
820	4R	1358	3	3	3	3	3	3	7	5	6	5	5	3	2	3	3	14	3	3	3	3	0	2	3	3	3
821	4R	1272	3	3	3	3	2	3	3	2	3	3	3	3	3	3	3	7	3	3	3	2	4	3	3	3	3
822	4R	3245	6	4	3	2	3	3	6	4	10	8	10	9	3	3	3	8	4	4	4	3	4	2	4	2	5
823	4R	556	3	3	3	3	2	3	2	3	1	3	2	3	2	5	2	10	3	3	3	3	2	3	3	3	3
824	4R	837	3	1	3	1	3	3	3	3	3	2	3	2	3	2	3	6	3	3	3	3	2	3	3	2	2
827	4S	3231	0	1	1	1	3	3	0	2	3	1	3	0	2	2	3	6	4	4	3	3	3	2	3	2	2
828	4S	2435	4	1	2	2	3	3	3	3	3	1	0	1	0	3	1	3	3	3	3	2	2	2	2	2	2
829	4S	2692	3	2	3	3	3	3	3	0	3	3	2	0	2	1	0	8	4	4	3	2	3	2	2	3	2
830	4S	1917	3	3	4	3	3	3	2	2	3	3	3	2	1	1	0	6	3	3	3	3	3	3	2	3	2
831	4S	1204	3	0	2	3	3	3	3	2	3	4	3	3	1	3	3	4	3	3	3	3	3	3	3	2	2
832	4S	3962	4	12	11	7	7	9	8	5	3	3	3	3	2	3	4	8	4	5	5	3	4	3	6	4	4
833	4S	559	3	1	3	3	3	3	3	3	3	3	3	0	3	3	2	6	3	3	3	3	3	3	1	2	2
835	4R	2641	0	6	7	6	3	3	3	3	6	5	6	5	6	3	3	8	5	5	5	4	0	4	5	2	4
836	4R	3149	0	7	8	6	3	3	3	3	3	3	3	3	3	2	4	10	5	3	5	4	3	4	4	3	5
837	4R	2668	0	5	6	3	2	3	4	4	3	3	3	3	5	5	2	4	4	3	5	3	3	2	5	1	4
838	4R	3378	0	9	8	7	5	5	0	0	0	2	0	4	4	0	3	10	6	3	6	0	0	3	5	0	6
839	4S	4390	0	2	5	5	3	2	2	1	2	3	3	0	0	3	2	3	6	5	4	3	3	2	2	3	2
840	4R	765	0	3	3	1	1	0	0	0	0	0	0	2	0	0	0	5	3	0	3	0	0	1	3	0	2
841	4S	816	0	0	1	3	3	3	3	3	0	2	1	2	3	2	3	3	3	3	2	3	3	3	2	3	2
Total		116115	191	250	239	214	175	182	217	185	204	224	209	183	171	163	133	354	192	183	189	164	132	156	178	141	177
851	4T	456																			3	3	3	3	3	3	2
852	4T	427																			3	3	3	3	2	3	2
854	4T	83																			3	3	3	2	2	2	2
855	4T	465																			3	4	3	2	3	3	2

Annexe 2. Occurrences et prises totales, en poids et nombre, par taxon lors du relevé de 2014 (185 traits réussis).

Code STRAP*	Nom scientifique	Nom français	Nom anglais	Occurrence	Poids (kg)	Nombre
Vertébrés						
1		Vertébrés	Vertebrates	2	< 0,1	4
90	<i>Amblyraja radiata</i>	Raie épineuse	Thorny Skate	143	914,2	1755
696	<i>Ammodytes</i> sp.	Lançons	Sand Lances	39	3,6	1014
700	<i>Anarhichas lupus</i>	Loup atlantique	Atlantic Wolffish	37	157,1	628
701	<i>Anarhichas minor</i>	Loup tacheté	Spotted Wolffish	14	24,3	23
718	<i>Anisarchus medius</i>	Lompénie naine	Stout Eelblenny	6	0,3	40
320	<i>Arctozenus risso</i>	Lussion blanc	White Barracudina	116	26,5	1769
193	<i>Argentina silus</i>	Grande argentine	Atlantic Argentine	4	0,5	9
811	<i>Artediellus atlanticus</i>	Hameçon atlantique	Atlantic Hookear Sculpin	45	1,2	253
810	<i>Artediellus</i> sp.	Hameçons	Hookear Sculpins	9	0,2	71
812	<i>Artediellus uncinatus</i>	Hameçon neigeux	Arctic Hookear Sculpin	14	0,3	96
838	<i>Aspidophoroides monopterygius</i>	Poisson-alligator atlantique	Alligatorfish	46	0,8	282
102	<i>Bathyraja spinicauda</i>	Raie à queue épineuse	Spinytail Skate	5	37,6	9
451	<i>Boreogadus saida</i>	Saïda franc	Arctic Cod	24	3,8	264
865	<i>Careproctus reinhardti</i>	Petite limace de mer	Sea Tadpole	11	0,4	20
27	<i>Centroscyllium fabricii</i>	Aiguillat noir	Black Dogfish	23	1361,7	2857
227	<i>Chauliodus sloani</i>	Chauliode très lumineux	Sloane's Viperfish	1	< 0,1	1
150	<i>Clupea harengus</i>	Hareng atlantique	Atlantic Herring	92	116,5	670
808	Cottidae	Chaboisseaux	Sculpins	3	< 0,1	5
829	<i>Cottunculus microps</i>	Cotte polaire	Polar Sculpin	1	< 0,1	1
721	<i>Cryptacanthodes maculatus</i>	Terrassier tacheté	Wrymouth	5	4,5	6
849	<i>Cyclopterus lumpus</i>	Grosse poule de mer	Lumpfish	26	20,6	41
208	<i>Cyclothone microdon</i>	Cyclothone à petites dents	Small-Toothed Bristlemouth	10	< 0,1	10
461	<i>Enchelyopus cimbrius</i>	Motelle à quatre barbillons	Fourbeard Rockling	122	86,8	2177
711	<i>Eumesogrammus praeciusus</i>	Quatre-lignes atlantique	Fourline Snakeblenny	25	4,9	180
844	<i>Eumicrotremus spinosus</i>	Petite poule de mer atlantique	Atlantic Spiny Lump sucker	34	4,5	290
438	<i>Gadus morhua</i>	Morue franche	Atlantic Cod	129	6435	13648
439	<i>Gadus ogac</i>	Ogac, morue ogac	Greenland Cod	8	8,4	12
455	<i>Gaidropsarus argentatus</i>	Mustèle argentée	Silver Rockling	1	< 0,1	1
453	<i>Gaidropsarus</i> sp.	Mustèles	Threebeard Rocklings	1	< 0,1	1
426	<i>Gasterosteus aculeatus</i>	Épinoche à trois épines	Threespine Stickleback	10	0,1	35
890	<i>Glyptocephalus cynoglossus</i>	Plie grise	Witch Flounder	145	461,2	2745
205	Gonostomatidae	Cyclothones	Bristlemouths	1	< 0,1	1
746	<i>Gymnelus viridis</i>	Unernak caméléon	Fish Doctor	8	0,2	27

Code STRAP*	Nom scientifique	Nom français	Nom anglais	Occurrence	Poids (kg)	Nombre
823	<i>Gymnocanthus tricuspis</i>	Tricorne arctique	Arctic Staghorn Sculpin	18	8,4	106
797	<i>Helicolenus dactylopterus</i>	Chèvre impériale	Blackbelly Rosefish	1	0,5	3
809	<i>Hemitripterus americanus</i>	Hémitriptère atlantique	Sea Sculpin	8	5,8	11
889	<i>Hippoglossoides platessoides</i>	Plie canadienne	American Plaice	146	829,7	11188
893	<i>Hippoglossus hippoglossus</i>	Flétan atlantique	Atlantic Halibut	56	644,9	146
831	<i>Icelus bicornis</i>	Icèle à deux cornes	Twohorn Sculpin	2	< 0,1	2
830	<i>Icelus</i> sp.	Icèles	Spatulate and Twohorn Sculpin	1	< 0,1	3
832	<i>Icelus spatula</i>	Icèle spatulée	Spatulate Sculpin	13	0,3	61
285	<i>Lampadena speculigera</i>	Lanterne-miroir	Mirror Lanternfish	8	0,9	40
836	<i>Leptagonus decagonus</i>	Agone atlantique	Atlantic Poacher	22	12,2	599
717	<i>Leptoclinus maculatus</i>	Lompénie tachetée	Daubed Shanny	80	12	1884
891	<i>Limanda ferruginea</i>	Limande à queue jaune	Yellowtail Flounder	6	32,6	186
862	<i>Liparis gibbus</i>	Limace marbrée	Variiegated Snailfish	12	3	48
966	<i>Lophius americanus</i>	Baudroie d'Amérique	Monkfish, Goosefish	6	33,9	7
716	<i>Lumpenus lampretaeformis</i>	Lompénie-serpent	Snakeblenny	25	20,5	850
750	<i>Lycenchelys paxillus</i>	Lycode commune	Common Wolf Eel	2	< 0,1	2
752	<i>Lycenchelys verrillii</i>	Lycode à tête longue	Wolf Eelpout	9	< 0,1	13
727	<i>Lycodes esmarkii</i>	Lycode d'Esmark	Esmark's Eelpout	2	0,5	2
728	<i>Lycodes lavalaei</i>	Lycode du Labrador	Newfoundland Eelpout	23	16,2	108
733	<i>Lycodes polaris</i>	Lycode polaire	Canadian Eelpout	2	0,1	5
734	<i>Lycodes terraenovae</i>	Lycode atlantique	Atlantic Eelpout	7	0,3	9
730	<i>Lycodes vahlii</i>	Lycode à carreaux	Vahl's Eelpout	46	39,6	736
91	<i>Malacoraja senta</i>	Raie lisse	Smooth Skate	109	124	582
187	<i>Mallotus villosus</i>	Capelan	Capelin	99	166,9	11741
441	<i>Melanogrammus aeglefinus</i>	Aiglefin	Haddock	6	3,7	10
745	<i>Melanostigma atlanticum</i>	Molasse atlantique	Atlantic Soft Pout	63	6,2	1890
449	<i>Merluccius bilinearis</i>	Merlu argenté	Silver Hake	75	52,8	264
272	Myctophidae	Poissons-lanterne	Lanternfishes	21	0,7	197
271	Myctophiformes	Poissons des profondeurs	Deepwater Fishes	1	< 0,1	3
820	<i>Myoxocephalus octodecemspinosus</i>	Chaboisseau à dix-huit-épines	Longhorn Sculpin	3	21	71
819	<i>Myoxocephalus scorpius</i>	Chaboisseau à épines courtes	Shorthorn Sculpin	30	175	356
817	<i>Myoxocephalus</i> sp.	Chaboisseaux	Sculpins	3	< 0,1	5
12	<i>Myxine glutinosa</i>	Myxine du nord	Northern Hagfish	105	187,3	3487
278	<i>Neoscopelus macrolepidotus</i>	Lanterne à grandes écailles	Glowingfish	3	0,1	3
478	<i>Nezumia bairdii</i>	Grenadier du grand Banc	Common Grenadier	85	42,3	1149
874	<i>Paraliparis calidus</i>	Limace ardente	Lowfin Snailfish	8	0,1	9
856	<i>Paraliparis copei</i>	Limace à museau noir	Blacksnout Seasnail	4	0,2	18
444	<i>Phycis chesteri</i>	Merluce à longues nageoires	Longfin Hake	36	34	265

Code STRAP*	Nom scientifique	Nom français	Nom anglais	Occurrence	Poids (kg)	Nombre
895	<i>Pseudopleuronectes americanus</i>	Plie rouge	Winter Flounder	1	0,1	1
892	<i>Reinhardtius hippoglossoides</i>	Flétan du Groenland, turbot	Greenland Halibut, Turbot	140	4249,7	20583
572	<i>Scomber scombrus</i>	Maquereau bleu	Atlantic Mackerel	16	0,5	28
796	<i>Sebastes fasciatus</i>	Sébaste acadien	Acadian Redfish	167	6821,6	230785
794	<i>Sebastes mentella</i>	Sébaste atlantique	Deepwater Redfish	165	5254	106136
793	<i>Sebastes norvegicus</i>	Sébaste orangé	Golden Redfish	1	1,6	1
710	<i>Stichaeus punctatus</i>	Stichée arctique	Arctic Shanny	1	< 0,1	1
814	<i>Triglops murrayi</i>	Faux-trigle armé	Moustache Sculpin	42	16,1	1458
815	<i>Triglops nybelini</i>	Faux-trigle à grands yeux	Bigeye Sculpin	2	< 0,1	2
837	<i>Ulcina olrikii</i>	Poisson-alligator arctique	Arctic Alligatorfish	4	0,1	29
447	<i>Urophycis tenuis</i>	Merluche blanche	White Hake	86	328,6	659
725	Zoarcidae	Lycodes, Loquettes, Molasses	Eelpouts, Pouts, Wolf Eels	2	< 0,1	2
Total		Vertébrés	Vertebrates		28 823	424 689
Invertébrés						
1100		Invertébrés	Invertebrates	8	< 0,1	24
2182	<i>Actinauge cristata</i>	Anémone de mer	Anemone	40	15,3	1128
2165	Actiniaria	Actinies et Anémones	Sea Anemones	5	< 0,1	14
2162	<i>Actinostola callosa</i>	Anémones de mer	Anemone	60	245,2	1924
6771	<i>Aega psora</i>	Isopode	Isopod	15	< 0,1	22
2675	<i>Alcyonidium</i> sp.	Bryozoaire	Bryozoan	5	0,2	15
3164	<i>Amicula vestita</i>	Chiton	Chiton	2	< 0,1	2
6930	Amphipoda	Amphipodes	Amphipods	8	< 0,1	44
8593	<i>Amphiura</i> sp.	Ophiures	Brittle Star	5	< 0,1	20
4219	<i>Anomia</i> sp.	Pétoncle	Jingle Shells	1	< 0,1	1
7389	<i>Anonyx</i> sp.	Gammarides	Gammarids	14	< 0,1	20
2218	<i>Anthoptilum grandiflorum</i>	Plume de mer	Sea pen	52	43,3	2757
5002	<i>Aphroditella hastata</i>	Polychète errante	Sea Mouse	6	0,4	10
6594	<i>Arcoscalpellum michelottianum</i>	Balane	Barnacle	2	0,1	5
8138	<i>Argis dentata</i>	Crevette verte	Arctic Argid	36	18	3733
3418	<i>Arrhoges occidentalis</i>	Pied-de-pélican	American Pelicanfoot	17	0,6	68
8680	Ascidacea	Ascidies, tuniqués sessiles	Ascidians, Sessile Tunicates	82	2,7	587
4227	<i>Astarte</i> sp.	Astartes	Astartes	37	0,2	102
8390	Asteroidea	Étoiles de mer	Sea Stars	1	< 0,1	1
8113	<i>Atlantopandalus propinquus</i>	Crevette	Shrimp	16	0,3	83
2097	<i>Atolla wyvillei</i>	Méduse	Jellyfish	3	0,5	9
2085	<i>Aurelia aurita</i>	Méduse de lune	Moon Jelly	59	109,4	872

Code STRAP*	Nom scientifique	Nom français	Nom anglais	Occurrence	Poids (kg)	Nombre
6595	Balanidae	Balanes	Barnacles	9	0,4	61
4904	<i>Bathypolypus bairdii</i>	Poulpe	North Atlantic Octopus	37	1,2	52
3995	Bivalvia	Bivalves	Bivalves	8	< 0,1	26
2158	<i>Bolocera tuediae</i>	Anémone de mer	Anemone	75	54,1	661
8793	<i>Boltenia echinata</i>	Cactus de mer	Cactus Sea Squirt	4	0	16
8792	<i>Boltenia ovifera</i>	Patate de mer	Sea Potato	28	8,6	121
3487	<i>Boreotrophon clathratus</i>	Murex	Clathrate Trophon	3	< 0,1	6
3488	<i>Boreotrophon</i> sp.	Murex	Murex	6	< 0,1	25
8798	<i>Botrylloides</i> sp.	Ascidie	Tunicate	1	< 0,1	
5755	<i>Brada inhabilis</i>	Polychète	Flabelligerid Worm	1	< 0,1	2
8378	<i>Brisaster fragilis</i>	Oursin coeur	Heart Urchin	79	126,9	15182
2670	Bryozoa	Bryozoaires	Bryozoans	29	1,1	924
3515	Buccinidae	Buccinidés	Whelks	1	< 0,1	1
3523	<i>Buccinum scalariforme</i>	Buccin	Ladder Whelk	4	< 0,1	4
3516	<i>Buccinum</i> sp.	Buccins	Whelk	20	0,9	63
3517	<i>Buccinum undatum</i>	Buccin commun	Waved Whelk	6	0,1	9
8429	<i>Ceramaster granularis</i>	Étoile de mer	Sea Star	18	0,8	33
8213	<i>Chionoecetes opilio</i>	Crabe des neiges	Snow Crab	108	193,9	1130
6593	<i>Chirona hameri</i>	Balane turbané	Turban Barnacle	3	0,1	4
4167	<i>Chlamys islandica</i>	Pétoncle d'Islande	Iceland Scallop	17	1,4	40
4351	<i>Ciliatocardium ciliatum ciliatum</i>	Coque d'Islande	Iceland Cockle	5	0,7	36
3908	<i>Colga villosa</i>	Nudibranche	Nudibranch	14	< 0,1	35
3575	<i>Colus</i> sp.	Buccins	Whelks	1	< 0,1	1
3576	<i>Colus stimpsoni</i>	Buccin	Whelk	3	0,1	3
4124	<i>Crenella faba</i>	Crénella fauve	Bean Crenella	2	< 0,1	2
8447	<i>Crossaster papposus</i>	Soleil de mer épineux	Spiny Sun Star	33	3,4	306
3422	<i>Cryptonatica affinis</i>	Lunaties	Arctic moonsnail	1	< 0,1	1
8407	<i>Ctenodiscus crispatus</i>	Étoile de mer	Mud Star	105	97,6	14725
8312	<i>Cucumaria frondosa</i>	Concombre de mer	Orange Footed Sea Cucumber	5	2,1	8
4525	<i>Cuspidaria</i> sp.	Myes	Dipperclams	32	0,1	73
2080	<i>Cyanea capillata</i>	Crinière de lion	Lion's Mane	62	23,6	122
4268	<i>Cyclocardia borealis</i>	Vénéricarde boréale	Northern Cyclocardia	3	< 0,1	5
3893	<i>Dendronotus</i> sp.	Nudibranche	Nudibranch	6	< 0,1	8
8408	<i>Diplopteraster multipes</i>	Étoile de mer	Sea Star	1	0,3	1
3965	<i>Doridoxa ingolfiana</i>	Nudibranche	Nudibranch	1	< 0,1	5
2191	<i>Drifa glomerata</i>	Corail mou	Soft Coral	26	0,4	84
2183	<i>Duva florida</i>	Corail mou	Sea Cauliflower	4	0,1	8
8373	<i>Echinarachnius parma</i>	Dollar de sable	Common Sand Dollar	4	1,6	129

Code STRAP*	Nom scientifique	Nom français	Nom anglais	Occurrence	Poids (kg)	Nombre
5930	<i>Echiura</i>	Échiure	Echiurid	2	< 0,1	3
7383	<i>Epimeria loricata</i>	Gammaride	Gammarid	9	< 0,1	16
2156	<i>Epizoanthus erdmanni</i>	Zoanthide	Zoanthid	1	< 0,1	2
2157	<i>Epizoanthus</i> sp.	Anémone de mer	Sea Anemone	41	0,1	638
8075	<i>Eualus fabricii</i>	Bouc Arctique	Arctic Eualid	19	0,4	609
8081	<i>Eualus gaimardii belcheri</i>	Bouc	Circumpolar Eualid	1	< 0,1	6
8080	<i>Eualus gaimardii gaimardii</i>	Bouc	Circumpolar Eualid	12	0,1	166
8077	<i>Eualus macilentus</i>	Bouc du Groenland	Greenland Shrimp	20	8,1	7443
8778	<i>Eudistoma vitreum</i>	Ascidie	Tunicate	20	0,3	158
5461	<i>Euphrosine borealis</i>	Polychète	Seaworm	3	< 0,1	3
7195	<i>Eusirus cuspidatus</i>	Gammaride	Gammarid	15	< 0,1	60
2295	Fecampiidae	Vers plats	Flatworms	4	< 0,1	8
2224	<i>Flabellum alabastrum</i>	Madrépore	Cup Coral	6	0,1	8
3175	Gastropoda	Gastéropodes	Gastropods	9	< 0,1	19
2184	<i>Gersemia rubiformis</i>	Corail mou	Sea Strawberry	35	0,5	270
8541	<i>Gorgonocephalus arcticus</i>	Gorgonocéphale	Northern Basket Star	1	5,1	18
8540	<i>Gorgonocephalus</i> sp.	Gorgonocéphales	Basket Stars	27	48,9	339
2217	<i>Halipteris finmarchica</i>	Plume de mer	Sea Pen	19	3,6	242
8797	<i>Halocynthia pyriformis</i>	Pêche de mer	Sea Peach	1	< 0,1	1
8263	<i>Heliometra glacialis</i>	Lis de mer	Feather Star	1	< 0,1	2
3090	<i>Hemithiris psittacea</i>	Brachiopode	Lamp Shell	10	0,4	196
8483	<i>Henricia</i> sp.	Étoiles de mer	Sea Stars	59	0,6	267
4437	<i>Hiatella arctica</i>	Saxicave arctique	Arctic Saxicave	3	< 0,1	6
8431	<i>Hippasteria phrygiana</i>	Étoile de mer	Sea Star	34	14,9	52
8290	Holothuroidea	Cocombres de mer	Sea Cucumbers	2	0,2	12
2167	<i>Hormathia nodosa</i>	Anémone noduleuse	Rugose Anemone	10	0,8	28
8217	<i>Hyas araneus</i>	Crabe lyre	Atlantic Lyre Crab	20	4,5	330
8218	<i>Hyas coarctatus</i>	Crabe lyre	Arctic Lyre Crab	55	7,9	718
1341	Hydrozoa	Hydrozoaires	Hydrozoans	61	0,4	
6977	<i>Hyperia galba</i>	Hypéride	Hyperiid	8	< 0,1	28
4753	<i>Illex illecebrosus</i>	Encornet rouge nordique	Northern Shortfin Squid	28	9,3	69
5003	<i>Laetmonice filicornis</i>	Polychète	Seaworm	4	< 0,1	10
8092	<i>Lebbeus groenlandicus</i>	Bouc	Spiny Lebbeid	16	7,5	2415
8095	<i>Lebbeus microceros</i>	Bouc	Shrimp	6	< 0,1	8
8093	<i>Lebbeus polaris</i>	Bouc	Polar Lebbeid	56	2,1	1600
8511	<i>Leptasterias polaris</i>	Étoile de mer polaire	Polar Sea Star	8	5,1	63
8510	<i>Leptasterias</i> sp.	Étoiles de mer	Sea Stars	15	0,1	36
8521	<i>Leptychaster arcticus</i>	Stelléridé	Sea Star	5	< 0,1	10

Code STRAP*	Nom scientifique	Nom français	Nom anglais	Occurrence	Poids (kg)	Nombre
3459	<i>Limneria undata</i>	Veloutée rayée	Wavy Lamellaria	5	< 0,1	6
2207	<i>Liponema multicornis</i>	Anémone	Sea Anemone	10	1,4	28
8196	<i>Lithodes maja</i>	Crabe épineux du Nord	Norway King Crab	53	50	124
3437	<i>Lunatia pallida</i>	Lunatie	Pale Moonshell	7	< 0,1	7
4395	<i>Macoma calcarea</i>	Bivalve	Chalky Macoma	9	0,1	22
7279	<i>Maera loveni</i>	Gammaride	Gammarid	1	< 0,1	1
3219	<i>Margarites costalis</i>	Margarite rosé du Nord	Boreal Rosy Margarite	13	< 0,1	33
3216	<i>Margarites groenlandicus</i>	Troque	Greenland Marguerite	3	< 0,1	7
3212	<i>Margarites</i> sp.	Patelle	Topsnail	3	< 0,1	3
4025	<i>Megayoldia thraciaeformis</i>	Bivalve	Broad Yoldia	17	0,8	127
5646	<i>Melinna cristata</i>	Polychète	Seaworm	1	< 0,1	1
7268	<i>Melita dentata</i>	Gammaride	Gammarid	1	< 0,1	1
8164	<i>Munidopsis curvirostra</i>	Munidopsis curvirostra	Squat Lobster	25	0,3	273
4127	<i>Musculus niger</i>	Moule noire	Black Mussel	1	< 0,1	1
4126	<i>Musculus</i> sp.	Moules	Mussels	2	< 0,1	2
4428	<i>Mya truncata</i>	Mye tronquée	Truncate Softshell Clam	1	< 0,1	5
4121	<i>Mytilus</i> sp.	Moules	Mussels	14	0,4	62
3420	Naticidae	Lunaties	Moonshells	2	< 0,1	2
7483	<i>Neohela monstrosa</i>	Gammaride	Gammarid	7	< 0,1	12
2219	Nephtheidae	Coraux mous	Soft Corals	8	0,1	41
5113	<i>Nephtys</i> sp.	Polychète errante	Red-Lined Worm	1	< 0,1	8
3566	<i>Neptunea decemcostata</i>	Neptunée à dix côtes	Wrinkle Whelk	2	0,1	2
3567	<i>Neptunea despecta</i>	Neptunée commune du nord	Lader Whelk	1	0,1	1
3565	<i>Neptunea</i> sp.	Buccins	Whelks	1	< 0,1	1
5236	<i>Nereis pelagica</i>	Polychète	Clam Worm	1	< 0,1	1
3483	<i>Nucella lapillus</i>	Pourpre de l'Atlantique	Atlantic Dogwinkle	1	< 0,1	1
4019	<i>Nuculana</i> sp.	Bivalves	Nutclams	8	0,1	86
3850	Nudibranchia	Nudibranches	Nudibranchs	3	< 0,1	4
5961	<i>Nymphon</i> sp.	Araignées de mer	Sea Spiders	10	0,1	244
8575	<i>Ophiacantha bidentata</i>	Ophiure épineuse	Brittle Star	38	1	2881
8583	<i>Ophiopholis aculeata</i>	Ophiure paquerette	Daisy Brittle Star	61	4,6	3035
8585	<i>Ophioscolex glacialis</i>	Ophiure	Brittle Star	6	< 0,1	30
8552	<i>Ophiura robusta</i>	Ophiure	Brittle Star	8	< 0,1	22
8553	<i>Ophiura sarsii</i>	Ophiure	Brittle Star	40	14,1	10044
8530	Ophiuroidea	Ophiures	Brittle Stars	9	0,1	195
8178	<i>Pagurus</i> sp.	Bernards hermites droitiers	Hermits Crabs	22	1,1	40
8111	<i>Pandalus borealis</i>	Crevette nordique	Northern Shrimp	152	5184,6	860206
8112	<i>Pandalus montagui</i>	Crevette ésope	Striped Pink Shrimp	97	224	84329

Code STRAP*	Nom scientifique	Nom français	Nom anglais	Occurrence	Poids (kg)	Nombre
4438	<i>Panomya norvegica</i>	Saxicave	Arctic Roughmya	1	0,1	
7586	<i>Paramphithoe hystrix</i>	Gammaride	Gammarid	9	< 0,1	20
8057	<i>Pasiphaea multidentata</i>	Sivade rose, Crevette blanche	Pink Glass Shrimp	99	119,7	41283
2203	<i>Pennatula aculeata</i>	Plume de mer	Sea Pen	80	0,9	448
2210	<i>Pennatula grandis</i>	Plume de mer	Sea Pen	33	36,8	705
2096	<i>Periphylla periphylla</i>	Méduse à couronne	Crown Jellyfish	58	142	150
5907	<i>Phascolion strombus strombus</i>	Sipunculide	Hermit Sipunculid	3	< 0,1	3
2255	<i>Pleurobrachia pileus</i>	Groseille de mer ronde	Sea Gooseberry	36	0,5	460
3578	<i>Plicifusus kroeyeri</i>	Colus	Arctic Whelk	2	< 0,1	2
4950	Polychaeta	Polychètes	Polychaetes	99	0,5	612
1109	<i>Polymastia</i> sp.	Éponge	Sponge	1	< 0,1	4
5264	<i>Polyphysia crassa</i>	Polychète	Sea Worm	3	< 0,1	10
3125	Polyplacophora	Chitons	Chitons	1	< 0,1	1
8135	<i>Pontophilus norvegicus</i>	Crevette	Norwegian Shrimp	77	3,8	2182
8435	<i>Poraniomorpha</i> sp.	Étoile de mer	Sea Star	1	< 0,1	1
1101	Porifera	Éponges	Sponges	123	436,8	
8433	<i>Pseudarchaster parellii</i>	Étoile de mer	Sea Star	3	0,1	3
8520	<i>Psilaster andromeda</i>	Étoile de mer	Sea Star	10	1,7	339
8294	<i>Psolus phantapus</i>	Holothurie	Sea Cucumber	6	< 0,1	10
8410	<i>Pteraster militaris</i>	Étoile de mer	Sea Star	15	0,5	50
8412	<i>Pteraster obscurus</i>	Étoile de mer	Sea Star	2	0,1	5
8411	<i>Pteraster pulvillus</i>	Étoile de mer	Sea Star	14	0,2	108
1353	<i>Ptychogena lactea</i>	Méduse	Jellyfish	83	5,5	1029
5951	Pycnogonida	Araignées de mer	Sea Spiders	7	< 0,1	12
7211	<i>Rhachotropis aculeata</i>	Gammaride	Gammarid	19	0,1	168
4557	<i>Rossia</i> sp.	Sépioles	Bobtails	43	0,7	69
8129	<i>Sabinea sarsii</i>	Crevette	Sars Shrimp	18	0,7	312
8128	<i>Sabinea septemcarinata</i>	Crevette	Sevenline Shrimp	28	1	639
8127	<i>Sabinea</i> sp.	Crevette	Shrimp	1	< 0,1	
3491	<i>Scabrotrophon fabricii</i>	Murex	Murex	2	< 0,1	4
3715	<i>Scaphander punctostriatus</i>	Céphalaspide	Giant Canoe Bubble	25	0,2	171
3975	Scaphopoda	Scaphopodes	Tuskshells	1	< 0,1	93
8119	<i>Sclerocrangon boreas</i>	Crevette de roche	Scultured Shrimp	14	22,9	2970
2040	Scyphozoa	Scyphozoaires	Scyphozoans	63	28,4	493
2679	<i>Securiflustra securifrons</i>	Bryozoaires marins	Marine Bryozoans	14	< 0,1	29
8033	<i>Sergestes arcticus</i>	Crevette	Shrimp	13	< 0,1	40
4352	<i>Serripes groenlandicus</i>	Coque du Groenland	Greenland Smoothcockle	2	< 0,1	2
4191	<i>Similipecten greenlandicus</i>	Pétoncle	Greenland Glass-Scallop	3	< 0,1	9

Code STRAP*	Nom scientifique	Nom français	Nom anglais	Occurrence	Poids (kg)	Nombre
5900	<i>Sipuncula</i>	Sipunculides	Sipunculids	13	< 0,1	36
8445	<i>Solaster endeca</i>	Soleil de mer pourpre	Purple Sunstar	4	0,2	5
8087	<i>Spirontocaris lilljeborgii</i>	Bouc épineux	Friendly Blade Shrimp	36	0,3	277
8086	<i>Spirontocaris phippisii</i>	Bouc	Punctate Blade Shrimp	3	< 0,1	10
8084	<i>Spirontocaris</i> sp.	Boucs	Blade Shrimps	4	< 0,1	
8085	<i>Spirontocaris spinus</i>	Bouc perroquet	Parrot Shrimp	29	1,3	788
1352	<i>Staurophora mertensii</i>	Méduse à croix blanche	Whitecross Jellyfish	8	0,4	18
7750	<i>Stegocephalus inflatus</i>	Gammaride	Gammarid	32	0,1	185
8515	<i>Stephanasterias albula</i>	Étoile de mer	Sea Star	9	< 0,1	15
2159	<i>Stephanauge nexilis</i>	Anémone de mer	Sea Anemone	13	0,5	52
2173	<i>Stomphia coccinea</i>	Anémone marbrée	Anemone	31	0,6	136
8363	<i>Strongylocentrotus</i> sp.	Oursins	Sea Urchins	59	33,6	2153
1112	<i>Stylocordyla borealis</i>	Éponge	Sponge	28	< 0,1	164
6791	<i>Syscenus infelix</i>	Isopode	Isopod	43	0,2	110
1108	<i>Tentorium semisuberites</i>	Éponge	Sponge	1	< 0,1	13
3101	<i>Terebratulina septentrionalis</i>	Térébratule du Nord	Northern Lamp Shell	12	< 0,1	25
4498	<i>Teredo navalis</i>	Taret commun	Naval Shipworm	2	< 0,1	21
6972	<i>Themisto libellula</i>	Hypéride	Hyperiid	32	< 0,1	287
1357	<i>Thuiaria thuja</i>	Hydrozoaire	Bottlebrush Hydroid	17	0,1	132
3134	<i>Tonicella</i> sp.	Chitons	Chitons	3	< 0,1	3
2176	<i>Urticina felina</i>	Anémone de mer	Sea Anemone	1	0,1	3
7691	<i>Wimvadocus torelli</i>	Gammaride	Gammarid	2	< 0,1	2
4074	<i>Yoldia</i> sp.	Bivalves	Bivalves	2	< 0,1	18
Total		Invertébrés	Invertebrates		7 400	1 079 989
Autres						
9995		Déchets	Trash	185	110,3	
9970		Capsule de raie	Skate Egg	25	0,9	66

*: Code STRAP basé en partie sur les travaux d'Akenhead et LeGrow (1981) pour les vertébrés et de Lilly (1982) pour les invertébrés, ainsi que des travaux sur la prédation des organismes marins par la région du Québec.

Annexe 3. Nombre de spécimens mesurés et pesés et statistiques descriptives de la longueur en 2014.

Code STRAP	Nom scientifique	Nombre mesuré		Longueur (cm)				
		Longueur	Poids	Min	P1	Médiane	P99	Max
Vertébrés								
1		4	4	3,3	3,3	3,45	4,2	4,2
90	<i>Amblyraja radiata</i>	1271	1112	8,4	11,1	26,9	66	77
696	<i>Ammodytes</i> sp.	222	164	5,3	5,7	8,95	21,9	22,1
700	<i>Anarhichas lupus</i>	532	354	6,5	7	16,3	72,3	76
701	<i>Anarhichas minor</i>	23	22	9	9	23	89,5	89,5
718	<i>Anisarchus medius</i>	40	29	8,4	8,4	13,2	15,5	15,5
320	<i>Arctozenus risso</i>	1457	1136	12,5	17,8	23	27,5	28,2
193	<i>Argentina silus</i>	9	9	11,2	11,2	16,6	29,7	29,7
811	<i>Artediellus atlanticus</i>	253	235	3,6	3,6	6,6	13,1	13,8
810	<i>Artediellus</i> sp.	65	50	3,1	3,1	6,1	8,6	8,6
812	<i>Artediellus uncinatus</i>	81	66	4,4	4,4	6,4	10,5	10,5
838	<i>Aspidophoroides monopterygius</i>	273	244	3,6	6,2	12	15,9	16,6
102	<i>Bathyraja spinicauda</i>	9	9	12,1	12,1	57,5	145,1	145,1
451	<i>Boreogadus saida</i>	264	175	8,2	8,3	11,8	20,5	22,5
865	<i>Careproctus reinhardtii</i>	20	20	6,6	6,6	9,45	15,5	15,5
27	<i>Centroscyllium fabricii</i>	520	317	13,4	15,1	50	69,5	71
227	<i>Chauliodus sloani</i>	1	1	13,2	13,2	13,2	13,2	13,2
150	<i>Clupea harengus</i>	651	558	14,7	16,8	28,6	37	38
808	Cottidae	5	5	2,7	2,7	3,4	4	4
829	<i>Cottunculus microps</i>	1	1	4,5	4,5	4,5	4,5	4,5
721	<i>Cryptacanthodes maculatus</i>	6	4	56	56	79,5	87,5	87,5
849	<i>Cyclopterus lumpus</i>	37	35	3,8	3,8	14,7	37,2	37,2
208	<i>Cyclothone microdon</i>	7	7	5,2	5,2	5,9	7,5	7,5
461	<i>Enchelyopus cimbrius</i>	1223	809	4,7	6,1	20,4	28,3	30,5
711	<i>Eumesogrammus praecisus</i>	157	126	5,4	8,8	15	21	22,4
844	<i>Eumicrotremus spinosus</i>	256	196	2	2,6	5,05	12,3	13
438	<i>Gadus morhua</i>	5226	2574	10,2	14,5	34,9	63,1	92
439	<i>Gadus ogac</i>	12	12	19,4	19,4	39,75	45,8	45,8
455	<i>Gaidropsarus argentatus</i>	1	1	6,1	6,1	6,1	6,1	6,1
453	<i>Gaidropsarus</i> sp.	1	1	5,5	5,5	5,5	5,5	5,5
426	<i>Gasterosteus aculeatus</i>	35	34	3,1	3,1	6,6	7,5	7,5
890	<i>Glyptocephalus cynoglossus</i>	2620	1847	6,2	11,1	29,4	42,7	47,9
746	<i>Gymnelus viridis</i>	27	27	5,5	5,5	12	17,4	17,4
823	<i>Gymnocanthus tricuspis</i>	94	75	9,5	9,5	17,15	27,1	27,1
797	<i>Helicolenus dactylopterus</i>	3	3	21,9	21,9	22,2	23	23
809	<i>Hemitripteris americanus</i>	11	11	5,1	5,1	31	42,5	42,5
889	<i>Hippoglossoides platessoides</i>	5603	2757	4,5	7,2	20	43,4	59,4
893	<i>Hippoglossus hippoglossus</i>	146	145	22,9	29,1	60,1	149,5	155,4
831	<i>Icelus bicornis</i>	2	2	4	4	5,55	7,1	7,1
830	<i>Icelus</i> sp.	3	3	4,3	4,3	4,5	5,7	5,7
832	<i>Icelus spatula</i>	61	61	4,1	4,1	7,1	13,7	13,7
285	<i>Lampadena speculigera</i>	40	33	9,7	9,7	14,5	15,7	15,7
836	<i>Leptagonus decagonus</i>	258	159	3,9	4,1	17,8	22	23
717	<i>Leptoclinus maculatus</i>	809	541	8,2	8,6	11	18	18,9
891	<i>Limanda ferruginea</i>	114	44	16,2	16,7	26,1	36	37,4
862	<i>Liparis gibbus</i>	48	48	3,1	3,1	10,35	25,4	25,4
966	<i>Lophius americanus</i>	7	7	46,8	46,8	58,5	84,5	84,5
716	<i>Lumpenus lampretaeformis</i>	318	222	9,6	12,5	29,6	42	46,5
750	<i>Lycenchelys paxillus</i>	2	2	18,3	18,3	19,55	20,8	20,8
752	<i>Lycenchelys verrillii</i>	13	13	9,6	9,6	12,1	14,1	14,1
727	<i>Lycodes esmarkii</i>	2	2	38,3	38,3	38,75	39,2	39,2
728	<i>Lycodes lavalaei</i>	108	108	7,1	8,9	21,15	54,3	57,5
733	<i>Lycodes polaris</i>	5	5	10	10	18,1	21,5	21,5
734	<i>Lycodes terraenovae</i>	9	9	13,2	13,2	18,2	26	26
730	<i>Lycodes vahlii</i>	429	293	7,8	8,6	23,1	37,7	40,3
91	<i>Malacoraja senta</i>	569	468	8,8	9	14,9	59,2	61,6

Code STRAP	Nom scientifique	Nombre mesuré		Longueur (cm)				
		Longueur	Poids	Min	P1**	Médiane	P99**	Max
187	<i>Mallotus villosus</i>	1532	950	5,3	6,8	14,9	18	19,5
441	<i>Melanogrammus aeglefinus</i>	10	10	19,5	19,5	33,45	42,8	42,8
745	<i>Melanostigma atlanticum</i>	801	517	4,9	6,9	11	13,6	16,2
449	<i>Merluccius bilinearis</i>	264	255	16,5	18,9	29,2	35,7	37,4
272	Myctophidae	63	60	4,4	4,4	5,6	15,6	15,6
271	Myctophiformes	3	3	8,7	8,7	8,9	10	10
820	<i>Myoxocephalus octodecemspinosus</i>	39	24	8,9	8,9	29,6	39,7	39,7
819	<i>Myoxocephalus scorpius</i>	217	160	12,5	14,1	29,5	42,1	48,5
817	<i>Myoxocephalus</i> sp.	5	5	3,1	3,1	4	8,6	8,6
12	<i>Myxine glutinosa</i>	1620	1087	14,3	23	36,15	47,1	53,2
278	<i>Neoscopelus macrolepidotus</i>	3	3	9,1	9,1	10,5	18	18
478	<i>Nezumia bairdii</i>	978	719	5,6	8,5	21,8	32	34,8
874	<i>Paraliparis calidus</i>	9	9	5,6	5,6	11,5	12	12
856	<i>Paraliparis copei</i>	18	18	7,1	7,1	10,1	14,7	14,7
444	<i>Phycis chesteri</i>	263	232	13,2	14,8	25,1	38	38,4
895	<i>Pseudopleuronectes americanus</i>	1	1	22,1	22,1	22,1	22,1	22,1
892	<i>Reinhardtius hippoglossoides</i>	7654	3848	6	14,1	26,6	51,8	76,5
572	<i>Scomber scombrus</i>	27	27	4,7	4,7	12,5	19,5	19,5
793	<i>Sebastes norvegicus</i>	1	1	44,7	44,7	44,7	44,7	44,7
792	<i>Sebastes</i> sp.	12910	7068	2,7	4,7	14,5	43,2	52,4
710	<i>Stichaeus punctatus</i>	1	1	9,1	9,1	9,1	9,1	9,1
814	<i>Triglops murrayi</i>	578	359	3,3	6,9	11,5	15,5	17,8
815	<i>Triglops nybelini</i>	2	2	11,2	11,2	12	12,8	12,8
837	<i>Ulcina olrikii</i>	29	29	6	6	8	9,2	9,2
447	<i>Urophycis tenuis</i>	628	540	23,1	25,7	37,95	65,2	77,7
725	Zoarcidae	2	2	7,7	7,7	9,45	11,2	11,2
Invertébrés								
2218	<i>Anthoptilum grandiflorum</i>	69	0	40,5	40,5	58,0	72,0	72,0
8138	<i>Argis dentata</i>	811	0	0,6	0,7	1,5	2,4	2,5
8113	<i>Atlantopandalus propinquus</i>	33	0	1,2	1,2	1,7	2,4	2,4
8213	<i>Chionoecetes opilio</i>	757	325	0,5	0,5	5,1	12,3	13,0
8075	<i>Eualus fabricii</i>	178	0	0,5	0,5	0,8	1,1	1,2
8081	<i>Eualus gaimardii belcheri</i>	6	0	0,7	0,7	0,9	1,5	1,5
8080	<i>Eualus gaimardii gaimardii</i>	52	0	0,5	0,5	0,8	1,3	1,3
8077	<i>Eualus macilentus</i>	380	0	0,6	0,7	1,0	1,3	1,4
2217	<i>Halipteris finmarchica</i>	30	0	23,0	23,0	67,1	95,4	95,4
8217	<i>Hyas araneus</i>	249	124	0,4	0,5	1,2	7,2	7,3
8218	<i>Hyas coarctatus</i>	561	307	0,4	0,5	1,5	6,6	8,0
4753	<i>Illex illecebrosus</i>	69	55	10,1	10,1	18,5	22,0	22,0
8092	<i>Lebbeus groenlandicus</i>	259	0	0,5	0,6	1,2	2,3	2,4
8095	<i>Lebbeus microceros</i>	5	0	0,7	0,7	1,1	1,2	1,2
8093	<i>Lebbeus polaris</i>	504	0	0,5	0,6	1,0	1,3	1,4
8196	<i>Lithodes maja</i>	123	91	0,7	4,3	8,3	12,3	12,4
8111	<i>Pandalus borealis</i>	27168	932	0,6	0,9	2,3	2,8	3,1
8112	<i>Pandalus montagui</i>	3016	0	0,6	0,7	1,4	2,1	2,3
8057	<i>Pasiphaea multidentata</i>	2765	0	0,9	1,4	2,4	3,0	3,3
2203	<i>Pennatula aculeata</i>	69	0	4,5	4,5	11,2	25,0	25,0
2210	<i>Pennatula grandis</i>	74	0	0,1	0,1	44,6	55,1	55,1
8135	<i>Pontophilus norvegicus</i>	838	0	0,6	0,6	1,2	1,7	1,8
8129	<i>Sabinea sarsii</i>	138	0	0,5	0,5	1,2	1,5	1,8
8128	<i>Sabinea septemcarinata</i>	377	0	0,5	0,5	1,1	1,6	1,7
8119	<i>Sclerocrangon boreas</i>	442	0	0,6	0,9	1,5	2,7	3,0
8033	<i>Sergestes arcticus</i>	27	0	1,2	1,2	1,6	1,9	1,9
8087	<i>Spirontocaris lilljeborgii</i>	86	0	0,6	0,6	1,1	1,4	1,4
8086	<i>Spirontocaris phippisii</i>	6	0	0,6	0,6	0,7	0,8	0,8
8085	<i>Spirontocaris spinus</i>	339	0	0,4	0,5	0,9	1,5	1,7

* Code STRAP basé en partie sur les travaux d'Akenhead et LeGrow (1981) pour les vertébrés et de Lilly (1982) pour les invertébrés, ainsi que des travaux sur la prédation des organismes marins par la région du Québec.

** P1 : 1^{er} centile P99 : 99^e centile

Annexe 4. Positions et profondeur des traits de pêche réussis, et captures standardisées (0.75 mn) en nombre et en poids pour la morue, le flétan du Groenland, le sébaste, la crevette nordique, le flétan atlantique, le hareng et le capelan lors du relevé de 2014.

Trait	Strate	Latitude Deg-Min	Longitude Deg-Min	Profondeur (m)	Morue		Flétan du Groenland		Sébaste		Crevette nordique		Flétan atlantique		Hareng		Capelan	
					n	kg	n	kg	n	kg	n	kg	n	kg	n	kg	n	kg
1	406	48° 58'	63° 33'	390	12,0	4,9	62,0	20,3	200	42,3	623	5,4	0,0	0,0	0,0	0,0	6,0	0,1
2	807	48° 55'	62° 38'	311	2,0	0,5	8,0	1,5	159	37,0	993	7,2	0,0	0,0	0,0	0,0	0,0	0,0
3	804	48° 45'	62° 22'	378	0,0	0,0	20,0	11,7	120	61,6	1634	13,4	0,0	0,0	0,0	0,0	0,0	0,0
4	807	48° 45'	62° 00'	365	1,0	0,4	12,0	2,8	128	55,6	811	6,2	0,0	0,0	0,0	0,0	0,0	0,0
5	807	48° 46'	61° 21'	335	24,0	11,4	17,0	2,9	299	82,8	1675	12,9	0,0	0,0	0,0	0,0	0,0	0,0
6	807	48° 44'	61° 14'	339	5,0	2,7	18,0	5,1	386	95,7	1314	9,7	0,0	0,0	0,0	0,0	0,0	0,0
7	819	48° 45'	60° 30'	339	1,9	0,7	5,8	2,6	979	63,5	49	0,4	0,0	0,0	0,0	0,0	0,0	0,0
8	819	48° 52'	60° 41'	193	22,0	3,4	0,0	0,0	426	18,3	137	0,4	0,0	0,0	12,0	1,6	0,0	0,0
9	830	48° 59'	60° 45'	153	184,5	71,4	0,0	0,0	517	10,8	4	0,0	2,0	14,9	4,0	0,7	0,0	0,0
10	808	48° 60'	60° 04'	280	23,0	25,4	29,0	6,9	11065	543,7	5804	43,2	1,2	12,0	1,2	0,4	0,0	0,0
11	809	49° 03'	59° 52'	289	7,5	5,2	32,8	5,4	1866	174,3	15151	92,1	0,0	0,0	0,0	0,0	0,0	0,0
12	808	49° 06'	60° 17'	285	15,0	11,6	73,5	13,6	4779	194,7	12152	75,0	0,0	0,0	2,0	0,6	0,0	0,0
13	815	49° 07'	60° 31'	245	53,0	26,0	12,0	5,1	516	39,2	3522	26,0	0,0	0,0	35,0	7,1	0,0	0,0
14	815	49° 12'	60° 15'	271	9,0	4,5	77,6	14,7	1844	76,1	18943	108,1	0,0	0,0	3,0	0,9	0,0	0,0
15	815	49° 14'	60° 03'	249	18,8	11,4	20,6	2,2	6296	201,5	1602	10,7	0,0	0,0	0,0	0,0	0,0	0,0
16	812	49° 21'	59° 55'	239	18,8	16,2	6,6	2,9	712	26,3	420	3,4	0,0	0,0	0,9	0,2	0,0	0,0
17	815	49° 24'	60° 10'	232	16,0	7,3	5,0	2,3	383	17,7	15	0,1	0,0	0,0	7,0	1,6	6,0	0,1
19	833	49° 34'	60° 05'	89	123,0	35,4	0,0	0,0	7	0,1	0	0,0	0,0	0,0	1,0	0,0	1,0	0,0
20	812	49° 34'	59° 39'	273	11,0	8,0	41,0	15,0	1608	89,1	8675	44,9	0,0	0,0	0,0	0,0	0,0	0,0
21	814	49° 48'	59° 43'	190	71,0	20,7	58,0	2,6	777	20,7	4474	18,5	1,0	8,9	9,0	1,3	1,0	0,0
22	833	49° 50'	60° 11'	76	8,0	5,1	0,0	0,0	17	1,3	1	0,0	0,0	0,0	0,0	0,0	2,0	0,0
24	827	50° 05'	60° 01'	117	12,1	4,6	2,4	0,0	5	0,0	316	0,6	0,0	0,0	0,0	0,0	1,2	0,0
25	812	49° 55'	59° 16'	261	2,0	2,2	70,0	48,2	9527	419,0	4469	28,2	0,0	0,0	2,0	0,5	8,0	0,1
26	812	49° 56'	59° 06'	271	5,0	3,3	51,0	25,4	26641	870,3	3270	26,8	0,0	0,0	1,0	0,3	1,0	0,0
27	814	50° 05'	59° 08'	222	9,1	6,4	160,2	26,3	1336	46,1	27083	141,1	1,0	1,2	30,0	5,8	0,0	0,0
29	813	50° 11'	58° 54'	190	48,0	20,1	33,0	9,7	3151	58,3	24596	91,3	2,0	4,0	72,0	10,9	2,0	0,0
31	801	50° 14'	58° 29'	333	14,0	6,5	152,3	84,2	200	5,7	10271	58,5	0,0	0,0	1,0	0,3	45,5	0,8
32	801	50° 14'	58° 36'	301	1,9	0,4	170,0	64,5	187	5,0	6291	39,5	0,0	0,0	0,0	0,0	48,7	0,8
33	813	50° 16'	58° 42'	203	15,0	6,9	52,5	9,5	784	14,4	7385	27,9	0,0	0,0	21,6	3,9	36,6	0,5
34	824	50° 29'	58° 19'	161	84,2	16,5	1,2	0,0	42	0,7	648	0,8	3,5	4,1	1,2	0,1	18,5	0,3
35	813	50° 30'	58° 09'	207	109,0	41,4	46,0	11,4	2315	59,9	22669	140,6	1,0	3,0	13,0	2,7	35,0	0,6
37	824	50° 42'	57° 50'	101	89,1	40,4	0,0	0,0	36	0,5	6	0,0	0,0	0,0	0,0	0,0	4,0	0,1
38	837	50° 49'	57° 53'	73	31,0	15,0	0,0	0,0	5	0,0	0	0,0	0,0	0,0	0,0	0,0	186,4	0,5
40	837	51° 19'	57° 09'	83	715,7	483,3	0,0	0,0	0	0,0	0	0,0	0,0	0,0	1,0	0,2	14,0	0,1
42	838	51° 19'	56° 49'	61	284,8	328,1	0,0	0,0	0	0,0	0	0,0	0,0	0,0	11,3	4,0	0,0	0,0
43	838	51° 26'	56° 47'	50	2626,1	1135,0	0,0	0,0	7	0,0	0	0,0	0,0	0,0	17,0	6,6	27,0	0,5
44	838	51° 29'	56° 39'	51	538,2	372,0	0,0	0,0	1	0,0	0	0,0	0,0	0,0	2,0	0,6	3,0	0,1

Trait	Strate	Latitude Deg-Min	Longitude Deg-Min	Profondeur (m)	Morue		Flétan du Groenland		Sébaste		Crevette nordique		Flétan atlantique		Hareng		Capelan	
					n	kg	n	kg	n	kg	n	kg	n	kg	n	kg	n	kg
46	838	51° 37'	56° 30'	68	188,5	107,2	0,0	0,0	0	0,0	0	0,0	0,0	0,0	0,0	0,0	1,9	0,0
47	840	51° 47'	56° 01'	101	19,0	18,0	0,0	0,0	0	0,0	0	0,0	0,0	0,0	0,0	0,0	0,0	0,0
48	840	51° 51'	55° 51'	122	26,0	11,0	0,0	0,0	0	0,0	0	0,0	0,0	0,0	0,0	0,0	1,0	0,0
50	838	51° 43'	55° 52'	61	132,1	77,9	0,0	0,0	0	0,0	0	0,0	0,0	0,0	2,8	0,2	841,6	18,6
51	838	51° 40'	56° 10'	75	200,7	46,8	0,0	0,0	0	0,0	0	0,0	0,0	0,0	0,0	0,0	19,2	0,3
52	837	51° 14'	57° 04'	56	1641,4	688,1	0,0	0,0	0	0,0	0	0,0	1,0	0,5	4,0	1,5	6,0	0,1
53	837	50° 59'	57° 22'	67	497,6	137,2	0,0	0,0	32	0,2	1	0,0	0,0	0,0	3,0	0,6	0,0	0,0
54	813	50° 41'	57° 33'	264	1,0	0,1	322,5	94,8	1141	37,4	43467	227,0	1,0	6,2	15,4	3,6	16,3	0,3
55	823	50° 28'	57° 34'	142	273,9	136,9	0,0	0,0	76	1,5	4	0,0	0,9	3,6	0,9	0,2	2,8	0,0
56	801	50° 27'	58° 02'	284	10,0	7,2	83,0	30,4	198	5,7	23208	144,8	1,5	9,5	1,0	0,2	21,0	0,3
57	813	50° 23'	57° 56'	251	4,0	1,7	102,6	18,7	3350	72,4	37799	201,0	0,0	0,0	0,0	0,0	6,0	0,1
58	823	50° 16'	57° 44'	176	38,0	24,6	26,0	7,8	45179	662,1	2546	4,7	3,0	3,8	63,0	14,1	0,0	0,0
59	823	50° 12'	57° 50'	172	63,5	42,9	6,7	1,8	4350	102,3	1077	1,1	1,9	2,0	7,7	1,5	5,8	0,1
60	836	49° 58'	57° 59'	67	344,3	154,4	0,0	0,0	100	1,8	0	0,0	0,0	0,0	2,0	0,4	0,0	0,0
61	822	49° 54'	58° 22'	140	77,0	27,8	0,0	0,0	103	3,6	160	0,1	0,0	0,0	0,0	0,0	1,0	0,0
62	813	49° 53'	58° 41'	208	11,0	9,1	49,3	8,6	2591	71,1	9741	43,6	1,0	6,3	2,0	0,3	2,0	0,0
65	836	49° 33'	58° 23'	90	25,0	16,6	0,0	0,0	0	0,0	0	0,0	0,0	0,0	0,0	0,0	0,0	0,0
66	822	49° 34'	58° 35'	103	38,0	19,3	0,0	0,0	0	0,0	0	0,0	0,0	0,0	0,0	0,0	0,0	0,0
67	822	49° 31'	58° 56'	168	83,7	20,3	0,0	0,0	565	10,8	316	0,4	0,0	0,0	12,5	2,1	0,0	0,0
68	812	49° 28'	59° 10'	194	3,8	1,2	1,0	0,2	1403	30,3	7	0,0	1,9	10,1	1,0	0,1	0,0	0,0
69	812	49° 18'	59° 14'	200	6,7	4,1	1,0	0,0	602	15,7	0	0,0	0,0	0,0	1,9	0,3	0,0	0,0
70	822	49° 14'	59° 11'	181	13,5	2,1	4,5	0,5	253	7,1	93	0,1	0,0	0,0	1,5	0,5	0,0	0,0
71	812	49° 16'	59° 30'	248	2,0	0,9	14,0	4,7	13887	418,3	405	3,1	0,0	0,0	1,0	0,3	0,0	0,0
72	812	49° 12'	59° 17'	192	13,0	5,2	19,0	1,2	756	64,2	35	0,2	0,0	0,0	45,0	6,2	0,0	0,0
73	821	48° 59'	59° 18'	127	107,7	48,2	0,0	0,0	75	3,3	0	0,0	0,0	0,0	0,0	0,0	0,0	0,0
74	821	48° 54'	59° 21'	107	587,5	283,6	0,0	0,0	0	0,0	0	0,0	0,0	0,0	1,0	0,3	0,0	0,0
75	835	48° 48'	59° 06'	51	112,3	79,5	0,0	0,0	0	0,0	0	0,0	3,2	4,6	0,0	0,0	0,0	0,0
76	835	48° 48'	58° 54'	41	17,0	4,5	0,0	0,0	0	0,0	0	0,0	2,0	1,0	1,0	0,0	0,0	0,0
77	836	49° 03'	58° 56'	60	36,0	18,5	0,0	0,0	0	0,0	0	0,0	0,0	0,0	0,0	0,0	0,0	0,0
78	836	49° 07'	58° 44'	74	130,3	85,2	0,0	0,0	0	0,0	0	0,0	0,0	0,0	0,0	0,0	0,0	0,0
79	822	49° 15'	58° 41'	97	217,6	82,9	0,0	0,0	0	0,0	0	0,0	0,0	0,0	1,0	0,2	0,0	0,0
80	836	49° 16'	58° 34'	82	88,5	63,5	0,0	0,0	0	0,0	0	0,0	1,0	1,8	1,0	0,3	0,0	0,0
81	809	48° 48'	59° 47'	291	1,0	0,3	8,7	3,7	315	29,8	237	2,4	0,0	0,0	1,0	0,2	0,0	0,0
82	808	48° 52'	60° 06'	317	1,0	0,5	16,0	8,2	904	91,5	110	0,8	0,0	0,0	0,0	0,0	0,0	0,0
83	808	48° 43'	60° 03'	335	0,0	0,0	8,0	3,7	234	32,8	580	4,4	0,0	0,0	0,0	0,0	0,0	0,0
84	803	48° 32'	60° 37'	388	0,0	0,0	9,0	5,8	75	41,6	14	0,1	0,0	0,0	1,0	0,2	0,0	0,0
85	803	48° 23'	60° 14'	388	0,0	0,0	5,0	3,1	87	45,4	483	4,1	0,0	0,0	0,0	0,0	0,0	0,0
86	809	48° 26'	59° 56'	331	2,0	1,1	4,0	0,2	394	59,4	447	4,4	0,0	0,0	1,0	0,2	0,0	0,0
87	811	48° 23'	59° 43'	237	2,0	1,1	1,0	0,1	5505	215,3	12	0,1	0,0	0,0	0,0	0,0	0,0	0,0
88	835	48° 26'	59° 14'	67	61,0	33,3	0,0	0,0	7	0,2	0	0,0	0,0	0,0	0,0	0,0	0,0	0,0
89	835	48° 19'	59° 21'	70	187,8	89,3	0,0	0,0	91	3,7	0	0,0	3,0	4,4	2,0	0,4	0,0	0,0

Trait	Strate	Latitude Deg-Min	Longitude Deg-Min	Profondeur (m)	Morue		Flétan du Groenland		Sébaste		Crevette nordique		Flétan atlantique		Hareng		Capelan	
					n	kg	n	kg	n	kg	n	kg	n	kg	n	kg	n	kg
90	820	48° 10'	59° 27'	142	41,0	22,1	0,0	0,0	48	1,7	217	0,2	1,0	6,7	1,0	0,1	1,0	0,0
91	821	48° 18'	59° 38'	152	14,0	5,3	0,0	0,0	203	6,6	0	0,0	0,0	0,0	0,0	0,0	0,0	0,0
92	820	48° 09'	59° 39'	167	57,0	41,5	0,0	0,0	747	24,6	12	0,0	1,0	0,3	5,0	1,3	0,0	0,0
93	811	48° 16'	59° 46'	254	0,0	0,0	0,0	0,0	1963	160,5	12	0,1	1,0	11,2	0,0	0,0	0,0	0,0
94	810	48° 12'	59° 55'	350	0,0	0,0	3,0	0,1	121	53,5	250	2,1	0,0	0,0	0,0	0,0	1,0	0,0
95	803	48° 07'	60° 08'	481	0,0	0,0	25,0	13,0	68	46,2	211	1,9	0,0	0,0	1,0	0,2	0,0	0,0
96	810	48° 03'	59° 43'	351	0,0	0,0	5,0	1,4	410	114,2	331	2,7	0,0	0,0	0,0	0,0	0,0	0,0
97	820	48° 00'	59° 29'	170	15,6	2,9	0,0	0,0	1436	39,0	0	0,0	0,0	0,0	11,0	2,2	0,0	0,0
98	802	47° 56'	59° 52'	484	0,0	0,0	13,5	7,5	55	41,9	33	0,4	0,0	0,0	0,0	0,0	0,0	0,0
100	407	47° 43'	60° 05'	516	0,0	0,0	18,0	11,0	26	12,8	13	0,1	0,0	0,0	0,0	0,0	0,0	0,0
102	802	47° 43'	59° 45'	519	0,0	0,0	13,0	7,9	34	20,0	1	0,0	0,0	0,0	1,0	0,3	0,0	0,0
103	802	47° 36'	59° 30'	425	0,0	0,0	2,5	1,3	113	59,7	6	0,1	0,0	0,0	0,0	0,0	0,0	0,0
105	810	47° 37'	59° 27'	332	0,0	0,0	1,0	0,0	315	133,9	7	0,1	1,0	7,0	0,0	0,0	0,0	0,0
109	407	47° 29'	60° 15'	471	0,0	0,0	10,0	6,5	97	64,3	25	0,2	0,0	0,0	0,0	0,0	0,0	0,0
110	407	47° 32'	60° 22'	392	0,0	0,0	10,0	8,6	133	50,1	26	0,2	0,0	0,0	0,0	0,0	0,0	0,0
111	404	47° 35'	60° 25'	352	0,0	0,0	3,0	3,6	132	15,9	30	0,2	1,0	9,4	0,0	0,0	0,0	0,0
112	407	47° 55'	60° 38'	386	0,0	0,0	12,2	3,6	105	60,7	228	2,2	0,0	0,0	0,0	0,0	2,8	0,0
114	803	48° 10'	60° 38'	435	0,0	0,0	11,3	4,5	98	73,5	142	1,2	0,0	0,0	0,0	0,0	0,0	0,0
115	803	48° 23'	60° 44'	437	0,0	0,0	7,0	4,8	160	142,8	95	0,9	0,0	0,0	0,0	0,0	0,0	0,0
116	803	48° 21'	61° 07'	411	0,0	0,0	14,0	6,8	122	60,5	193	1,8	0,0	0,0	0,0	0,0	0,0	0,0
117	803	48° 18'	61° 16'	399	0,0	0,0	15,4	7,5	78	48,6	1235	11,0	0,0	0,0	0,0	0,0	0,0	0,0
118	401	48° 06'	61° 13'	248	0,0	0,0	15,0	2,8	3953	160,0	780	6,1	0,0	0,0	1,0	0,2	0,0	0,0
119	401	48° 10'	61° 29'	218	27,9	34,1	7,7	0,4	2826	559,2	7	0,0	2,9	7,5	3,8	0,7	0,0	0,0
120	404	48° 13'	61° 28'	354	0,0	0,0	20,2	1,6	324	45,2	1180	9,6	0,0	0,0	0,0	0,0	0,0	0,0
121	803	48° 34'	61° 27'	409	0,0	0,0	23,0	9,7	93	48,5	314	2,8	0,0	0,0	0,0	0,0	0,0	0,0
122	803	48° 28'	61° 42'	425	0,0	0,0	38,0	11,9	114	59,7	1468	13,8	0,0	0,0	0,0	0,0	1,0	0,0
123	803	48° 40'	61° 58'	406	0,0	0,0	33,7	20,1	101	60,0	533	5,0	0,0	0,0	0,0	0,0	0,0	0,0
124	804	48° 38'	62° 03'	414	0,0	0,0	35,0	20,5	59	28,8	1524	13,2	0,0	0,0	0,0	0,0	0,0	0,0
125	405	48° 21'	61° 57'	336	0,0	0,0	27,0	11,0	193	68,1	45	0,3	1,0	13,4	0,0	0,0	0,0	0,0
126	402	48° 20'	62° 05'	218	1,0	0,9	33,0	2,1	278	63,5	98	0,8	1,0	5,0	0,0	0,0	0,0	0,0
127	405	48° 22'	62° 17'	299	0,0	0,0	13,0	3,9	4792	218,2	241	2,1	0,0	0,0	0,0	0,0	0,0	0,0
128	408	48° 27'	62° 24'	373	0,0	0,0	43,0	14,7	331	70,8	1388	12,5	0,0	0,0	0,0	0,0	1,0	0,0
129	408	48° 33'	62° 24'	433	2,0	0,3	135,3	43,6	76	31,6	5363	45,8	0,0	0,0	0,0	0,0	0,0	0,0
130	804	48° 41'	62° 29'	382	1,0	1,4	29,0	9,8	147	85,7	3011	24,8	0,0	0,0	0,0	0,0	1,0	0,0
131	408	48° 37'	62° 37'	434	0,0	0,0	133,0	42,8	85	39,7	3772	32,2	0,0	0,0	0,0	0,0	0,0	0,0
132	408	48° 48'	62° 58'	389	1,0	0,2	112,5	28,4	101	31,4	1194	11,3	0,0	0,0	0,0	0,0	0,0	0,0
133	402	48° 42'	63° 13'	203	4,7	3,7	105,0	30,1	943	50,8	2025	12,2	0,0	0,0	0,0	0,0	0,0	0,0
137	406	49° 06'	64° 03'	355	1,0	0,7	728,8	168,1	896	21,8	5919	51,2	0,0	0,0	1,0	0,2	1,0	0,0
138	403	49° 00'	64° 15'	212	42,5	45,7	63,8	55,5	592	96,5	5588	34,9	2,8	20,2	4,7	0,8	27,2	0,4
139	403	49° 13'	64° 44'	259	3,0	1,0	85,0	49,2	1910	20,3	4165	37,3	0,0	0,0	5,0	0,7	52,0	0,7
140	406	49° 20'	64° 30'	384	1,0	0,5	326,0	134,0	351	15,6	2718	26,3	0,0	0,0	1,0	0,2	5,0	0,1

Traité	Strate	Latitude Deg-Min	Longitude Deg-Min	Profondeur (m)	Morue		Flétan du Groenland		Sébaste		Crevette nordique		Flétan atlantique		Hareng		Capelan	
					n	kg	n	kg	n	kg	n	kg	n	kg	n	kg	n	kg
141	818	49° 24'	63° 52'	268	4,8	2,7	37,5	17,0	295	15,4	4805	42,7	0,0	0,0	1,9	0,4	2,9	0,0
142	841	49° 39'	64° 04'	62	235,3	16,0	0,0	0,0	124	1,2	0	0,0	0,0	0,0	0,0	0,0	0,0	0,0
143	818	49° 41'	64° 51'	240	81,0	59,1	117,0	46,6	479	11,5	8246	63,9	0,0	0,0	12,0	1,2	0,0	0,0
144	806	49° 33'	64° 51'	321	0,0	0,0	301,3	131,1	352	8,7	21909	158,7	0,0	0,0	1,9	0,5	16,9	0,3
145	804	49° 28'	65° 01'	375	0,0	0,0	547,6	115,5	1521	30,7	2118	21,3	0,0	0,0	0,0	0,0	2,9	0,0
146	805	49° 28'	65° 10'	372	0,0	0,0	673,7	129,4	1436	32,8	1991	21,3	0,0	0,0	0,0	0,0	6,0	0,1
147	409	49° 19'	65° 14'	228	7,3	3,8	126,3	41,1	418	11,0	11359	65,0	2,4	32,6	9,7	0,9	88,6	1,3
148	410	49° 21'	65° 38'	295	0,0	0,0	376,3	152,8	3205	62,1	7339	64,2	0,0	0,0	0,0	0,0	64,9	0,9
149	409	49° 19'	65° 42'	237	8,8	3,1	215,7	117,8	554	13,0	13868	98,1	0,0	0,0	7,5	0,6	125,1	1,7
150	805	49° 30'	66° 18'	331	0,0	0,0	533,0	69,5	3624	75,1	11392	101,4	0,0	0,0	0,0	0,0	30,8	0,5
151	805	49° 23'	66° 15'	338	0,0	0,0	512,7	62,8	3255	61,8	6706	61,1	0,0	0,0	0,0	0,0	28,8	0,5
152	410	49° 18'	66° 56'	310	0,0	0,0	398,1	82,8	865	13,1	8275	81,1	0,0	0,0	0,0	0,0	5,0	0,1
153	410	49° 09'	67° 09'	326	0,0	0,0	437,9	125,2	278	5,0	3882	38,9	1,0	11,6	1,0	0,2	2,0	0,0
154	852	48° 58'	67° 17'	152	418,3	227,4	20,6	0,9	146	3,9	285	1,9	3,6	7,7	3,6	0,2	2,4	0,0
155	851	48° 51'	67° 39'	80	11,0	6,8	1,0	0,0	21	0,1	29	0,0	0,0	0,0	0,0	0,0	8,0	0,1
156	851	48° 49'	67° 50'	86	21,0	10,9	3,0	0,1	30	0,1	35	0,0	1,0	0,1	0,0	0,0	40,2	0,7
158	412	48° 41'	68° 22'	211	34,9	26,7	280,6	14,6	733	3,7	1936	17,3	21,6	38,2	2,8	0,6	4,7	0,1
159	414	48° 36'	68° 41'	268	0,0	0,0	922,3	46,4	3140	62,3	113	0,6	1,1	2,5	4,3	0,5	3,2	0,0
160	852	48° 29'	68° 51'	115	6,0	0,9	325,4	9,8	184	1,8	9652	70,9	0,0	0,0	0,0	0,0	31,6	0,8
161	414	48° 38'	68° 54'	247	0,0	0,0	1195,3	73,8	1825	25,7	1514	14,9	7,6	12,3	52,1	4,1	3,8	0,1
162	413	48° 37'	68° 41'	313	0,0	0,0	1254,5	105,6	575	8,8	23	0,1	0,0	0,0	2,8	0,4	0,9	0,0
163	413	48° 40'	68° 49'	334	0,0	0,0	984,1	145,5	188	3,0	94	0,6	0,0	0,0	5,0	0,7	0,0	0,0
164	854	48° 45'	68° 56'	61	0,0	0,0	0,0	0,0	100	0,4	9751	27,4	0,0	0,0	1,0	0,0	6797,3	90,6
165	855	48° 53'	68° 34'	130	45,9	2,3	419,9	10,4	867	5,4	12644	78,2	0,0	0,0	1,1	0,0	223,7	2,9
166	854	49° 01'	68° 18'	85	5,9	0,3	0,0	0,0	43	0,2	18988	55,5	0,0	0,0	0,0	0,0	1531,1	23,3
167	855	49° 01'	68° 10'	113	260,5	17,9	48,1	1,3	504	2,7	18384	126,9	0,0	0,0	2,4	0,3	79,5	1,1
168	411	49° 00'	67° 44'	290	0,0	0,0	566,3	95,0	51	1,5	4832	46,7	2,0	32,6	1,0	0,3	0,0	0,0
169	412	49° 05'	67° 45'	262	0,0	0,0	463,7	76,7	163	2,9	3032	26,4	1,3	52,1	0,0	0,0	3,8	0,1
170	411	49° 09'	67° 35'	290	0,0	0,0	530,8	147,9	255	4,1	8816	83,5	1,3	15,1	0,0	0,0	6,4	0,1
171	411	49° 13'	67° 21'	312	0,0	0,0	504,1	130,3	568	7,9	1041	11,0	0,0	0,0	1,0	0,2	1,0	0,0
172	805	49° 22'	66° 57'	304	0,0	0,0	452,3	93,1	2218	34,1	5726	53,9	0,0	0,0	0,0	0,0	21,0	0,3
173	805	49° 27'	66° 54'	297	0,0	0,0	321,2	43,5	1096	18,3	8892	63,8	0,9	4,3	0,9	0,2	76,6	1,1
174	832	49° 42'	66° 59'	160	172,7	59,8	23,1	6,2	789	14,1	1494	5,3	4,8	5,7	1,9	0,1	10,6	0,1
176	805	49° 47'	66° 20'	304	0,0	0,0	421,4	73,7	3805	71,4	8477	72,5	1,0	4,2	0,0	0,0	190,3	3,0
177	832	49° 54'	66° 45'	170	62,9	34,6	143,8	17,2	825	14,1	3671	22,1	6,0	64,2	2,4	0,3	67,7	0,8
178	832	50° 01'	66° 39'	172	73,6	60,0	140,8	28,9	174	1,7	7759	37,9	0,9	2,3	1,9	0,1	36,8	0,4
179	817	49° 55'	66° 30'	241	1,0	0,2	361,8	76,5	28260	423,5	33537	189,8	3,0	52,8	14,0	1,2	60,2	0,8
180	817	49° 52'	66° 19'	274	0,0	0,0	266,5	49,9	3774	47,7	13796	108,0	2,3	18,4	2,3	0,4	122,2	1,8
181	817	49° 59'	65° 34'	221	51,0	34,6	202,8	51,8	29717	519,8	75469	401,9	1,9	4,2	15,9	2,6	9,4	0,1
182	805	49° 42'	65° 49'	336	0,0	0,0	651,1	83,6	595	11,9	11228	98,9	0,0	0,0	0,0	0,0	16,1	0,2
183	817	49° 45'	65° 15'	308	0,0	0,0	411,0	190,7	169	4,3	9855	73,2	1,0	6,0	0,0	0,0	0,0	0,0

Trait	Strate	Latitude Deg-Min	Longitude Deg-Min	Profondeur (m)	Morue		Flétan du Groenland		Sébaste		Crevette nordique		Flétan atlantique		Hareng		Capelan	
					n	kg	n	kg	n	kg	n	kg	n	kg	n	kg	n	kg
184	817	50° 00'	65° 13'	204	44,3	40,8	101,8	18,7	2305	36,0	7419	31,1	0,0	0,0	4,9	0,6	61,5	0,7
185	831	49° 54'	64° 55'	153	140,8	61,4	9,0	3,1	951	16,0	804	2,0	0,0	0,0	0,0	0,0	36,1	0,4
186	831	49° 55'	64° 44'	167	121,9	73,3	24,4	5,1	1231	13,0	1409	6,8	3,8	2,6	0,0	0,0	28,8	0,4
187	832	50° 06'	64° 50'	126	71,5	46,7	1,8	0,2	290	2,3	492	0,7	0,0	0,0	0,9	0,0	24,2	0,1
188	839	50° 07'	64° 16'	75	43,5	17,1	0,0	0,0	21	0,2	0	0,0	0,0	0,0	7,5	1,3	28,5	0,1
189	828	49° 59'	63° 21'	129	12,0	4,8	13,5	0,3	72	0,5	168	0,2	0,0	0,0	0,0	0,0	70,4	0,7
190	839	50° 07'	63° 20'	78	4,2	4,6	5,7	0,0	37	0,1	44	0,0	0,0	0,0	0,0	0,0	32,5	0,2
191	816	49° 55'	62° 53'	203	57,2	45,4	48,3	3,2	350	5,8	1955	10,2	0,0	0,0	0,0	0,0	14,0	0,2
192	816	49° 48'	62° 50'	226	20,0	20,1	156,9	22,2	804	72,9	55673	197,0	2,0	16,3	0,0	0,0	128,3	1,8
193	828	49° 51'	62° 18'	190	1,0	0,6	256,1	16,0	348	7,7	13990	50,9	10,6	35,2	1,9	0,4	14,6	0,2
195	827	49° 52'	61° 14'	163	3,8	4,0	127,1	8,2	720	3,4	2188	3,0	10,2	34,6	0,0	0,0	40,7	0,4
196	816	49° 45'	61° 23'	251	0,0	0,0	172,9	24,2	3438	99,5	3263	16,9	0,0	0,0	6,6	0,8	11,0	0,2
197	816	49° 37'	61° 48'	263	0,0	0,0	241,0	56,1	627	13,4	23477	147,4	0,9	12,1	0,0	0,0	124,7	1,8
198	816	49° 32'	61° 45'	212	76,3	41,9	83,9	7,5	650	13,7	4294	13,6	1,3	3,1	3,8	0,5	12,7	0,2
199	816	49° 29'	61° 20'	234	13,1	10,1	183,9	37,3	3766	71,8	12560	70,8	0,0	0,0	8,4	0,9	4,1	0,1
200	815	49° 38'	60° 44'	289	1,9	0,7	99,7	34,8	1277	65,1	145	0,8	0,9	9,5	0,0	0,0	115,5	1,7
201	815	49° 20'	60° 42'	261	3,9	1,7	55,3	14,1	11288	369,4	1459	12,8	0,0	0,0	2,6	0,4	67,5	1,1
202	829	49° 12'	61° 14'	102	531,9	127,1	0,0	0,0	107	3,4	0	0,0	0,0	0,0	0,0	0,0	3,1	0,1
203	829	49° 07'	60° 56'	96	246,3	50,4	0,0	0,0	3	0,1	0	0,0	0,0	0,0	0,0	0,0	0,0	0,0
204	830	48° 60'	62° 28'	189	150,2	37,6	17,8	0,6	6949	147,3	223	0,3	10,2	6,6	44,5	4,9	2,5	0,0
205	818	49° 00'	62° 43'	261	9,0	5,0	46,9	9,8	13898	434,6	4213	34,1	0,0	0,0	0,9	0,1	0,0	0,0
206	818	49° 06'	63° 02'	229	25,3	19,7	11,3	5,0	8415	247,2	2159	18,1	2,8	15,3	5,6	1,3	0,0	0,0
208	841	49° 14'	63° 15'	112	40,7	8,1	0,0	0,0	24	0,2	0	0,0	0,0	0,0	0,0	0,0	2,5	0,1
209	806	49° 16'	63° 48'	350	2,5	0,7	126,2	23,1	2274	672,0	3049	25,9	0,0	0,0	0,0	0,0	21,6	0,3
210	806	49° 19'	63° 48'	316	2,8	2,7	55,3	31,8	433	31,2	1984	18,2	0,0	0,0	0,0	0,0	33,8	0,5